

T.C.  
İNÖNÜ ÜNİVERSİTESİ  
FEN BİLİMLERİ ENSTİTÜSÜ

27920

**KİL-POLİMER SOL-JEL HİBRİT MATERYALLERİNİN  
SENTEZİ VE FİZİKOKİMYASAL ÖZELLİKLERİNİN  
İNCELENMESİ**

Ahmet GÜLTEK

27920

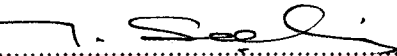


DOKTORA TEZİ  
KİMYA ANABİLİM DALI

MALATYA-1998

Fen Bilimleri Enstitüsü Müdürlüğüne

Bu çalışma jürimiz tarafından Kimya Anabilim Dalında Doktora Tezi olarak kabul edilmiştir.

Başkan..........Doç.Dr...Turgay..SEÇKİN.....

Üye..........Doç.Dr...Dursun..SARAYDIN.....

Üye..........Yrd.Doç.Dr., Yunus ..ÖNAL.....

ONAY

Yukarıdaki imzaların adı geçen öğretim üyelerine ait olduğunu onaylarım.

24.12.1998.

  
Prof.Dr. Esref YÜKSEL  
Fen Bilimleri Enstitüsü Müdürü

Kızım Çiğdem'e



## ÖZET

Kil ve organik grupları içeren yeni sol-jel materyallerin;  $(RO')_nE-X-A$  metal alkoksitleri, (A fonksiyonel grup, X kararlı grup ve  $(RO')_nE$  ise  $Si(OR)_4$ 'ü göstermektedir.) kullanılarak hazırlanması izah edilmektedir.

Polimerler kil materyalleri ile sol-jel teknolojisi kullanılarak etkileştirilmiş ve bağlanma özellikleri araştırılmıştır. Bu çalışmada A-174 ve kil kullanılarak farklı sayıda polimer yapıya bağlanmıştır. İki değişik yol denenmiştir. A-174'ün ön koşullandırılması ile kile bağlanması sağlanmış ve ara yüzeyde veya yüzeyde polimer ile etkileştirilmiştir.

Organofonksiyonel grubun seçiminin bağlanmada etkili olduğu bulunmuştur. Polimerler için en iyi sonuç A-174 ile elde edilmiştir.

Materyallerin yapıları, Fourier Transform Infrared, Diferansiyel Termal Analiz, Termogravimetrik Analiz, X-ışınları Kırınımı Yöntemi ve Taramalı Elektron Mikroskopu ile karakterize edilmiştir.

A-174'ün bifonksiyonel olmasından dolayı kaolin, bentonit, kuartz ve silika denenmiş ve farklı sayıda polimer ile etkileştirilebilirmatriks hazırlanmıştır.

Kil-poli(vinil piridin) matriksleri hazırlanarak bakteri hücrelerinin tutuklanması kimyasal yapıya bağlı kalarak çalışılmıştır.

Katmanlı silikatlarında kovalent bağ oluşum mekanizmasının killerin ya yüzey hidroksil grupları ya da iç tabakalardaki OH grupları ile olduğu ve bu bağlanmanın polimer, kil ve metodolojiye bağlı olduğu ispatlanmıştır.

Anahtar Kelimeler: Kil, hibrit materyal, sol-jel,  $\gamma$ -metakriloksipropil trimetoksilan

## ABSTRACT

Metal alkoxide of the type  $(RO')_nE-X-A$ , where A represents a functional group, and X is a hydrolytically stable spacer linking and the metal alkoxide moiety  $Si(OR)_4$ , used for the preparation of novel sol-gel hybrid materials composed of both clay and organic entities is described.

This was constructed by the entrapment of polymers in clay materials by sol-gel process. The binding properties of polymers were evaluated.

In the study,  $\gamma$ -methacryloxypropyl trimethoxysilane and clay were used to prepare novel precursor to bind different type of polymers. Two different routes were tested. The pretreatment of  $\gamma$ -methacryloxypropyl trimethoxysilane enables the clay to bond covalently to the interphase or surface of inorganic substrate and polymer. It was found that the proper selection of the organofunctional group of the silane was decisive for strong bonding to the resin. The best results for polymers have been achieved with  $\gamma$ -methacryloxypropyl trimethoxysilane. The structure of the materials was characterized by Fourier Transform Infrared, Differential Thermal Analysis, Thermo Gravimetric Analysis, X-Ray Diffraction and Scanning Electron Microscope techniques.

Owing to bifunctionality of A-174, kaolinite, bentonite, quartz, and silica were tested to prepare series immobilized hybrid matrix that had enabled to bind polymers.

The clay-polyvinylpyridinium matrix was prepared and the ability of the matrix to capture bacterial cells depends on the chemical structure was rationalized. The mechanism of covalent bond formation in layered silicates, either interaction with surface hydroxy groups or interlayer hydroxy groups of the clay was proved and it depends upon the polymer and the methodology has been chosen.

Key words: Clay, Hybrid materials, sol-gel,  $\gamma$ -methacryloxypropyl trimethoxysilane

## **TEŞEKKÜR**

Bu çalışmanın planlanması ve yürütülmesinde, çalışmalarım süresince benden her konuda destek ve ilgisini esirgemeyen, bilgi ve hoşgörülerinden yararlandığım Hocam Sayın Doç.Dr. Turgay SEÇKİN'e sonsuz saygı ve şükranlarımı sunarım.

Ayrıca çalışmalarım süresince bilgi ve yardımcılarını benden esirgemeyen Yrd.Doç.Dr. Yunus Önal'a, Doç.Dr. Eyüphan Yakıncı'ya, Doç.Dr İlhan Aksöy'a ve Yrd.Doç.Dr. Bülent Alıcı'ya sonsuz saygı ve şükranlarımı sunarım.

Arş.Grv.Dr. Sema Erdemoğlu'na, Arş.Grv. M.Ali Aksan'a Arş.Grv. Süleyman Köytepe'ye ve Yük.Lisans Öğrencisi Nilüfer Kiğılı'ya çalışmalarım sırasındaki yardımcılarından dolayı teşekkürlerimi sunarım.

Ayrıca çalışmalarım sırasında benden hiçbir zaman desteğini, sabır ve hoşgörüsünü esirgemeyen, eşim Kimya Öğretmeni Gülay GÜLTEK'e sonsuz teşekkürlerimi sunarım

Bu çalışmayı, DPT-97K121461 nolu projeye destekleyen Devlet Planlama Teşkilatı'na ve İ.U.A.F.S-97/18 nolu projeye destekleyen İnönü Üniversitesi Araştırma Fonu Saymanlığı'na teşekkürlerimi sunarım.

## **İÇİNDEKİLER**

	Sayfa	No
ÖZET.....	i	
ABSTRACT.....	ii	
TEŞEKKÜR.....	iii	
İÇİNDEKİLER.....	iv	
ŞEKİLLER LİSTESİ.....	vii	
ŞEMALAR LİSTESİ.....	x	
TABLOLAR LİSTESİ.....	xi	
1. GİRİŞ.....	1	
1.1 Polimer.....	2	
1.1.1 Polimerlerin sınıflandırılması.....	2	
1.1.2 Polimerizasyon prosesleri.....	2	
1.1.2.1 Kütle veya yiğin polimerizasyonu.....	3	
1.1.2.2 Çözelti polimerizasyonu.....	3	
1.1.2.3 Süspansiyon polimerizasyonu.....	3	
1.1.2.4 Emülsiyon polimerizasyonu.....	4	
1.1.3 Polimerleşme Reaksiyonları.....	4	
1.1.3.1 Kondenzasyon polimerizasyonu.....	4	
1.1.3.2 Katılma polimerizasyonu.....	4	
1.1.4 Polimerlerde molekül ağırlığı.....	5	
1.1.5 Polimerlerin termal özelliklerı.....	6	
1.2 Sol-Jel.....	8	
1.2.1 Fonksiyonel silanların yapıları.....	13	
1.3 Kil.....	14	
1.3.1 Kil minerallerinin sınıflandırılması.....	15	
1.3.2 Kil minerallerinin yapıları.....	17	
1.3.3 Kaolinit.....	18	
1.3.4 Montmorillonit.....	19	
1.3.5 İllit.....	20	

1.4	Kil Minerallerinin Karakterizasyonu.....	21
1.5	Termal Analiz Yöntemleri.....	23
1.5.1	Termogravimetri.....	24
1.5.2	Diferansiyel termal analiz.....	24
1.5.3	Diferansiyel taramalı kalorimetri.....	26
1.6	Elektron Mikroskopisi.....	27
1.6.1	Geçirimil (Transmission) elektron mikroskopu (TEM).....	29
1.6.2.	Taramalı (Scanning) elektron mikroskopu (SEM) .....	30
1.7	X-Işınları kırınımı yöntemi.....	33
1.8	Fourier transform infarred (FTIR) spektrofotometresi.....	36
1.9	Amaç.....	38
2.	<b>MATERIAL VE METOD.....</b>	50
2.1	Kullanılan Kimyasal Maddeler (Formülleri ve kullanım amaçları)...	50
2.2.	Kullanılan Cihazlar.....	52
2.3.	Kil Minerallerinin Saflaştırılması ve Çözünürleştirilmesi.....	53
2.4	Kil- $\gamma$ -metakriloksipropiltrimetoksisilan Hibrit Materyalinin Sentezi	57
2.5.	Hibrit Materyallerinin Sentezi.....	58
3.	<b>SONUÇ VE TARTIŞMA.....</b>	69
3.1.	Kaolin Mineralinin Karakterizasyonu.....	56
3.2.	Bentonit Mineralinin Karakterizasyonu.....	63
3.3.	Kil- $\gamma$ -metakriloksipropil trimetoksi silan Hibrit Materyalinin Karakterizasyonu.....	66
3.3.1.	Kil- $\gamma$ -metakriloksipropil trimetoksi silan hibrit materyalinin termal özelliklerı.....	67
3.4.	Kaolin-Polistiren Hibrit Matryalinin Karakterizasyonu .....	70
3.5.	Bentonit-Polistiren Hibrit Materyalinin Karakterizasyonu.....	73
3.6.	Kaolin-Poli(akrilo nitril) Hibrit Materyalinin Karakterizasyonu.....	76
3.7.	Bentonit-Poli(akrilo nitril) Hibrit Materyalinin Karakterizasyonu....	80
3.8.	Kaolin- Poli(vinil piridin) Hibrit Materyalinin Sentezi ve Karakterizasyonu.....	83
3.9.	Kaolin-Poli(akrilik asit) Hibrit Materyalinin Karakterizasyonu.....	89
3.10.	Kaolin-Poli(metakrilik asit) Hibrit Materyalinin Karakterizasyonu..	92

3.11.	Bentonit-poli(N-vinil pirolidon)	Hibrit	Materyalinin Karakterizasyonu.....	95
3.12.	Kaolin-poli(N-vinil pirolidon)	Hibrit	Materyalinin Karakterizasyonu.....	99
3.13.	Bentonit/Kaolin-poli(1-vinil imidazol)	Hibrit	Materyalinin Karakterizasyonu.....	101
4.	<b>SONUÇ.....</b>			106
5.	<b>ÖNERİLER.....</b>			108
6.	<b>KAYNAKLAR.....</b>			109

## ŞEKİLLER LİSTESİ

	Sayfa
	No
Şekil 1.1. Amorf polimerlerde ıslı geçişler.....	7
Şekil 1.2. Sol-jel prosesi.....	8
Şekil 1.3. Oktahedral birim hücresi ve birim katmanı.....	17
Şekil 1.4. Tetrahedral birim hücresi ve birim katmanı.....	17
Şekil 1.5. Silika tetrahedral zincirinin yandan ve üstten görünüşü.....	18
Şekil 1.6. Kaolinit mineralinin birim katmanı.....	18
Şekil 1.7. Montmorillonit mineralinin birim katmanı.....	19
Şekil 1.8. TG cihazının şematik gösterimi.....	24
Şekil 1.9. DTA cihazının şematik gösterimi.....	25
Şekil 1.10. DSC cihazının şematik gösterimi.....	26
Şekil 1.11. Işık mikroskobunun (a)geçirimli (b) taramalı (c)elektron mikroskobu. ile karşılaşılması.....	28
Şekil 1.12. Işın mikroskobu(LM) ve geçirimli elektron mikroskobunda (TEM) ışın ve elektroların izlediği yol.....	29
Şekil 1.13. SEM'in şematik gösterimi.....	31
Şekil 1.14. X-ışınları difraktometresinin şematik gösterimi (a), X-ışınları tüpü(b)	35
Şekil 3.1. Kaolin mineralinin (a)birim katmanı ve kimyasal formülü,(b) kimyasal analiz sonuçları,(c) FTIR spektrumu,(d) DTA termogramı,(e)X-Ray difraktogramı ,(f) SEM fotoğrafı .....	60
Şekil 3.2. Bentonit mineralinin (a)birim katmanı ve kimyasal formülü,(b) kimyasal analiz sonuçları,(c) FTIR spektrumu,(d) DTA termogramı,(e)X-Ray difraktogramı ,(f) SEM fotoğrafı .....	63
Şekil 3.3. Kil-A-174 (I)hibrit materyalinin ve (II)kil (bentonit) mineralinin FTIR spekturumu .....	66
Şekil 3.4. (II) Bentonitin, (I) bentonit-A-174 hibrit materyalinin DSC termogramı.....	67
Şekil 3.5. (A) Bentonit-A-174 hibrit materyalinin ve (B) bentonitin, (a) ıslı işlem görmemiş FTIR spekturumları; (b) 100, (c) 200, (d) 300, (e)	

400, (f) 500 ve (g) 600°C sıcaklıklarındaki FTIR spekturumları.....	68
<b>Şekil 3.6.</b> (A) Bentonit-A-174 hibrit materyalinin ve (B) bentonitin, (a) 100, (b) 200, (c) 400, (d) 500 ve (e) 600°C sıcaklıklarındaki XRD diffraktogramları.....	69
<b>Şekil 3.7.</b> Kaolin-Poli(stiren) hibrit materyalinin (TAG12) (a) X-Ray diffraktogramı, (b) SEM fotoğrafı, (c) FTIR Spekturumu, (e) TGA termogramı.....	71
<b>Şekil 3.8.</b> Bentonit-Poli(stiren) hibrit materyalinin (TAG25) (a) X-Ray diffraktogramı, (b) SEM fotoğrafı, (c) FTIR Spekturumu, (d) DTA termogramı, (e) TGA termogramı.....	74
<b>Şekil 3.9.</b> (a) Poliakrilonitrilin (TAG56) SEM fotoğrafı; Kaolin-Poli(akrilo nitril) hibrit materyalinin (TAG57) (b) SEM fotoğrafı, (c) FTIR spekturumu, (d) DTA termogramı, (e) X-ray diffraktogramı ve (f) TGA termogramı.....	77
<b>Şekil 3.10.</b> Bentonit-Poli(akrilo nitril) hibrit materyalinin (TAG64) (a) X-Ray diffraktogramı, (b) SEM fotoğrafı, (c) FTIR Spekturumu, (d) DTA termogramı, (e) TGA termogramı.....	81
<b>Şekil 3.11.</b> Kaolin-Polivinil piridin hibrit materyalinin (TAÖ1) (a) FTIR Spekturumu, (b) DTA termogramı ve (c) X-ray diffraktogramı.....	85
<b>Şekil 3.12.</b> Hibrit materyal tarafından tutulan (◊) <i>E. coli</i> , (▽) <i>P. aeruginosa</i> ve (+) <i>S. auraus</i> bakterilerinin zamana göre yaşayan miktarları. Hibrit materyalin bulunmadığı ortamdaki (O) <i>E.Coli</i> , (□) <i>P. Aeruginosa</i> ve (Δ) <i>S. Aurus</i> bakterilerinin zamana göre yaşayan miktarları.....	87
<b>Şekil 3.13.</b> Kaolin-Poli(akriklik asit) hibrit materyalinin (TAG53) (a) X-ray diffraktogramı, (b) SEM fotoğrafı, (c) FTIR Spekturumu, (d) DTA termogramı, (e) TGA termogramı.....	90
<b>Şekil 3.14.</b> Poli(metakrilik asit)in (a) SEM fotoğrafı; Kaolin-Poli(metakrilik asit) hibrit materyalinin (TAG39) (b) SEM fotoğrafı, (c) FTIR Spekturumu, (d) DTA termogramı, (e) X-ray diffraktogramı ve (f) TGA termogramı.....	93
<b>Şekil 3.15.</b> Poli(N-vinil pirolidon)un (TAG83) (a) SEM fotoğrafı, Bentonit-poli(N-vinil pirolidon) hibrit materyalinin (TAG80) (b) SEM	

fotoğrafı, (c) FTIR spekturumu, (d) DTA termogramı (e) XRD difraktogramı ve (f) TGA termogramı.....	96
Şekil 3.16 Kaolin-poli(N-vinil pirolidon) hibrit materyalinin (TAG84) (a) SEM fotoğrafı, (b) XRD difraktogramı, (c) FTIR spekturumu ve (d) DTA termogramı.....	99
Şekil 3.17 Bentonit-poli(1-vinil imidazol) hibrit materyalinin (TAG86) (a) SEM fotoğrafı, (b) XRD difraktogramı, (c) FTIR spekturumu ve (d) DTA termogramı.....	102
Şekil 3.18 Kaolin-poli(1-vinil imidazol) (TAG90) hibrit materyalinin (a)FTIR spekturumu, (b) DTA termogramı, (c) XRD difraktogramı ve (d) SEM fotoğrafı.....	104

## ŞEMALAR LİSTESİ

	Sayfa
	No
Şema 1.1 Metal alkoksi bileşiklerinin polimerizasyonu.....	9
Şema 1.2 Organofonksiyonel silanların sentezi.....	13
Şema 1.3 Katı örneklerin karakterizasyonunda kullanılan analiz yöntemleri.....	22
Şema 1.4 Silanolün anorganik yüzeye bağlanması.....	39
Şema 1.5 Silanollerin kendi kendilerine kondenzasyonları.....	41
Şema 1.6 Fonksiyonel silanların sentez ve hidrolizi.....	42
Şema 1.7 Vinil türevli organofonksiyonel silanların kopolimerizasyonu.....	43
Şema 1.8 Organofonksiyonel grup içeren silisyum alkoksit bileşikleri ile hibrit materyal sentezi.....	44
Şema 1.9 $\gamma$ -metakriloksipropil trimetoksi silanın vinil türevli monomerlerle kopolimerizasyonu .....	46
Şema 2.1 Kaolin ve bentonit mineralinin saflaştırılması ve karakterizasyon yöntemleri.....	53
Şema 2.2 Kaolin ve bentonit minerallerine uygulanan çözünürlendirme işlemi...	55
Şema 2.3 A-174'ün kile kovalent bağla bağlanması ve polimerizasyonu.....	62
Şema 2.4 Hibrit materyallerin genel sentez şeması.....	68
Şema 3.1 Kaolin-poli(vinil piridin) benzil klorür tuzu'nun (TAÖ1)sentez şeması.....	83

## TABLOLAR LİSTESİ

	Sayfa No
Tablo 1.1 Kil minerallerinin kullanıldığı bazı endüstri dalları ve kullanım amacı....	15
Tablo 1.2 AIEPA tarafından fillosilikatlardan tabakalı yapıda olan kil mineralleri için önerilen sınıflandırma.....	16
Tablo 1.3 Termal metodlar ve ölçülen nicelikler.....	23
Tablo 1.4 Hibrit materyallerde kullanılan fonksiyonel gruplar ve metal alkoksi bileşikleri.....	43
Tablo 3.1 Kaolin-poli(stiren) hibrit materyalinde kullanılan kimyasal maddelerin (w/w) oranları.....	70
Tablo 3.2 Bentonit-poli(stiren) hibrit materyalinde kullanılan kimyasal maddelerin (w/w) oranları.....	73
Tablo 3.3 Kaolin-poli(akrilo nitril) hibrit materyalinde kullanılan kimyasal maddelerin (w/w) oranları.....	76
Tablo 3.4 Bentonit-poli(akrilo nitril) hibrit materyalinde kullanılan kimyasal maddelerin (w/w) oranları.....	80
Tablo 3.5 Hibrit materyal tarafından uzaklaştırılan bakterilerin uzaklaştırma katsayıları ve uzaklaştırılan yüzdeleri.....	88
Tablo 3.6 Kaolin-poli(akrilik asit) hibrit materyalinde kullanılan kimyasal maddelerin (w/w) oranları.....	89
Tablo 3.7 Kaolin-poli(metakrilik asit) hibrit materyalinde kullanılan kimyasal maddelerin (w/w) oranları.....	92
Tablo 3.8 Bentonit/Kaolin-poli(N-vinil pirolidon) hibrit materyallerinin sentezinde kuaanılan kimyasal maddelerin (w/w) oranları.....	95
Tablo 3.9 Bentonit/Kaolin-poli(1-vinil imidazol) hibrit materyallerinin sentezinde kuaanılan kimyasal maddelerin (w/w) oranları.....	101

## I. GİRİŞ

Gelişen teknolojinin ihtiyacına cevap verecek materyaller son yıllarda önem kazanan araştırmaların arasında önemli yer tutmaktadır. Bu amaçla çok sayıda polimer ve kompozit materyaller hazırlanmıştır. Ancak organik polimerlerin özellikleri ile anorganik maddelerin özelliklerini birleştirmeye fikri sol-jel teknolojisinin gelişmesi ile ivme kazanmıştır<sup>1-5</sup>.

Sol-jel prosesinde genel olarak sıvı haldeki silikat esterleri ve türevleri kullanılmaktadır<sup>6</sup>. Si(OR)<sub>4</sub>, Ti(OR)<sub>4</sub>, Zr(OR)<sub>4</sub> vb. Bu tür bileşiklerin bir veya birkaçının sol-jel yöntemiyle hidrolizi ve ardından polikondenzasyonu ile polimerleşebilir grupların polimerleştirilmesi ile anorganik-organik kompozit materyaller elde edilmiştir<sup>7</sup>.

İki farklı malzemenin bir araya gelmesiyle “kompozit” malzemeler oluşur. Kompozit malzemeler, iki farklı malzemenin avantajlı yanlarını daha da artırmak amacıyla hazırlanır. Bir kompozitin hazırlanması için: *i.* Karıştırılan malzemelerden birinin oranı en az %5 olmalıdır. *ii.* Yeni oluşan kompozit malzemenin özelliği, onu oluşturan malzemenin özelliklerinden farklı olması gereklidir. *iii.* En az iki malzemenin karıştırılması veya birleştirilmesi gereklidir<sup>8</sup>.

Kompoziti oluşturan parçalar: Matriks ve katkı malzemesi olarak iki sınıfa ayrılmaktadır. Matriks kompoziti oluşturan ana malzeme, katkı maddesi ise, matriksi güçlendirerek bir malzeme olması gereklidir.

Organofilik yapıya sahip olan killerin doğrudan organik gruplar ile etkileştirilmesi mümkün değildir. Sol-jel prosesi ile bu problem çok kompleks olmayan reaksiyon koşulları ile önlenebilmektedir<sup>9</sup>.

Bu tür hibrit materyaller üç ana grupta inceleneciktir. Polimer, sol-jel, kil ve karakterizasyon

## 1.1. Polimer

Polimerler, monomer denilen maddelerin uygun şartlarda birbiriyile reaksiyonu sonucu oluşurlar. Monomerin polimer içindeki haline mer denir. Polimer molekülünde yer alan mer sayısı genellikle  $10^2$ - $10^6$  civarındadır. Bu sayının küçük olduğu alt sınırla yer alan (küçük molekül ağırlıklı) polimerlere oligomer denir. Bu sayının çok yüksek olduğu üst sınır bölgesinde yer alan polimerler için ise, genellikle makromolekül deyimi kullanılmaktadır. O halde polimerler, büyülüklük düşünüldüğünde, oligomerden makromoleküle kadar olan bölge için bir adlandırma şekli olmaktadır<sup>10-15</sup>.

### 1.1.1. Polimerlerin sınıflandırılması

Polimerlerin sınıflandırılması farklı şekillerde yapılmaktadır. Bunlar:

- a) Fiziksel özelliklerine göre
- b) Kimyasal özelliklerine göre
- c) Fizikokimyasal özelliklerine göre
- d) Termal özelliklerine göre
- e) Elektrik/magnetik özelliklerine göre
- f) Akustik özelliklerine göre
- g) Optik özelliklerine göre
- h) Mekanik özelliklerine göre

### 1.1.2. Polimerizasyon prosesleri

Monomerlerden polimer molekülleri elde edilmesi reaksiyonlarına polimerizasyon reaksiyonları denir. Polimerlerin hazırlanmasında çeşitli prosesler kullanılır. Bu proseslerin başlıcaları şu şekildedir.

### 1.1.2.1. Kütle veya yığın polimerizasyonu

Bu proseste reaksiyon kabına saf monomer ve başlatıcı konulur. Başlatıcı etkin hale getirilerek polimerizasyon başlatılır. Yığın polimerizasyon reaksiyonları ekzotermik olduğundan ortamın devamlı olarak karıştırılması gereklidir. Bu sistemde polimerleşme ile beraber ortamın viskozitesi artar ve karıştırma imkansız hale gelir. Bu yüzden homojen bir ısı yalıtımı sağlanamaz ve sıcaklık kontrolü zorlaşır. Reaksiyon ortamının sıcaklığının değişmesi, elde edilen polimerin molekül ağırlığının azalmasına sebep olur.

### 1.1.2.2. Çözelti polimerizasyonu

Ortamda bir çözücü, monomer ve başlatıcının bulunduğu polimerleşme şeklidir. Çözelti polimerizasyonunda hem monomeri hem de oluşmuş polimerleri iyi çözen bir çözücü seçilmelidir. Çözelti polimerleşmesinde çözücünün hareketi nedeniyle ısı transferi kolaydır ve polimerizasyon ortamının sıcaklığı her zaman sabit tutulabilir. Fakat kullanılan çözücü, polimerik radikal ile transfere giriysa, ortalama molekül ağırlığı küçüleceğinden bu yönden bir sakınca ortaya çıkar. O halde çözücüyü seçerken dikkat edilmesi gereken durumlardan bir tanesi de zincir transfer sabitinin küçük olmasıdır.

### 1.1.2.3. Süspansiyon polimerizasyonu

Süspansiyon polimerizasyonunda monomer uygun bir dağıtma ortamında süspansiyon haline getirilir. Dağıtma ortamı olarak genellikle su kullanılır. Başlatıcı, suda dağılmış halde bulunan monomer damlacıklarının içinde çözünür. Ortam sürekli karıştırılarak monomer süspansiyonunun devamı sağlanır. Sisteme uygun bir ısıtma programı uygulanarak monomer damlacıklarının küresel polimer tanecikleri haline dönüşmesi sağlanır. Bu proseste, sistem parametrelerinin ayarlanmasıyla  $10\mu$ 'dan 10 mm'ye kadar istenilen boyutta polimer tanecikleri gerçekleştirilebilmektedir.

#### 1.1.2.4. Emülsiyon polimerizasyonu

Emülsiyon polimerizasyonunda, emülsiyon ortamı olarak genellikle su seçilir. Monomer, emülsiyon yapıcı bir madde yardımcı ile bu ortamda dağıılır. Başlatıcısı olarak suda çözünen bir madde kullanılır. Emülsiyon yapıcı, yüzey aktif bir madde olup molekül yapısında hidrofil ve hidrofob gruplar içerir. Emülsiyon yapıcı maddenin molekülünün büyük bir kısmı, misel denilen küçük kolloidal tanecikler oluşturmak üzere toplanır. Küçük bir kesri ise, suda moleküller halde çözünür. Çözeltideki emülsiyon yapıcı moleküller ile miseller arasında dinamik bir denge bulunur. Emülsiyon yapıcının miktarı monomere göre artırılırsa, daha küçük boyutlarda, ama çok daha büyük sayıda misel tanecikleri oluşur.

#### 1.1.3. Polimerleşme Reaksiyonları

##### 1.1.3.1. Kondenzasyon polimerizasyonu

Kondenzasyon polimerizasyonunda, iki ya da daha fazla fonksiyonlu grupları bulunan moleküller kondenzasyon reaksiyonları ile bağlanarak makromolekülleri oluştururlar. Ancak, bu sırada başka bazı küçük moleküller de oluşur. Örneğin, dikarboksilli asitler ile diaminlerden poliamidlerin oluşmasında yan ürün olarak su çıkar. Kondenzasyon polimerizasyonunda, polimerin molekül ağırlığı yavaş yavaş ilerleyerek artar. Bu polimerizasyon yöntemiyle, reaksiyon süresi denetlenerek istenilen molekül ağırlığındaki polimerik malzemeler elde edilebilir.

##### 1.1.3.2. Katılma polimerizasyonu

Bu polimerizasyon türünde çok sayıda doymamış moleküller birleşerek büyük bir molekülü oluştururlar. Bir polimeri oluşturmak için birleşen birimler, birbirlerinin aynısı olan moleküller olabilecekleri gibi, iki veya daha çok çeşitli moleküller de olabilir. Bu polimerizasyon türü ile polimerleşen monomerler başlıca vinil ve dien monomerleri olup, etilen ve bütadien türevleri olarak incelenebilir.

Vinil momomerleri, termal veya fotokimyasal yollarla, radikal üreten katalizörler, iyonik katalizörler ya da sodyum ile polimerleştirilebilirler.

#### 1.1.4. Polimerlerde Molekül Ağırlığı

Bir polimerin molekül ağırlığı, polimerin elde edilmesinde ve endüstride uygulanmasında büyük önem taşır. Molekül ağırlığı 5000-10000'in altında ise mekanik kuvvet belirtisi yoktur. Bu büyülüklüklerin üstünde, polimerin mekanik dayanaklılığı, molekül ağırlığı ile hızla artar. Bu nedenle, pratik uygulamalarda polimerizasyon sırasında molekül ağırlığının denetlenmesi gereklidir.

Polimerik maddelerde, makromolekül zincirleri molekül ağırlığı bakımından heterojen ya da polidispersdir. En yüksek saflıkta hazırlanan bir polimer bile, çeşitli molekül ağırlıklı moleküllerin bir karışımıdır. Bu nedenle, polimerlerde ortalama molekül ağırlığı söz konusudur. Bir polimeri tam anlamıyla karakterize edebilmek için, ortalama molekül ağırlığı ile, molekül ağırlığı dağılımını belirtmek gereklidir.

Polimerlerin molekül ağırlığını ölçmek için çeşitli fiziksel yöntemler geliştirilmiştir. Her yöntem aynı molekül ağırlığı ortalama değerlerini vermez. Çeşitli ortalama molekül ağırlığı tanımları vardır.

-Sayıca ortalama molekül ağırlığı ( $M_n$ ), üç grup analizi ve kolligatif özelliklerin ölçülmesi ile bulunur.  $N_x$ =Ağırlığı  $M_x$  olan moleküllerin sayısı,  $M_x$ =Her bir molekülün molekül ağırlığı olmak üzere sayıca ortalama molekül ağırlığı aşağıdaki şekilde ifade edilir.

$$M_n = (\sum N_x M_x) / \sum N_x$$

-Ağırlıkça ortalama molekül ağırlığı ( $M_w$ ) , ışık saçılması yöntemi ile bulunan molekül ağırlığı olup

$$M_w = (\sum N_x M_x^2) / \sum (N_x M_x)$$

şeklinde ifade edilir.

-Viskozite ortalama molekül ağırlığı ( $M_v$ ), polimerin uygun bir çözücüdeki çözeltisinde viskozite sayısı ile molekül ağırlığı arasındaki ilişkiyi gösteren ve aşağıda gösterilen Kuhn-Mark-Houwink-Sakurada eşitliğinden yaralanılarak bulunur.

$$[\eta] = KM_v^a$$

$[\eta]$ : Viskozite sayısı

$M_v$ : Polimerin molekül ağırlığı

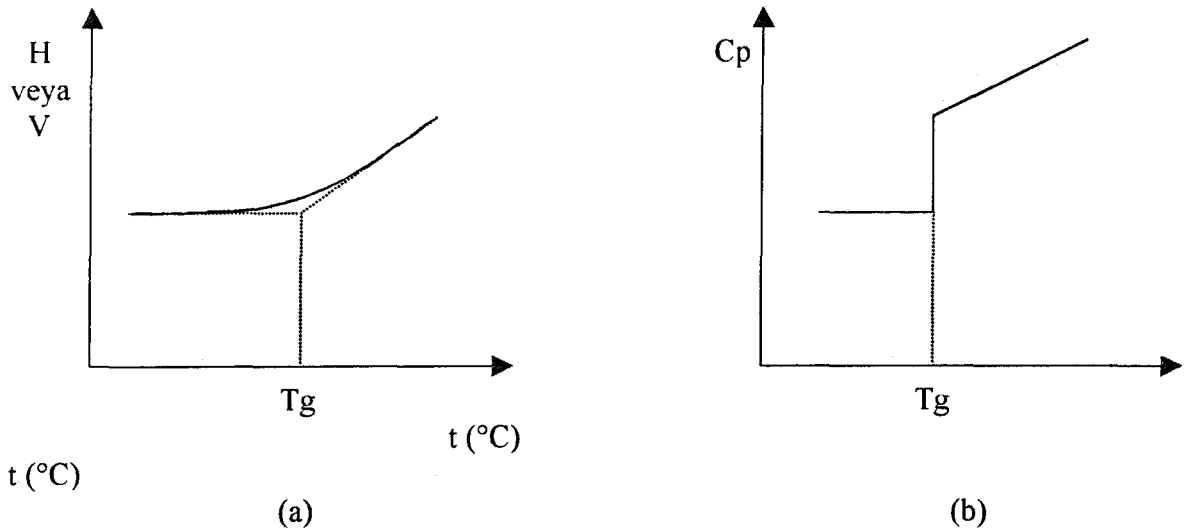
K ve a: Çözücü ve sıcaklığa bağlı sabitler

#### 1.1.5. Polimerlerin termal özelliklerini

Katı haldeki polimerik yapılarda moleküller arası düzenin iki türüne yağın olarak rastlanmaktadır. Bunlar, amorf ve yarı kristalin yapılardır.

Polimerlerin camsı geçiş sıcaklıklarını ( $T_g$ ) ve erime sıcaklıklarını ( $T_m$ ) bu maddelerin kullanılabilirlik sınırlarını belirleyen önemli parametrelerdir. Kısmen kristal bir polimerin katı bir madde olarak kullanılabilmesi için çalışma sıcaklığı hem  $T_g$  hem de  $T_m$ 'nin altında olmalıdır. Öte yandan bir polimer, plastik olarak kullanılacaksa daima  $T_g$ 'nin üzerinde  $T_m$ 'nin altında bir sıcaklıkta bulunmalıdır.

Polimer zincirlerinin yapı içinde gelişigüzel bir düzende bulunduğu amorf bir polimer sıcaklığa bağlı olarak camsı, kauçukumsu veya akıcı hallerde bulunabilir.



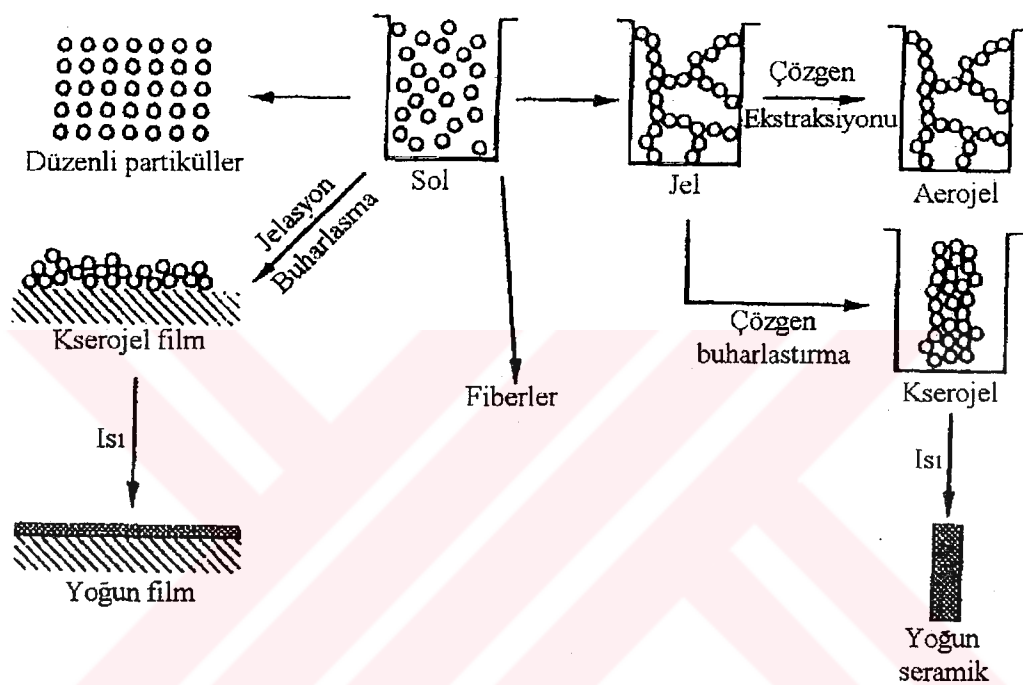
Şekil 1.1: Amorf polimerlerde ıslı geçişler

Düşük sıcaklıklarda camsı halde bulunan amorf yapıdaki bir polimerin serbest hacim oranı çok düşüktür ve polimer molekülünde ıslı Brownian hareketler tamamen kısıtlanmıştır. Böyle bir yapı ısıtıldığında şekil 1.1'de entalpi ( $H$ ) veya spesifik hacim ( $V$ )-sıcaklık ( $t$ ) grafiklerinde görüldüğü gibi önce entalpi veya spesifik hacimde çok az bir artma gözlenir. Belli bir sıcaklıkta egriler dönüm noktasına ulaşır ve egrilerin eğimleri önemli oranda artar. İşte bu değişimin gözlendiği sıcaklık camsı geçiş sıcaklığıdır.

Termal geçişleri belirlemek amacı ile, polimerlerin çeşitli özelliklerinin sıcaklıkla değişimini incelemek gereklidir. Örneğin spesifik hacim, kırma indisi ve dielektrik sabitinin sıcaklıkla değişimi, camlaşma ve erime sıcaklıklarında kesiklikler olarak ortaya çıkar ve böylece bu iki büyülü bulunmuş olur. Ancak, gerek  $T_g$  gerekse  $T_m$ 'nin belirlenmesinde çabuk ve kolay sonuç alınan termal yöntemler (genellikle DTA ve DSC) kullanılmaktadır.

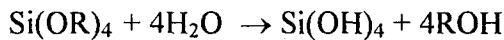
## 1.2. Sol-Jel

Sol-jel kimyası, fonksiyonel grup içeren metal alkoksi bileşiklerinin yapısına bağlı kalarak izah edilmektedir<sup>16</sup>. Değişik özelliklere sahip malzemelerin uygun reaksiyon ortamlarında çözelti içerisinde hazırlanmasında kullanılan sol-jel prosesi, son yıllarda ivme kazanan araştırmalar içerisinde yer almaktadır. Aşağıdaki şekilde sol-jel prosesi kısaca özetlenmektedir.

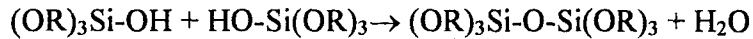


Şekil 1.2 : Sol-Jel prosesi

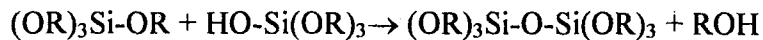
Katı partikülerin sıvı içerisindeki kolloidal süspansiyonu “sol” olarak bilinmektedir. Kolloidal süspansiyon veya emülsiyon metodu polimerler veya polimer partikülleri seramik malzemelerin hazırlanmasında kullanılmaktadır. Sol-jel prosesinde değişik fonksiyonel grup içeren metal veya ametal kolloidleri metal-organik bileşikleri ile hazırlanmaktadır. Tetraetoksi silan, tetraetil ortosilikat, (TEOS), bu prosesde kullanılan başlangıç malzemelerine verilebilecek en iyi örnekdir. Metal alkoksi bileşikleri organo metalik bileşik değildir çünkü, metal-karbon bağını direkt olarak içermemektedir. Metal alkoksitler su ile çok iyi reaksiyon verdiklerinden sol-jel prosesinde sol hazırlamada yaygın olarak kullanılmaktadır. Aşağıda gösterildiği gibi metal alkoksi bileşiği kısmen veya tamamen su ile hidroliz olmaktadır.



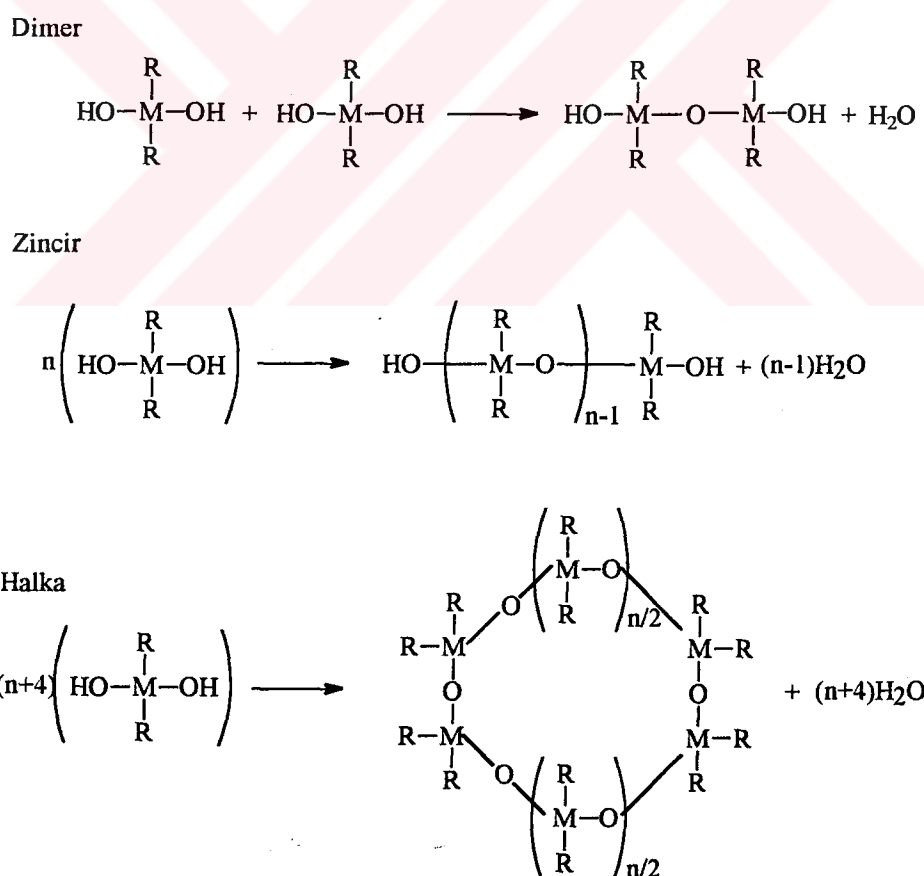
Kısmen hidrolize olan iki molekül kondense olarak aşağıdaki yapıyı oluşturmaktadır.



veya



Kondensasyon sonucunda su veya alkol gibi ürünler elimine olmaktadır. Bu tür reaksiyonlar alkol veya su eliminasyonuna devam ederek polimerizasyon ile daha büyük silikon yapılarını oluşturmaktadır.



Şema 1.1 Metal-alkoksi bileşiklerinin polimerizasyonu

Monomerin oluşturduğu bağ sayısı fonksiyonalite “f” olarak bilinmektedir. Normal oksit monomerleri için  $f=2$ , bifonksiyonel,  $f=3$ , trifonksiyonel,  $f=4$  tetrafonksiyonel v.b.  $f>2$  olduğu durumlarda, zincir çapraz bağlanarak üç boyutlu yapıyı oluşturmaktadır. Silikon alkoksit polimerleştiği zaman dallanmış yapıda polimerler elde edilmektedir. TEOS ise tetra fonksiyonel olduğundan, belirli koşullarda dörtten az ligand kondense olurken çok az dallanma gözlenir.

Polimerizasyon sonucunda elde edilen bu yapıların sol olabilmesi için, katı fazın 1nm den büyük oksit partikülleri içermemesi gereklidir.  $f>2$  ise bağ oluşumları rastgele olabildiği gibi sol aglomere olabilir.

Monomer ikiden fazla bağ yaparsa, oluşabilecek molekülün büyülüklüğü, molekülün makroskopik boyuta ulaşmasına kadar sürer. Jel noktası veya reaksiyon derecesi en son bağ oluşana kadar devam eder ve oluşan dev yapı “jel” olarak bilinir. Jel katı iskelet yapı içerisinde sürekli bir sıvı faz içermektedir. Katı yapının sürekliliği jele elastikiyet vermektedir. Ağ yapıyı oluşturabilecek çekim kuvvetleri belirli bir düzeyde olduğunda, jel partikül soillerden de oluşabilmektedir.

Jel oluşumunda moleküller arası etkileşimler kovalent bağlarla olabildiği gibi van der Waals etkileşimleri ile de olabilir. Jel yapısındaki süreklilik, katı veya sıvı fazda birbirinden bağımsız hareketliliği belirtmektedir<sup>17</sup>.

Yukarıda tanımları yapılan sol ve jel kavramları genel tanım olarak verilmektedir. Değişik fakat anlam olarak aynı izahlar değişik çalışmalarında verilmektedir. Brinker ve Scherer ise sol-jel kavramını, seramik materyallerin sol ile hazırlanması, solün jelasyonu ve çözücüünün ortamdan uzaklaştırılması şeklinde ifade etmektedir<sup>18</sup>. Sol bir akışkan olup sıvı fazda katı partiküllerin Brownian hareketleri ile dispersiyonu, jel ise, en az iki faz içeren katı ağ yapı içerisinde sıvı faz bulunduran sistem olduğuna göre, sol-jel tanımı ara hali belirtmektedir.

Sol-jel prosesinde, çözelti haldeki metal alkoksitler, metal tuz çözeltileri ve metal kompleks çözeltileri kullanılmaktadır. Metal alkoksitler su ile reaksiyon vermesinin kolay olması ve saf olmasından daha yaygın kullanılmaktadır. Hidroliz olduktan sonra yukarıda gösterildiği gibi amorf metal oksit veya oksi-hidroksi jeline

kondenzasyon ile dönüşmektedir. Bu reaksiyondan faydalılarak kaplamalar, fiberler elde edilmektedir. Reaksiyon sonucu oluşan alkol kolaylıkla ortamdan uzaklaştırılmakta ve proses kolaylığı sağlamaktadır<sup>19</sup>.

Kolloid içerisindeki katı madde, metal oksit, metal oksi-hidroksit veya diğer çözünmeyen bileşikler olabilir. Reaksiyon parametreleri ayarlanarak istenilen gözenek ve kuruma özelliği verilen madde daha sonra, dehidrasyon, jelasyon, kimyasal çapraz bağlama işlemlerine tabi tutulabilmektedir<sup>20</sup>.

Bu metodun avantajı, reaktanların saflığını, başlangıç ve yardımcı malzemelerin karışımlarının homojenliğinin kontrol edilebilmesi, faz oluşumunun denetlenebilmesi ve değişik şekiller verilebilme kolaylığıdır ( Elyaf, ince film, köpük, optik elementler, işlenmiş yüzeyler v.b.) .

Sol-jel teknolojisinin tarihsel gelişimine kısaca göz atıldığında, son yıllarda bu konu ile ilgili çalışmaların yoğunluğu dikkat çekmektedir. Woodhead ve Dislich ise tarihsel gelişimi süresince bu konu ile ilgili çalışmaların dikkate alınmadığını vurgulamaktadır<sup>21-22</sup>.

Metal oksit ve oksi-hidroksi jelleri , oksit materyallerinin karakterizasyonu için L.N. Vauquelin tarafından 1797 yılında çalışılmıştır<sup>23</sup>. Berthier ise zirkonyum hidroksitin kolloidal olarak elde edilmesi ve yakılması ile çok sert ürün elde etmişledir<sup>24</sup>. 1892 yılında metal hidroksit jelleri oksit bileşiklerinin sentezinde kullanılmıştır. Chraustschoff zirkonyum hidroksit, silika ve alumina jelinden zirkonopiroilit sentezlemiştir<sup>25</sup>. S.Kistler, 1932 yılında silika jel içerisinde su-alkol yer değiştirmesinden faydalananarak ve daha sonra alkolü ortamdan uzaklaştırarak aerojel elde etmiştir<sup>26</sup>. Elde edilen jel ise aynı kişi tarafından karakterize edilmiştir. Silikon alkoksit bileşikleri J.J. Ebelmen tarafından ilk defa 1846 yılında sentezlenmiştir<sup>27</sup>. Bu maddelerin hidrolizi yine o yıllarda çalışılmıştır. Grimeaux demir alkoxsi bileşiklerinin kolloidal demir oksitleri hazırlanmasında kullanılabilceğini göstermiştir<sup>28-29</sup>.

1927 yılında, King ve Threlfall hidrolize edilmiş alkoxsi silan ile kaplama yaparak eski eserleri koruma altına almışlardır<sup>30</sup>. 1931 yılında, hidrolize alkoxsi silan

kullanılarak, dış, çimento, tuğla ve beton katkı maddeleri geliştirilmiştir<sup>31</sup>. 1941 yılına kadar değişik bilimsel araştırmalar yapılarak özellikle alkoxsi silanlar endüstriye kazandırılmıştır. 1949 yılında Bole, jel-forming metodunu kullanarak seramik elde etmiştir<sup>32</sup>. Hidrolize alkoxsi silanlar, titan alkoksiklortür, kalay klorürü ve değişik kolloidler cam kaplamada antireflektif özelliklerinden ötürü kullanılmıştır<sup>33</sup>. Kolloidal silika içerisinde çinko, bakır, demir, titan, kalay, kurşun, mangan ve krom katarak kaplamada kullanmak yine o yıllarda çalışılan konular arasındadır<sup>34</sup>. 1940 lı yıllarda, değişik katalizörler titan, alüminyum ve siliğinden sentezlenmiştir<sup>35</sup>. Daha sonraki yıllarda, malzemelerin termal dayanıklılığının artırılması için çalışmalar yapılmış ve değişik kombinasyonlar kolloidal sistemler içerisinde denenerek yeni özellikte malzemeler sentezlenmiştir. 1953 yılında, Kimberlein alüminyum alkoksitler ile 0.05-0.10 mikrometre çapında partiküller elde etmeyi başarmıştır<sup>36</sup>. 1960 yılında ise, sol-jel yaklaşımı nükleer endüstri için toryum ve uranyum mikropartiküllerini hazırlamada kullanılmıştır<sup>37</sup>. H.Schoder ve H.Dislich silikon ve titandan yola çıkarak antireflektif ince film oluşturmuşlardır<sup>38-39</sup>. TiO<sub>2</sub>-SiO<sub>2</sub>-TiO<sub>2</sub> ile otomobil camlarının kaplanması, cam-seramik malzemelerin geliştirilmesi, kristal seramiklerin eldesi ile değişik kombinasyonlardaki camlar sol-jel teknolojisi ile hazırlanmışlardır<sup>40</sup>. 1985 yıllarda ise Schott, elli adet farklı optik malzemeyi sol-jel kaplama ile hazırlamayı başarmıştır.

1950 yılına kadar olan sol-jel çalışmalarının büyük çoğunluğunu seramik malzemelerin hazırlanması, yüzey kaplamaları ile katalitik uygulamalar oluşturmuştur. Organik-anorganik hibrit materyallerin hazırlanması ise son yıllarda çalışılan konular arasında yer almaktadır. Sol-jel teknolojisi;

- a. Yeni materyallerin sentezi
- b. Bilinen materyallerin özelliklerinin istenilen şekilde değiştirilerek güçlendirilmesi

şeklinde araştırmaların konularını oluşturmaktadır.

Organik polimerleşen grupların seramik malzemeler ile beraber ormacer hazırlamada kullanımları ise sol-jel teknolojisinin son çalışmaları arasında yer almaktadır. Seramik malzemelerin ve organik polimerlerin özelliklerini kontrol

edilebilir biçimde birleştirerek değişik özelliklerdeki malzemelerin sentezlenmesi ile çok sayıda yeni materyaller hazırlanabilmektedir<sup>41-50</sup>.

### 1.2.1. Fonksiyonel silanların yapıları

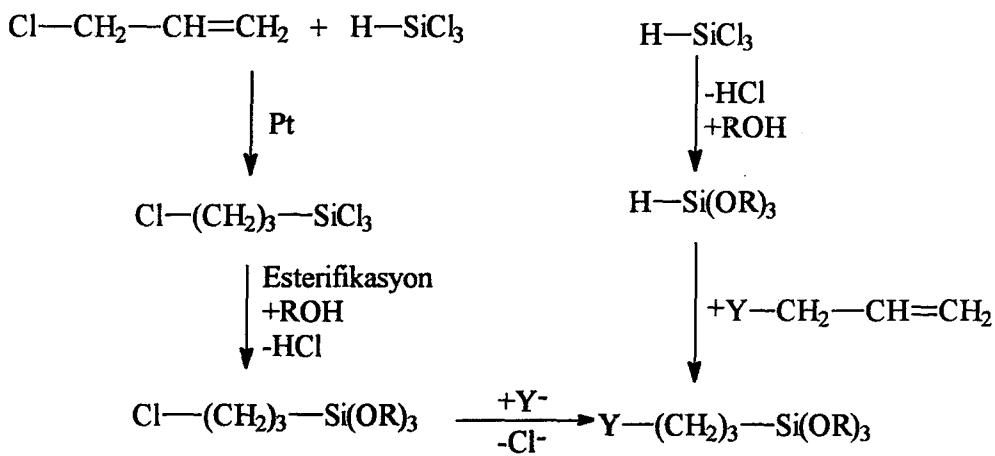
Organofonksiyonel silanların özellikleri moleküler yapı ve verdiği reaksiyonlardan ileri gelmektedir. Organofonksiyonel silanların genel yapıları,



Y= Organofonksiyonel grup ( $H_2N-$ ,  $CH_2=CH-$ ,  $CH_2=C(CH_3)-COO-$ ,  $HS-$ ,  $Cl-$ )

X= Silikofonksiyonel grup (- $OCH_3$ , - $OC_2H_5$ , - $Cl$ , - $O-CCO-CH_3$ )

Organofonksiyonel grup karbon zinciri ile kuvvetlice silisyuma bağlıdır. Silikofonksiyonel grup ise, çoğunlukla alkoksi grupları olup doğrudan silisyuma bağlıdır. Bu gruplar değiştirilerek sentezlenecek malzemelerin fiziksel ve kimyasal özellikleri değiştirilebilmektedir<sup>51</sup>.



Şema 1.2 : Organofonksiyonel silanların sentezi

### 1.3. Kil

Killer, feldspatlı volkanik kayaçların fiziksel ve kimyasal bozunmalarıyla, basit bir kimyasal formülle gösterilemeyen hidratize alüminyum silikatlardan meydana gelmiştir.

Killer için bugün bile kesin bir tanım verilmiş değildir. Yaygın olarak birçok meslek grubu tarafından farklı anlamlarda kullanılabilmektedir. Mineroloji kitaplarında üç ayrı tanımı yan yana görebiliriz.

- a) Yarıçapı 1/256 mm'den daha küçük olan minerallerin kesri
- b) Kil boyutunda olan sediment parçacıklarının tümü
- c) Fillosilikat gruplarını içeren mineraller.

Bu tanımlardan üçüncüsü fizikçiler ve kimyacılar tarafından benimsenip kullanılmaktadır.

Genelde kil terimi doğal, toprağa benzer, ince taneli ve belirli miktarda su ile karıştırıldığında plastikleşebilen materyalleri anlatmak için kullanılır<sup>52</sup>.

Gerek dağılımındaki bolluk, gerekse kullanım alanlarındaki olağanüstü boyutlardaki çeşitlilik nedeni ile killer, bugüne kadar binlerce araştırmacı tarafından incelenmiş ve bir o kadar da patente konu olmuştur. Kil mineralleri seramik, petrol arama ve arıtma, kağıt, kauçuk ve organik pek çok kimyasal maddenin gerek üretim ve gerekse arıtımında ham ve yardımcı madde olarak kullanılırlar<sup>53-61</sup>. Tablo 1.1'de kil minerallerinin bazı kullanım alanları ve amaçları verilmiştir.

Kil Minerali	Endüstri Dalı	Kullanım Amacı
Bentonit, Kaolinit	Seramik	Hammadde
Ca-Smektit, Kaolinit	Petrol	Katalizör, Adsorban
Na-Smektit	Nükleer	Adsorban
Bentonit	Şarap, şıra	Adsorban
Bentonit	Çimento	Katkı maddesi
Bentonit	Tekstil	Adsorban
Na-Smektit	Sabun	Adsorban
Na-Smektit	Kozmetik	Adsorban
Kaolinit, Bentonit	Kağıt	Katkı maddesi
Bentonit	İlaç	Katkı ve koruyucu madde
Na-Smektit	Şeker	Adsorban
Organik kaplı smektit	Boya	Adsorban katkı maddesi
Bentonit	Deri	Adsorban
Bentonit	Mineral	Peletleme
Bentonit	Refrakter	Hammadde

Tablo 1.1: Kil minerallerinin kullanıldığı bazı endüstri dalları ve kullanım amacı

### 1.3.1.. Kil minerallerinin sınıflandırılması

Kil minerallerinin sınıflandırılması ve terminolojisi yıllarca gerek ulusal gerekse uluslararası düzeyde tartışılmıştır. İngiltere Mineroloji Topluluğunun Kil Mineralleri Grubu'nun yaptığı bir tanıma göre kristalin kil mineralleri, zincir ve tabakalı yapı olmak üzere ikiye ayrılmıştır. Tabakalı yapıda olanlar ise 2:1 ve 1:1 grubu olmak üzere ikiye bölünmüştür.

Association Internationale pour L'Etude des Argiles (A.I.P.E.A.) adlı terminoloji ve sınıflandırma alt komitesinin 1963 yılında Stockholm'de yapılan International Clay Conference'ında sunduğu ve 31 ülkenin bilim adamları tarafından kabul edilen sınıflandırma şu şekildedir<sup>52</sup>.

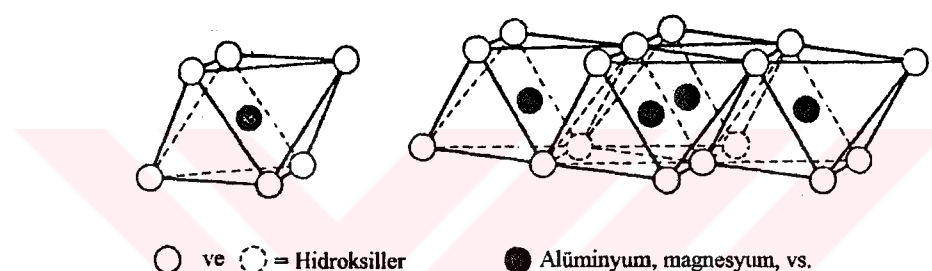
Tip	Grup (x=tabaka yükü)	Alt grup	Örnek
2:1	Pirofillit-talk $x \approx 0$	Pirofillitler	Pirofillit
	Talklar	Talk	
	Smektit veya Montmorillonit-saponit $x \approx 0,5-1$	Dioktahedral smektitler veya montmorillonitler	Montmorillonit, beidellit, nontronit
		Trioktaedral smektitler veya saponitler	Saponit, hektorit
		Dioktahedral vermiculit	Dioktahedral vermiculit
	Vermikulit $x \approx 1-1,5$	Trioktaedral vermiculit	Trioktaedral vermiculit
		Dioktahedral mikalar	Muskovit, paragonit
		Trioktaedral mikalar	Biotit, filogopit
	Gevrek mika $x \approx 4$	Dioktahedral gevrek mikalar	Margarit
		Trioktaedral gevrek mikalar	Sibertit, brandisit
2:1:1	Clorit	Dioktahedral kloritler	
	X değişken	Trioktaedral kloritler	Penin, proklorit
1:1	Kaolinit-serpentin $x \approx 0$	Kaolinitler	Kaolinit, halloysit
		Serpentinler	Krizolit, lizarid, antigorit

Tablo 1.2: AIPEA tarafından fillosilikatlardan tabakalı yapıda olan kil mineralleri için önerilen sınıflandırma

### 1.3.2. Kil minerallerinin yapıları

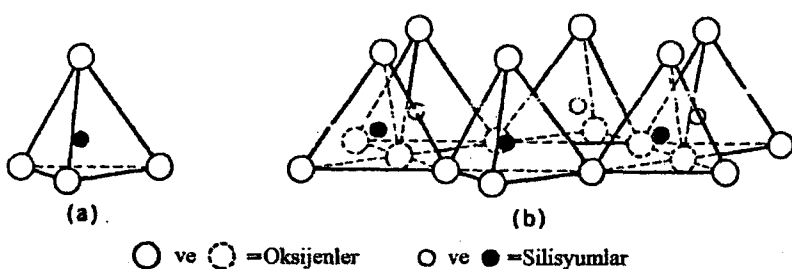
Killerin özellikleri, büyük oranda kristal yapılarına bağlıdır. Kristal yapı üzerindeki çalışmalar birbirinden farklı iki yapısal birim ortaya çıkarmıştır.

Yapı birimlerinden birincisi; merkezde Al, Fe veya Mg atomlarında biri, köşelerde ise merkez atomdan eşit uzaklıkta O veya OH iyonlarını içeren düzgün sekizyüzlü oktahedral yapıdır. Bu düzgün sekizyüzlüler birleşerek bir tabaka oluştururlar. Böylece oluşan tabaka içerisindeki atomlar eğer Al ise  $\text{Al}_2(\text{OH})_6$  formülü ile gösterilen gibsit veya alümina, Mg ise  $\text{Mg}_3(\text{OH})_6$  formülü ile gösterilen brusit ortaya çıkar.



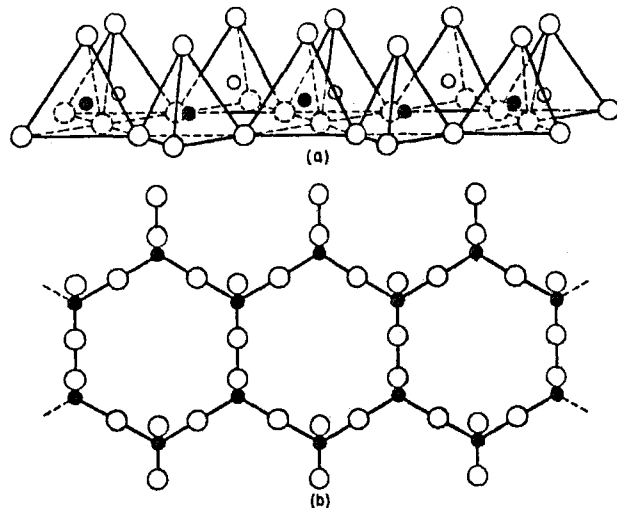
Şekil 1.3: Oktahedral birim hücresi ve birim katmanı

Diğer yapı birimi, merkezde Si atomu köşelerde ise O veya OH iyonlarını içeren düzgün dört yüzlü yani tetrahedral yapıdır.



Şekil 1.4: (a) Tetrahedral birim hücresi ve (b) birim katmanı

Bu düzgün dört yüzlüler altigen biçimini sıralanarak silika adı verilen ve bileşimi  $\text{Si}_4\text{O}_6(\text{OH})_4$  olan bir tabaka oluştururlar.

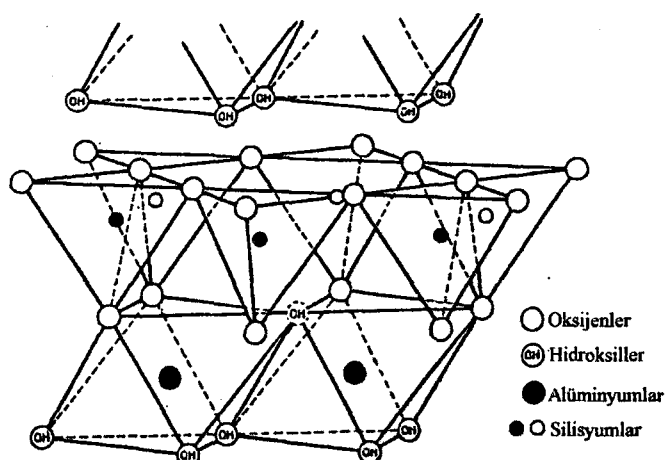


Şekil 1.5: Silika tetrahedral zincirinin (a) yandan (b) üstten görünüşü

Doğal halde, farklı özellikteki pek çok kil minerali genellikle birbiriyle karışmış halde bulunur. Bunlardan montmorillonit ve illit karışık halde bulunursa bentonit adını alır.

### 1.3.3. Kaolinit

Bir silika tetrahedral tabakası ile bir alümina oktaedral tabakasının üst üste gelmesiyle “kaolinit” mineralinin birim katmanı oluşur.

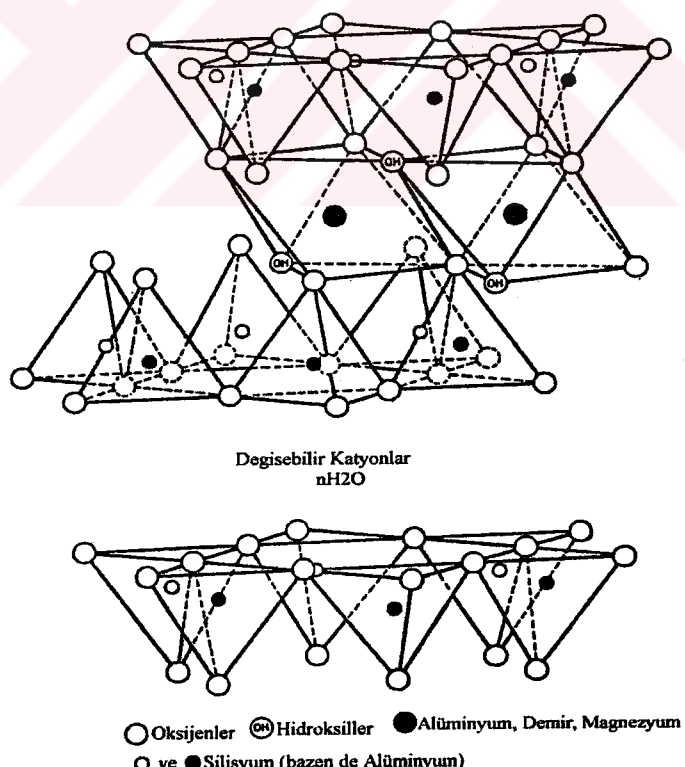


Şekil 1.6: Kaolinit mineralinin birim katmanı

Şekil 1.6'da görüldüğü gibi tetrahedrallerin tepeleri ile oktaedrallerin bir yüzündeki iyonlar yeni bir düzlem oluştururlar. Bu katmanın kalınlığı yaklaşık silika ( $4.65\text{ \AA}^\circ$ ) ve alümina ( $5.05\text{ \AA}^\circ$ ) tabakalarının kalınlıklarının toplamına eşittir. Kaolin şeritlerinin arasına büyük oranda su girmeden şişme gözlenmez.

#### 1.3.4. Montmorillonit

Bir alümina oktaedral tabakasının iki silika tetrahedral tabakasının arasına girmesiyle montmorillonit mineralinin birim katmanı oluşur. Oktahedral ve tetrahedral tabakalarının oluşturduğu katmanlarda oksijenler değil hidroksil iyonları ortak kullanılır. Bu nedenle yüksek bir iyon değiştirme ve absorplama yeteneği gösterir. Montmorillonit katmanları birbirlerine katmanlar arası su ile zayıfça bağlandıklarından bunlar genleşebilen kil türleridir.



Şekil 1.7: Montmorillonit mineralinin birim katmanı

Büyük ölçüde montmorillonit ve montmorillonitten izomorf iyon değişimleri ile türemiş olan baydelit, saponit, haktorit ve nontronit gibi kil minerallerini içeren maddelere bentonit adı verilir. Bentonitler %75 veya daha fazla montmorillonit içermektedir. Bentonitler içinde kaolin ve illit gibi diğer kil mineralleri ile jips, kuars, rutil, kalsit ve dolomit gibi kil minerali olmayan maddeler de bulunabilir.

Ana minerali montmorillonit olan killere bentonit adı verilmesine rağmen, ana minerali kaolinit olanlara doğrudan kaolinit; ana minerali illit olanlara ise doğrudan illit adı verilmektedir.

Oktahedral tabaka içinde  $\text{Al}^{3+}$  ve  $\text{Si}^{4+}$  iyonları yerine  $\text{Mg}^{2+}$ ,  $\text{Fe}^{2+}$ ,  $\text{Zn}^{2+}$ ,  $\text{Ni}^{2+}$  ve  $\text{Li}^+$  gibi iyonların girmesiyle, tabakaların birebirile olan bağlanma niteliği değişir. Böylece daha az yada hiç genleşmeyen killer oluşur. Şişen montmorillonit katmanları birbirine daha zayıf, şişmeyen montmorillonitler ise daha kuvvetli bağlanmıştır. Şişenlerin katmanları arasındaki su içinde  $\text{Na}^+$  iyonları, şişmeyenlerin katmanları arasında ise  $\text{Ca}^{2+}$  iyonları vardır. Kısaca, sodyum montmorillonitler şistiği halde, kalsiyum montmorillonitler çok az şiser. İyon değişimi ile şisen ve şişmeyen montmorillonitler birbirine dönüştürülebilir.

Tabaka merkezindeki  $\text{Al}^{3+}$  ve  $\text{Si}^{4+}$  un daha düşük yükseltgenme basamağında bulunan iyonlarla yer değiştirmesi, yük denkliğinin bozulmasına yol açar. Bu denklik, tabakalar arasına giren  $\text{Na}^+$ ,  $\text{K}^+$  ve  $\text{Ca}^{2+}$  iyonlarıyla yeniden kurulur.

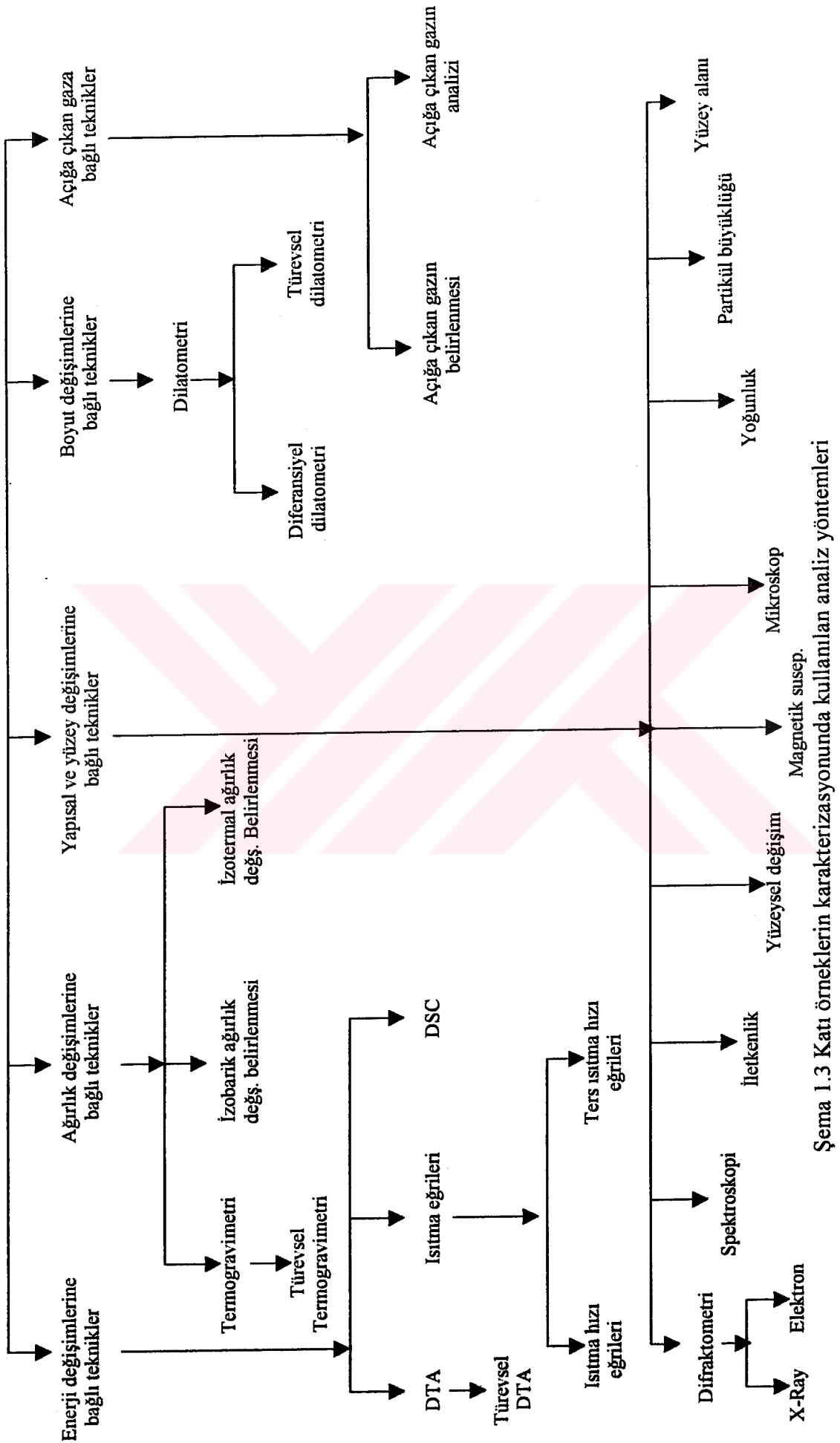
### 1.3.5. Illit

Silika tabakasındaki bazı  $\text{Si}^{4+}$  iyonları yerine  $\text{Al}^{3+}$  iyonlarının geçmesiyle montmorillonit mineraline çok benzeyen hidratize mika veya illit oluşur. Montmorillonit mineralinden en önemli farkı  $\text{Si}^{4+}$  iyonlarının %15'inin yerini  $\text{Al}^{3+}$  iyonlarının almasıdır. Muskovit içerisinde bu oran %25 kadardır. Bozulan yük denkliği  $\text{K}^+$  iyonları tarafından karşılanır. Illit katmanları arasındaki bu  $\text{K}^+$  iyonları kılın genleşmesini önlemektedir. Illit mineralinin birim katmanı a ve b eksenleri boyunca büyüterek "hidratize mika" adı verilen yapıyı oluşturmaktadır<sup>52, 62-65</sup>.

#### 1.4. Kil Minerallerinin Karakterizasyonu

Kil minerallerinin karakterizasyonu için, çok sayıda teknik geliştirilmiştir. Bu tekniklerden Termal analiz ve X-işinleri kırınımı sonuçlarının birleştirilmesiyle mineraller ayırt edilebilir. Ancak ayrıntılı bir çalışmada kimyasal analiz, Elektron mikroskopisi, UV ve IR absorpsiyonu yöntemleri kullanılır. Bunun yanı sıra yüzey alanları, ortalama gözenek yarıçapı ve gözenek boyutları dağılımlarının belirlenmesi kılın kullanılabilirliği hakkında kesin bilgiler verir<sup>66</sup>.

Katı bir örneğe uygulanabilecek analiz yöntemlerini aşağıda tablo halinde gösterebiliriz.



Şema 1.3 Katı örneklerin karakterizasyonunda kullanılan analiz yöntemleri

## 1.5. Termal Analiz Yöntemleri

Termal analiz, bir örneğe ait fiziksel ve kimyasal özelliklerin sıcaklığın bir fonksiyonu olarak ölçüldüğü teknik yöntemleri ifade eder. Termal analiz cihazlarının ölçüm temeli, analiz edilmek istenen madde üzerine sıcaklığın (ısıtma veya soğutma şeklinde) belli bir program altında verilmesi, verilen sıcaklığa bağlı olarak madde üzerindeki değişimlerin belli tayin sistemleri ile ölçülmesi ve sıcaklığa karşı bu değişimin grafiğe geçirilmesidir<sup>67-70</sup>.

Maddeler ısıtıldıklarında veya soğutulduğuklarında çeşitli değişimlere maruz kalırlar. Bu değişimler maddenin hal değişimleri, maddenin entalpisindeki değişimler, yapıdaki uçucu bileşenlerin belli sıcaklıkta sistemden uzaklaşmasından dolayı maddenin ağırlığındaki azalmalar, belli sıcaklıkta maddenin ortam gazları ile reaksiyonu sonucu (oksitlenme gibi) oluşan ağırlık değişimleri, belli sıcaklıklarda maddenin boyutlarındaki değişimler (genişleme, büzülme, vb), yine sıcaklığa bağlı olarak maddenin elektriksel direncindeki değişimler olarak belirtilebilir.

Yaygın olarak kullanılan termal metodları ve bu metodlarla ölçülen niceliklerden bazılarını aşağıdaki tabloda görebiliriz.

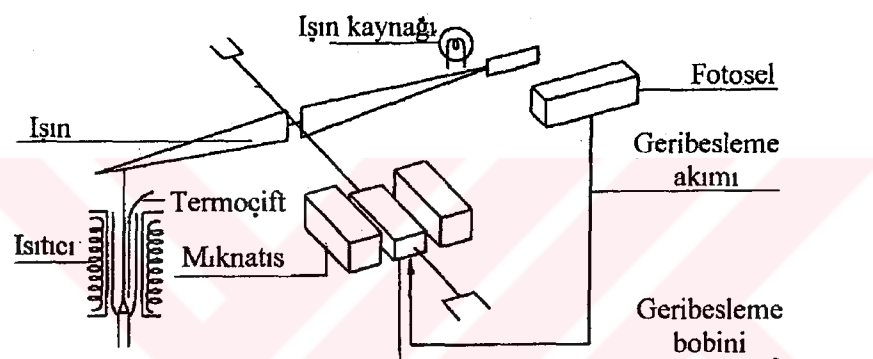
Termal Metod	Ölçülen Nicelik
TG	Örneğin ağırlığındaki değişme hızı
DTA	Örnekte oluşan ısı alış verisi
DSC	Kalorimetrik ölçüm
TMA	Örneğin boyutundaki değişme
EGA	Örnekten uzaklaşan gazların analizi

Tablo 1.3: Termal metodlar ve ölçülen nicelikler

### 1.5.1. Termogravimetri

Termogravimetri (TG) yönteminde, sıcaklık artışına karşılık örneğin kütlesindeki değişim ölçülür. Bu sıcaklık-kütle eğrilerine termogram adı verilir. Kütle değişiminin olduğu herhangi bir olay TG ile incelenebilir. Genel olarak kütle değişimlerinin nedeni, su gibi uçucu bileşenlerin sıcaklık arttıkça uzaklaşması veya maddenin yüksek sıcaklıklarda ayrışmasıdır. Erime gibi kütle değişimine neden olmayan faz değişimleri TG ile incelenemez.

Bir termogravimetrik alet başlıca şu bileşenleri içermelidir<sup>71</sup>.



Şekil 1.8: TG cihazının şematik gösterimi

### 1.5.2. Diferansiyel termal analiz

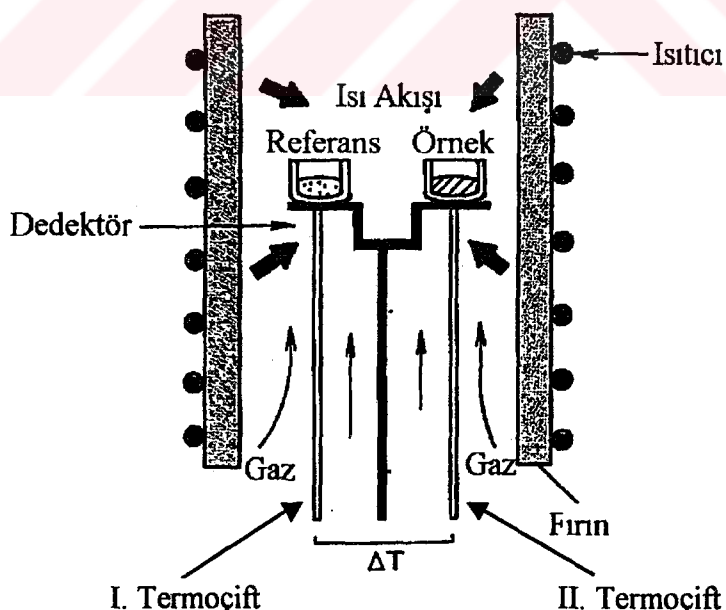
Diferansiyel termal analiz (DTA), bir örnek ile inert bir referans maddesinin aynı koşullar altında ısıtılması sırasında, örnekteki ısı alışverisi nedeniyle, örnek ile referans maddesi arasında meydana gelen sıcaklık farkını kaydeden bir tekniktir.

Örnek ile referans maddesi arasındaki sıcaklık farkı, örnekte bir kimyasal tepkime, faz değişimi veya yapısal değişim gibi bir olay gerçekleştiği zaman gözlenecektir. Eğer bu olaylarda örnek maddesinden bir ısı aşağı çıkıyorsa, örneğin sıcaklığı referans maddesine göre geçici olarak yükselecek ve bu da DTA eğrisinde ekzotermik pik meydana gelecektir; eğer örnek maddesi ısı soğuruyorsa, örneğin sıcaklığı geçici olarak referans maddesinin sıcaklığının gerisinde kalacak ve bu da endotermik bir pikin oluşmasına yol açacaktır.

DTA'nın kullanımı TG'de daha yaygındır çünkü sadece kütleyi değiştirmenin içeren tepkimelerle sınırlı değildir. Isının absorplandığı veya verildiği her olaya uygulanabilir. Endotermik olaylara örnek olarak erime, buharlaşma, süblimleşme, absorpsiyon ve desorpsiyon sayılabilir. Adsorpsiyon olayı genellikle ekzotermik bir değişmedir, buna karşılık kristal faz değişimleri ekzotermik veya endotermik olabilir. Kimyasal tepkimeler ise hem endotermik hem de ekzotermik pikler oluşturur.

DTA eğrileri hem nitel hem de nicel analize uygundur. Piklerin hangi sıcaklıkta gözlendiği ve şekli, örneğin bileşiminin tayininde kullanılabilir. Pik alanı ise tepkime ısısı ve madde miktarı ile doğru orantılıdır. Oranlı katsayı, fırınun ilk sıcaklığı, ısıtma hızı, örneğin tanecik boyutu gibi deneysel parametrelerden etkilenir. Ayrıca eğrinin şekli, tepkime kinetisinin değerlendirilmesine de yardımcı olur.

Örnek ve referans maddeleri aynı fırın içinde ayrı kaplara konur. Kaplar, çoğunlukla platinden yapılmıştır ve birbirine mümkün olduğu kadar yakın yerleştirilir. Sıcaklıklar, örnek kaplarına yakın yerleştirilmiş termoçiftler ile izlenir<sup>72</sup>.

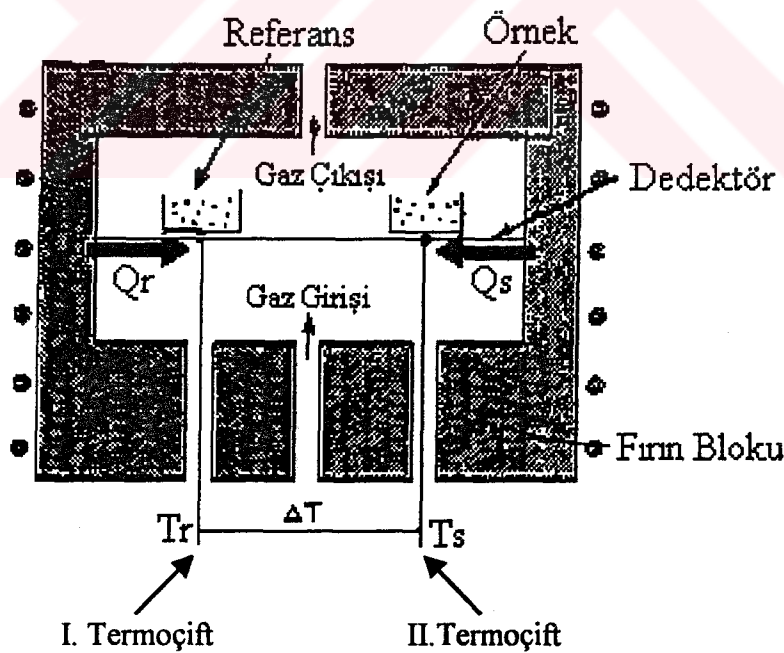


Şekil 1-9: DTA cihazının şematik gösterimi

### 1.5.3. Diferansiyel taramalı kalorimetri

Diferansiyel tarama kalorimetresi (DSC) yönteminde, örnek ve referans maddesine aynı sıcaklık programı uygulanırken, örnekte bir değişiklik olması halinde, örneğe veya referansa bir elektrik devre yardımıyla dışarıdan ısı eklenerek her ikisinin de aynı sıcaklıkta kalması sağlanır<sup>72</sup>. DSC eğrileri, eklenen ısının sıcaklığına karşı çizilen grafiklerdir.

Pikin altında kalan alan, tepkimede absorplanan veya açığa çıkan ısı ile, pik yükseklikleri de tepkime hızı ile doğrudan orantılıdır.  $\Delta H$  pozitif ise (endotermik tepkime), örnek ısıticisine ısı eklenir ve pozitif bir sinyal elde edilir.  $\Delta H$  negatif ise, referans ısıticisine ısı eklenir ve bir negatif sinyal elde edilir. Bu piklerin integrali örneğin aldığı veya verdiği ısı miktarına eşittir.



Şekil 1-10: DSC Cihazının şematik gösterimi

DSC ile yalnız entalpi değişiminin olduğu olayları değil aynı zamanda örnek ile referansın ısı kapasiteleri arasındaki farka karşı da çok duyarlıdır. Örnek maddesinin veya referansın ısı kapasitesindeki bir değişim taban çizgisinin yer değiştirmesi şeklinde görülecektir. Gerçek taban çizgisi ile aletin sıfır çizgisi arasındaki farkın (cal/s), ısıtma hızına ( $^{\circ}\text{C}/\text{s}$ ) bölümü, örnek ile referansın ısı kapasiteleri arasındaki farka,  $\Delta C_p$  (cal/ $^{\circ}\text{C}$ ) eşittir. Birçok büyük polimerlerin yapılarındaki değişimler için  $\Delta H$  çok küçükken,  $\Delta C_p$  DSC ile niceł olarak ölçülebilir büyülüklüktedir.

DTA eğrilerini etkileyen faktörlerin (ısıtma hızı, ısı iletkenliği, örnek boyutları gibi), DSC eğrileri üzerindeki etkileri azdır.

Termal yöntemler, doğal ve üretilmiş maddelerin bileşimlerinin tayin edilmesinde çok yaygın olarak kullanılırlar. Diferansiyel termal ölçümü silikatlar, ferritler, oksitler, seramikler ve camlar gibi inorganik maddelerin termal davranışlarının incelenmesinde kullanılır. Yöntemin en önemli uygulamalarında biri ise faz diyagramlarının oluşturulması ve faz geçişlerinin incelenmesidir. Ayrıca organik bileşiklerin erime, kaynama ve ayrışma noktalarının kolay ve kesin olarak saptanmasını sağlar.

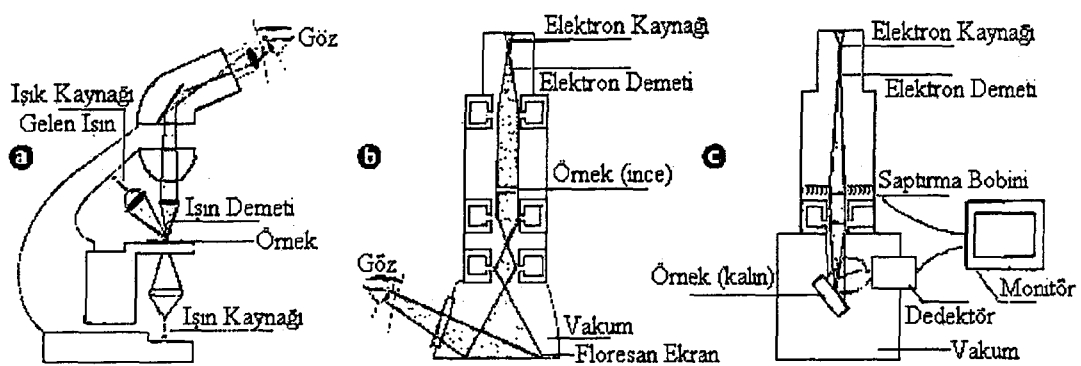
## 1.6. Elektron Mikroskopisi

Malzeme bilimlerinde giderek önem kazanan konuların başında yüzey karakterizasyonu ve analizi gelmektedir.

Polimerlerin yüzey özellikleri yapışma, kaplama, boyama, sürtünme ve biyoyumluluk gibi birçok uygulama alanları için oldukça önemlidir. Yüzeylerin karakterizasyonunda uzun yıllardır kullanılan ve ayırcılığı atomik örgü boyutlarında olan taramalı elektron mikroskopisi (SEM) gelmektedir.

Günümüzde kullanılan modern bir ışık mikroskopu, esas olarak bir objektif mercek ve bir de göz merceği(oku)den oluşmaktadır. Böyle bir ışık mikroskopunun

büyütme gücü 1000X kadar çıkabilir. Bu da gözün 0,0002 mm (0,2 mikron) büyüğündeki bir cismi görmesi demektir (çiplak insan gözü yeterli bir ışık kaynağı altında ancak birbirinden 0,2 mm uzaklıktaki iki noktayı ayırt edebilmektedir. 0,2 mm'den daha yakın olan cisimleri tek bir nokta gibi görür).



Şekil 1-11:İşik mikroskopunun (a) geçirimli (b) taramalı (c) elektron mikroskopu ile karşılaştırılması

Elektron mikroskopu optik mikroskoplarla benzer ilkeyle çalışır (şekil 1-11). Ancak, burada farklı olarak ışık yerine elektron demetleri kullanılır ve bu demetler cam mercekler tarafından değil elektromagnetik mercekler (miknatıslar) tarafından odaklanır. Elektron mikroskoplarının en önemli avantajı çok iyi çözünürlük sağlama ve optik mikroskoplardan çok daha fazla büyütme özelliği olmasıdır.

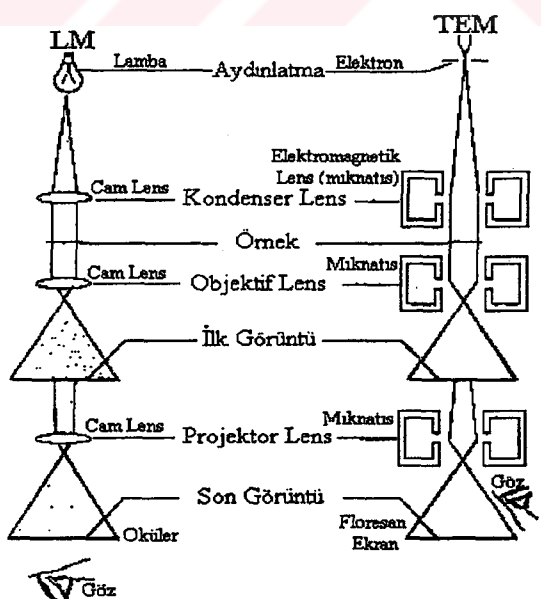
En gelişmiş bir ışık mikroskopu, görünür ışık demeti içerisinde dalga boyu en küçük olan, mavi veya mor ışık kullanısa bile ancak yaklaşık 100 nm'lik bir çözümleme yapabilirken; elektronun dalga boyu ışığınınkinden 100 000 defa daha küçük olduğundan bir elektron mikroskopu 0,1 nm'lik bir çözümleme yapabilir. Bu da 1 000 000 defadan daha fazla bir büyütme gücü demektir.

Elektron mikroskopları; geçirimli elektron mikroskopu (TEM) ve taramalı elektron mikroskopu (SEM) olmak üzere iki farklı şekilde yapılmaktadır.

### 1.6.1. Geçirimli (Transmission) Elektron Mikroskopu (TEM):

TEM'i bir slayt projektörüyle mukayese edebiliriz. Slayt projektöründe bir ışık kaynağından elde edilen beyaz ışık, bir kondenser mercekten geçirilerek paralel ışın demeti elde edilir. Elde edilen bu demet slaytin (nesnenin) içerisindeinden geçirildikten sonra objektif lens tarafından ekran üzerine odaklanır ve büyük bir görüntü oluşur. Elektron mikroskobunda ise ışın kaynağı, bir elektron kaynağıyla, cam mercekler ise mıknatıslarla (elektromagnetik lens), projeksiyon ekranı ise elektron çarptığı zaman ışına yapan bir floresan ekran ile yer değiştirmiştir. Elektron mikroskobunda, elektron kaynağından ekran'a kadar olan bütün sistemler vakum altındadır ve örnekler, içerisinde elektron geçecek kadar ince olmak zorundadır.

TEM için hazırlanan örneklerin yeterince ince olması yeterli değildir. Örneğin yalnız iç yapısı değil yüzeyi de oldukça fazla (hatta daha detaylı) bilgi içermektedir. TEM'de bir örneğin yüzeyinden görüntü elde edebilmek için yapılan ilk denemelerde örnek, neredeyse elektron demeti ile paralel durumda (çok küçük bir açıyla) yerleştirilmiştir. Bu durumda elektronlar yüzeye çok küçük bir açıyla çarpar, bu da örneğin çok dar bir bölgesinin odaklanması ve görüntünün çarpılmasına neden olur. Bu yüzden TEM tekniği yüzey çalışmalarında daha az kullanılır.



Şekil 1-12: İşın mikroskobu (LM) ve geçirimli elektron mikroskobunda (TEM) ışın ve elektronların izlediği yol

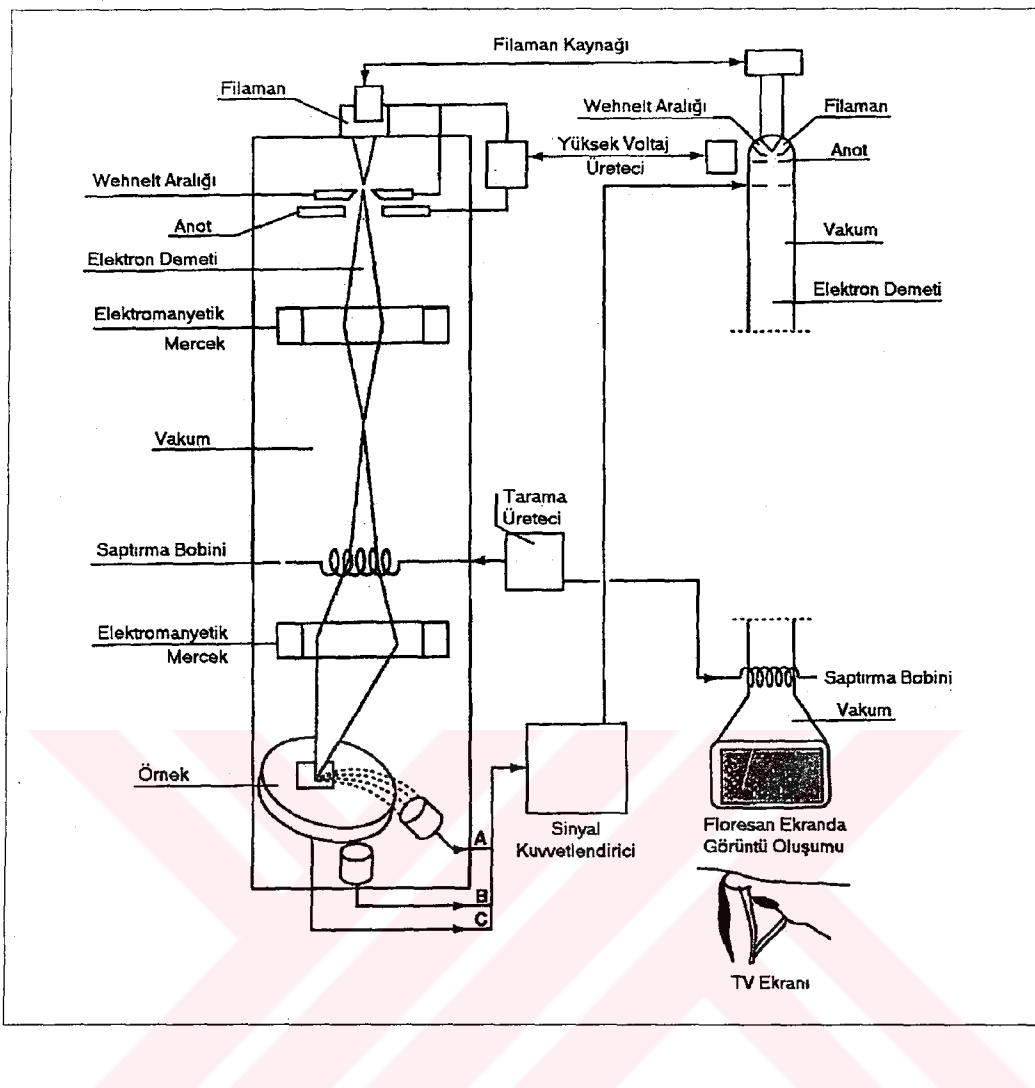
Bir TEM'de dört ana bileşen vardır: Bunlar; elektron optik kolonu, vakum sistemi, elektronik devreler ve bilgisayar programı. Kolon en önemli parçadır. Kolon Şekil 1-12'de görüldüğü gibi ışık mikroskopunda bulunan aynı elemanları kapsar. ışık mikroskopunun ışık kaynağı TEM'de bir elektron tabancasıyla, cam mercekler mıknatıslarla ve oküler ise bir floresan ekran ile yer değiştirmiştir. Tabancadan ekrana kadar olan tüm elektron yolu vakum altındadır (aksi halde elektronlar hava molekülleriyle çarpışır ve absorplanır). Böylece son görüntü, yansıtma odası içerisindeki bir pencereden gözlenebilir.

#### 1.6.2. Taramalı (scanning) elektron mikroskobu (SEM):

Taramalı elektron mikroskobu, TEM'de olduğu gibi, bir elektronoptik kolonu, vakum sistemi ve elektronik devrelerden meydana gelmektedir. SEM'de sadece üç adet mercek bulunduğuundan kolonun boyu TEM'e göre daha kısa ve örneğin altında mercek bulunmadığından örnek yeri daha geniş yapılmıştır. SEM'de örneklerin yüzeyi incelendiğinden, örnek kalınlığı önemli değildir. Örneğin boyutunu sınırlayan tek parametre, örnek yerinin büyüklüğüdür. Bu da üretici firma tarafından belirlenir. SEM'de, TEM'de bulunmayan tarama ve gösterge devreleri bulunduğuundan elektronik sistemi oldukça karmaşıktır (Şekil 1-13).

Elektronoptik kolonunun tepesindeki elektron tabancasından elde edilen elektron demeti örnek yüzeyinde 4 nm'den daha küçük yarıçaplı bir bölgeye odaklanabilir. Örnek üzerine odaklanan bu elektron demeti, yüzeyi tarar ve bu tarama esnasında elektron bombardımanı ile örnek arasında bir takım etkileşimler olabilir. Bu etkileşimleri genel olarak şöyle özetleyebiliriz:

- a) Örneğin kendisi ikincil elektronlar yayar
- b) Primer elektronların bazıları geri saçılır
- c) Elektronlar örnek tarafından absorblanır
- d) Örnek X-ışınları yayar



Şekil 1-13: SEM'in şematik gösterimi

Diğer etkileşimlerden ayrı olarak, örnekten yayılan ikincil elektronlar uygun bir dedektör yardımıyla kaydedilir ve elde edilen sinyaller güçlendirilir. Tarama esnasında primer elektronlarla eş zamanlı olarak elde edilen bu ikincil elektronlar katot ışınları tüpünde (ekranda) parlaklığın oluşturulmasında kullanılır. Bu yüzden, örnekten yayılan ikincil elektronların sayısı ile ekranda oluşan görüntünün parlaklıği arasında doğrudan bir ilişki vardır.

Monitördeki görüntünün büyüklüğü ile örnek üzerinde taranan alanın büyüklüğü arasındaki oran büyütme miktarını verir.

$$\text{SEM Büyütme Oranı} = \frac{\text{Elektron demeti tarafından ekrana düşürülen bir çizginin uzunluğu}}{\text{Örnek üzerinde elektron demetinin bir izinin boyu}}$$

SEM'de büyütme ve çözünürlük tamamen, örneği tarayan ışın demetini kontrol eden elektronik devreler yardımı ile belirlenir. Maksimum büyütme genellikle 300 000-600 000X'dır.

İlke olarak, bir SEM'de çözünürlük örnek üzerine gönderilen ışın demetinin yarıçapına bağlı olmakla beraber örneğe ve örneğin hazırlanma yöntemlerine de bağlıdır. Ayrıca, ışık yoğunluğu, voltaj, tarama hızı, örneğin son lense olan uzaklığı ve örnek yüzeyinin dedektöre göre açısı gibi entrümantal parametreler de rezolüsyon üzerinde etkilidir. Optimum koşullar altında 1 nm 'lik rezolüsyona ulaşmak mümkündür.

Herhangi bir örneğin yüzeyi hakkında bilgi edinilmek istendiğinde SEM kullanılabilir. Hatta elektronlar örneğe çarptığında örnekten X-ışınları yayıldığından, uygun bir dedektör yardımıyla kantitatif analiz bile yapılabilir. Bunun için gerekli olan tek şart örneğin vakum altında elektron bombardımanına dayanabilmesidir.

Birçok örnek, sadece yüzey parlatma ve temizleme işlemine tabi tutulur. Ancak su gibi buharlaşıcı bileşen içeren örnekler önce vakumda kurutulmalı ve çok iyi iletken olmayan, örneğin, polimerik malzemelerin yüzeyi altın veya karbon gibi iletken bir madde ile kaplanmalıdır. Altın çok ince kaplandığından ve çok iyi ikincil elektronlar ürettiğinden iyi bir görüntü oluşmasını sağlar. Altın veya daha ucuz yöntem olan karbon kaplama işlemi, örnek üzerine gelen elektron demeti ile örneğin elektriksel kontağının sağlanması, dolayısıyla tarama işlemi sırasında ekranda görüntünün (örnek yüzeyinin elektronlarla haritasının çıkarılma işleminin) elde edilmesi için kullanılır<sup>73-76</sup>.

## 1.7. X-Işınları Kırınımı Yöntemi

Katı maddelerin çoğu kristaldir. Kristaller ise düzlem yüzeylerin sınırlandığı üç boyutlu şekillerdir. Yüzeylerin kesiştiği yerlerdeki açılar, belli bir madde için hep aynı olup, o maddenin karakteristik bir özelliği olarak sayılabilir.

Ideal bir kristal, özdeş yapitaşlarının uzayda dizilişiyle oluşturulur. Basit kristallerde (bakır, gümüş, altın, demir, alüminyum ve alkali metaller) en küçük yapısal birimler tek atomlardır. Ancak, en küçük yapısal birim birkaç atom veya molekül olabilir.

Tüm kristallerin yapısı bir örgü ile tanımlanabilir. Bu örgünün her düğüm noktasında bulunan atomlar grubuna baz denir. Bu bazın uzayda tekrarlanmasıyla kristal oluşur. Bir örgü  $a_1$ ,  $a_2$ ,  $a_3$  gibi üç temel öteleme vektörü ile tanımlanır. Bu durumda, örgü, uzayda periyodik olarak sıralanmış noktalar dizisidir (Bunun iki boyutlu karşılığı “ağ” adını alır.). Örgü ve baz kavramları arasındaki bağıntı şöyle ifade edilebilir: Örgü+Baz=Kristal Yapı.

Uzayda bir kristal düzlemi, aynı doğru düzlemi üzerinde olmayan üç nokta ile belirlenir. Eğer bu noktalar farklı birer kristal ekseni üzerinde yer alı吆rlarsa, düzlemi belirten noktaların koordinatları  $a$ ,  $b$ ,  $c$  gibi örgü sabitleri cinsinden verilebilirler.

Ancak, kristal yapı analizleri için daha kullanışlı bir yöntem, her bir düzlem için indisler tanımlanmalıdır. Bu indisleri belirleyen kurallar şunlardır.

- Belirtilmek istenen düzlemin kristal eksenlerini kestiği noktalar örgü sabitleri  $a$ ,  $b$ ,  $c$  cinsinden bulunur.
- Bu sayıların tersleri alınır ve aynı orana sahip en küçük üç tamsayı elde edilecek şekilde indirgenir. Bir parantez içinde ( $hkl$ ) gösterilen bu sayı kümesi o düzlemin indisini olur.

(hkl) indisleri bir düzlemi veya birbirine paralel tüm düzlemleri belirtebilir. Bir düzlem, eksenlerden birini negatif tarafta keserse buna karşılık gelen indis negatif olur ve indisin üzerinde bir “-“ işaretıyla gösterilir.

Kristal yapı foton, nötron ve elektronların kırınımı yoluyla incelenir. Kırınım dalga boyuna ve kristal yapısına bağlıdır.

Bir kristalden kırınım olayının basit bir açıklaması W.L.Bragg tarafından yapılmıştır. Gelen bir dalganın kristaldeki atomların oluşturduğu düzlem tabakalarından yansımاسının bir düzlem aynadaki gibi (yani, yansima açısı=geliş açısı) olduğunu varsayılmı. Kırınım olayı farklı tabakalarдан yansyan dalgaların girişimleri sonucu oluşur. Burada yansima sırasında X-ışınlarının elastik olarak saçıldığı, yani enerjilerinin değişmediği varsayılr.

Paralel örgü düzlemlerinin d aralıklarla sıralandığını varsayılmı. Gelen ışın kağıt düzlemi içindedir. Komşu iki düzlemden yansyan ışınlar arasındaki yol farkı  $2d \sin\theta$  olur ve  $\theta$  düzlemlerle olan açıdır. Yapıçı girişim olayı için, ardışık düzlemlerden yansyan ışınlar arasındaki bu yol farkının dalga boyunun tam katları olması gereklidir:  $2d \sin\theta = n\lambda$ . Bu, Bragg yasasıdır. Bragg yansımاسının gerçekleşebilmesi için  $\lambda < 2d$  olması gereklidir.

Bir tek düzlemden yansimanın düzlem ayna gibi olmasına rağmen, ancak belirli  $\theta$  açılarında tüm paralel düzlemlerden yansyan ışınlar yapıçı girişim sonucu kuvvetli bir yansımaya yol açarlar. Her düzlem ideal bir yansıtıcı olsaydı sadece birinci düzlemden yansıma olur ve her dalga boyunda yansıma gerçekleşirdi. Fakat, her düzlem gelen ışının sadece  $10^{-3}$ - $10^{-5}$  oranlarında yansıtır ve ideal bir kristalde Bragg yansımاسının oluşması için  $10^3$ - $10^5$  sayıda düzlem gerekebilir.

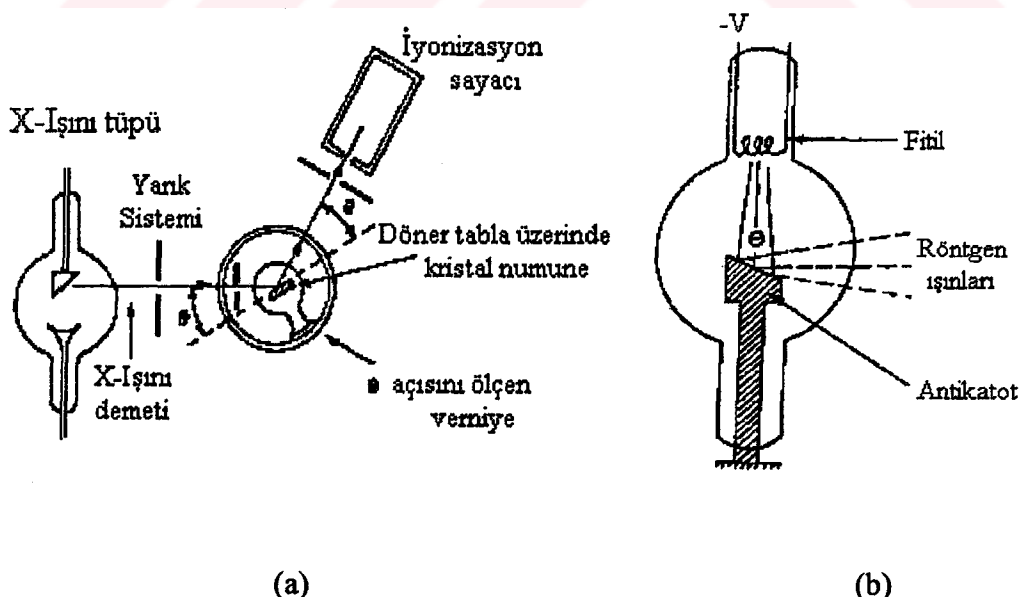
X-ışınları ile yapılan kristalografi çalışmalarında tek kristal ve toz kırınım yöntemi kullanılır.

Tek kristal yönteminde, X-ışınları bir kolimatör yardımı ile filtre edilerek, döner bir eksen üzerine takılı olan örnek kristalin üzerine düşürülür ve kırınımı

uçurarak kristalden çıkan demet, kristali saran bir fotoğraf filmi üzerine kaydedilir. Bu metodda dikkat edilecek önemli noktalardan bir tanesi, kristalin belirli düzlemlerinden birisinin dönme eksene paralel olarak yerleştirilmesidir. Bunu sağlamak amacı ile kristal bir gonyometre üzerine yerleştirilir. Bu metodun sağladığı en büyük avantaj, ortaya çıkan yansımada kristalin ayrı düzlemler takımına ait yansımaların birbirlerinden kolaylıkla ayrılabilmesidir.

Toz kırınım yöntemi, kristal yapı hakkında bilgi edinmek amacıyla en yaygın olarak kullanılan yöntemlerden bir tanesidir. Bu yöntemin en büyük avantajı tek kristal kullanılmadan kristal desenini bulmayı mümkün kılmaktır. Bu yöntemde, toz haline getirilmiş kristal örneklerinin üzerlerine belirli bir doğrultudan tek dalga boylu X-ışınları düşürülür. Örnek üzerine düşen X-ışınları tek dalga boylu olmakla birlikte, kristallerin bu işinin geliş doğrultusuna göre yönelmeleri değişik olacaktır.

Bu şekilde yönelen kristallerden pek çokları kırınım için uygun yönelimlere sahip olmayabilirler, ancak pek çokları da uygun doğrultuda olacak ve hatta birbirlerinden çıkan kırınımı ugramış işin demetlerini de kuvvetlendireceklerdir. Öyleyse toz örneğin kütlesi, olası tüm eksenler üzerinde bir kez çevrilen tek kristal gibi düşünülebilir ve bu kristalin verebileceği tüm parıldamaları verebilir<sup>76-79</sup>.



Şekil 1.14: X-ışınları difraktometresinin şematik gösterimi (a), X-ışınları tüpü (b)

## 1.8. Fourier Transform Infared (FTIR) Spektrofotometresi

İnfrared absorpsiyon spektroskopisi, yapısal analizlere evrensel olarak uygulanan hızlı, ekonomik ve örnek tüketmeyen fiziksel bir yöntemdir. Teknik o kadar çok yönlüdür ki hem kristal yapı çalışmalarının fiziksel parametrelerinin incelenmesinde hem de iki madde arasındaki ilişkiyi ve saflığını kontrol etmede oldukça yaygın olarak kullanılmaktadır. IR teknigi kil mineralojisi ve toprak bilimlerinde oldukça yaygın olarak kullanılan basit bir tekniktir<sup>80</sup>.

İnfrared ışınması, elektromagnetik spektrumda görünür bölge ve mikrodalgalar arasında bulunur ve dalga boyu  $0,8\text{-}500 \mu\text{m}$  (dalga sayısı  $12500\text{-}20 \text{ cm}^{-1}$ ) olan ışınlardır.  $12500\text{-}4000 \text{ cm}^{-1}$  bölgesine yakın infrared bölgesi,  $4000\text{-}400 \text{ cm}^{-1}$  bölgesine infrared ve  $400\text{-}20 \text{ cm}^{-1}$  bölgesine uzak infrared bölgesi denir. Yakın ve uzak infrared bölgeleri organik maddelerin yapı analizinde pek yararlı değilken infrared bölgesi oldukça yararlıdır.

İnfrared spektrumları iki türlü bilgi verir: (a) Organik bileşiklerin yapısındaki fonksiyonlu gruplar bulunur. (b) İki organik bileşiğin aynı olup olmadığı anlaşılır.

İnfrared bölgesinde soğurma, moleküllerin titreşme ve dönme düzeylerini uyarır. İnfrared ışınmasının enerjisi, moleküldeki bağları bozmaya yetmez, elektronik uyarma da yapmaz; fakat atomların kütlelerine, bağların gücüne ve molekül geometrisine bağlı olarak titreşme genliklerini artırır. İnfrared soğurma bandları olarak görülen titreşimler, molekülde bağların ve atom gruplarının dipol momentlerinde değişme yapabilen titreşimlerdir.

Moleküllerdeki titreşim hareketi iki türlüdür: (a) Gerilme titreşmesi ve (b) Eğilme titreşmesi. Gerilme titreşmesinden bağ ekseni doğrultusunda ritmik hareketlerin olması anlaşılır. Eğilme titreşmesinden ise aynı bir atoma doğru olan bağlar arasındaki açının değişmesi ve atom grubunun molekül içindeki hareketleri anlaşılır. Eğilme titreşimleri düzlem içi ve düzlem dışı olmak üzere iki türlüdür. Organik bileşiklerde, fonksiyonlu gruplar için belli gerilme ve eğilme titreşmeleri vardır ve infrared bölgesi spektrumlarında, fonksiyonlu gruplar için belirgin soğurma bandlarının görüldüğü  $4000\text{-}1500 \text{ cm}^{-1}$  bölgesine fonksiyonlu grup bölgesi denir.

$1500-400\text{ cm}^{-1}$  bölgesindeki soğurma bandları ise tek tek fonksiyonlu gruptardan çok molekülün tümünün titreşmesine aittir ve iki bileşigin aynı olup olmadığını anlamak için incelenir. Bu bölgeye infraredde parmak izi bölgesi denir<sup>128</sup>.

Infrared spektrofotometrelerinin spektrum kayıt hızının düşüklüğü, dalga boyu kalibrasyonu ve duyarlığın azlığı gibi bazı sorunların olduğu bilinir. Spektrum kaydı dakikalar aldığı için hızlı işlemlere, örneğin kromatografi kolonu çıkışındaki maddelere uygulanamaz. Günümüzde, infrared spektrumlarının kaydı için yeni bir yöntem olan Michelson interferometresi kullanılır. Interferogramın Fourier dönüşümünü yapmak amacıyla spektrofotometreye bağlanmış bir bilgisayardan faydalанılır. Fourier Transform Infrared (FTIR) spektrofotometresinin eski yönteme göre pekçok üstünlükleri vardır. Her dalga boyunu tek tek taramadığı için spektrum birkaç saniyede alınır. Yüksek ayırmalı bir spektrum elde edilir. Spektrum dijital şekilde kaydedildiğinden bir karışımın analizinde bileşenlerden birinin spektrum verileri karışımın spektrum verilerinden çıkarılarak diğer bileşenlerin spektrum verileri elde edilir<sup>82</sup>.

## 1.9 Amaç

Bu çalışmaya başlamadan önce yapılan literatür taramalarında, killerin, polimerik ve organik maddelerle olan kompozit materyallerine sıkça rastlanmıştır<sup>83-92</sup>. Ancak, bu tür kompozitlerde organik moleküller ve polimerik malzemeler kil tarafından ya adsorplanmakta ya da tabakaları arasına giren bu moleküllerle zayıf hidrojen bağları yapmaktadır. Killerin kovalent bağlar ile polimere bağlılığı çalışmalara literatürde rastlanmamıştır.

Bu çalışmada kil-polimer hibrit materyalleri sol-jel yöntemi kullanılarak hazırlanacak ve fizikokimyasal özellikleri inceleneciktir. Bu nedenle, doğal materyal olan kil mineralerinden başlayarak sol-jel yöntemi ile kil-polimer kompozit materyalleri kaolin ve bentonit grubu mineraler kullanılarak hazırlanacak ve yapısal karakterizasyonu yapıldıktan sonra teknolojik kullanımları araştırılacaktır.

Kil-polimer hibrit materyalleri sentezlenirken meydana gelebilecek olası reaksiyon koşullarını yenmek için sol-jel metodu seçilmiş ve çok sayıda yeni materyaller hazırlanmıştır. Özellikle çevre ve su teknolojisi alanında endüstriyel ve evsel atık sularıyla içme suyunun temizlenmesi, yüksek bir yatırım gerektirdiğinden elde edilecek olan materyaller arıtım teknolojisinde su için şu ana kadar kullanılan klorlama ve ozonlama sistemlerine bir alternatif olarak denenecektir. Ayrıca bentonit minerali bakımından oldukça zengin olan Malatya yöreninin<sup>93</sup>, bu kaynaklarını teknolojik olarak kullanma imkanları araştırılacaktır.

Silanlar su ile katalizör yanında hidroliz reaksiyonlarını kolaylıkla vermektedir. Hidroliz hızı aşağıdaki faktörlere bağlıdır<sup>94</sup>.

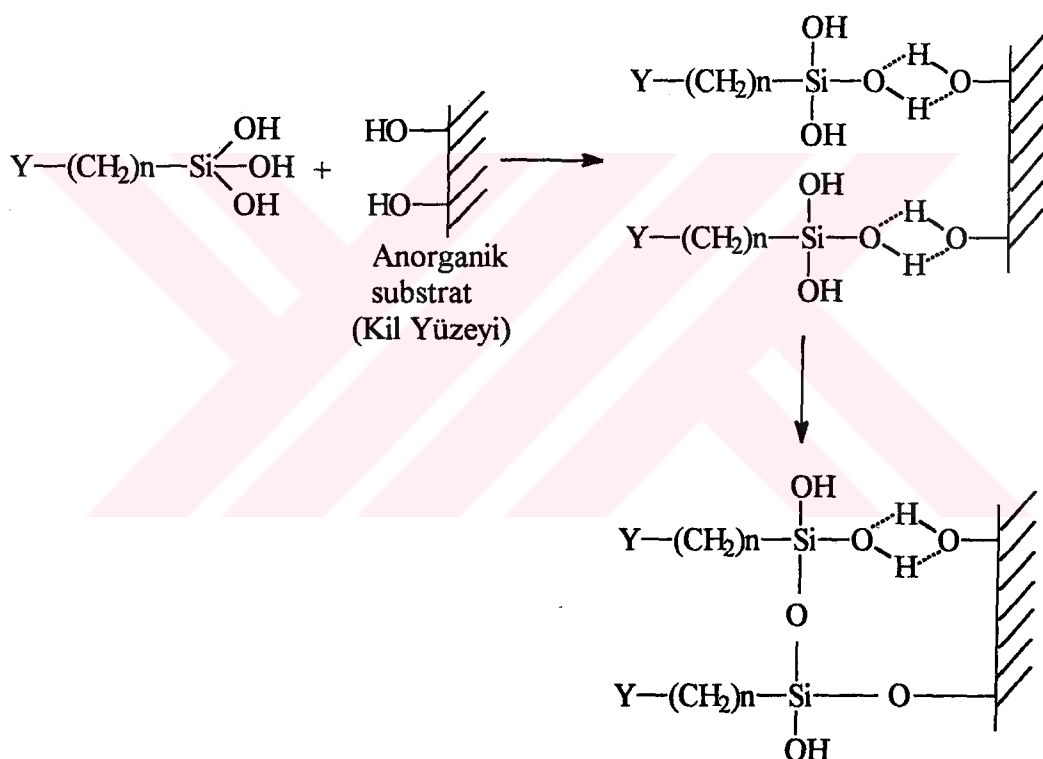
- Derişim,
- pH değeri
- Katalizör miktarı ve türü
- Organofonksiyonel grup türü
- Silikofonksiyonel grup türü

Aminosilanlar katalizör gerektirmeksızın hidrolize uğradığı halde diğerleri için uygun ortamların sağlanması gereklidir. Hidroliz olma kolaylığı,

$-\text{Cl} > -\text{OC}=(\text{CH}_3) > -\text{OCH}_3 > -\text{OC}_2\text{H}_5 > -\text{OC}_3\text{H}_7$  şeklindedir<sup>95</sup>.

Kıl yüzeyine bağlanma:

Silanol ile anorganik yüzeydeki  $-\text{OH}$  gruplarının kimyasal bağlarla birbirlerine bağlanması



Şema 1.4: Silanolün anorganik yüzeye bağlanması

şeklinde olmaktadır<sup>96</sup>. Ve silanol gruplarının anorganik substrata bağlanması etkileyen parametreler ise<sup>97</sup>;

1. Silikofonksiyonel grup : Silikofonksiyonel grup reaksiyon hızı ve wetting (nemlendirme) özelliğini önemli oranda etkilemektedir.

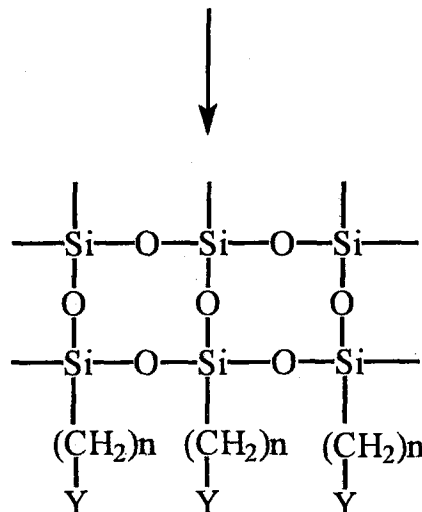
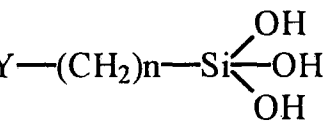
2. Organofonksiyonel grup: Nemlendirme ve film özelliklerini önemli oranda etkilemektedir.
3. Katkı maddeleri: Çözüçüler, asit ve baz katalizörleri silanolün inorganik yüzeye bağlanması önemli ölçüde etkilemektedir.
4. Kurutma: Ön işlemden sonra ortamdaki suyu uzaklaştırmak için ve kondensasyonu tamamlamak için kurutma işlemi uygulanacağından önemlidir.
5. Anorganik Substrat: Silanlar ile çok sayıda anorganik substrat etkileştirilebilmektedir. Örneğin demir, alüminyum, çinko ve bakır v.b. veya doğal taşlar, beton, kireç taşı, tuğla v.b. ancak silanların kimyasal bağlarla yapıya doğrudan bağlanabilmesi için anorganik substrata kondense olabilir –OH gruplarının bulunması şarttır.

Bu amaç için denenen inorganik substratlar aşağıda verilmektedir. Yukarıdan aşağıya inildikçe silanolün bağlanması güçleşmektedir.

- Silika
- Kuartz
- Bentonit
- Kaolin
- Diğer killer

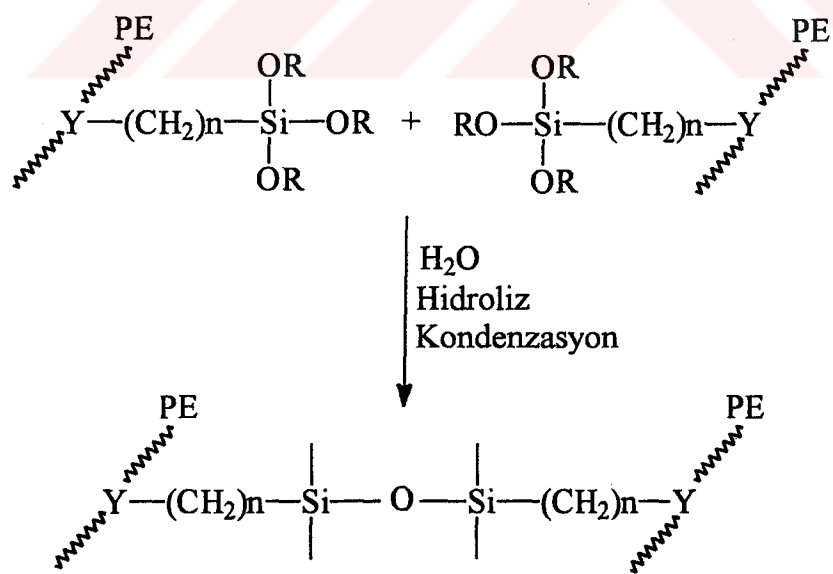
#### Kondenzasyon:

Silanoller kendi kendilerine uygun ortamlarda kondense olabilirler. Reaksiyon hızı, silan derişimine, katalizör türü ve miktarına, ortamın pH'ına ve ilave edilen katkı maddelerine bağlıdır. Sulu çözeltideki silanların raf ömrü sınırlı olduğundan amino silanların dışında olanların uzun süre bekletilmesi imkansız olup kendi kendilerine kondense olurlar<sup>98</sup>.



(a)

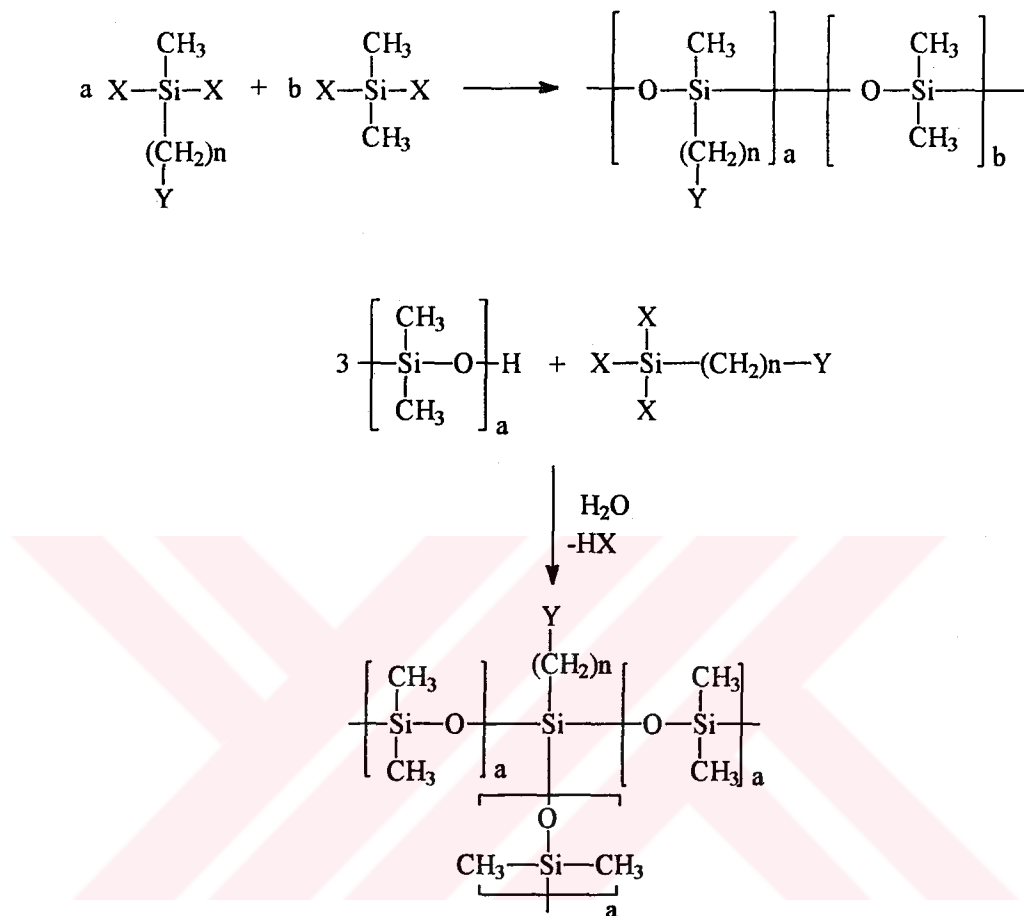
Silanollerin kendi kendilerine kondense olmalarından faydalananarak değişik sayıda farklı özellikte materyaller hazırlanmıştır.



(b)

**Şema 1.5: Silanollerin kendi kendilerine kondenzasyonu**

Fonksiyonel silanların hazırlanması ve hidroliz edilmesi ile aşağıda gösterildiği şekilde yeni malzemeler hazırlanabilmektedir.



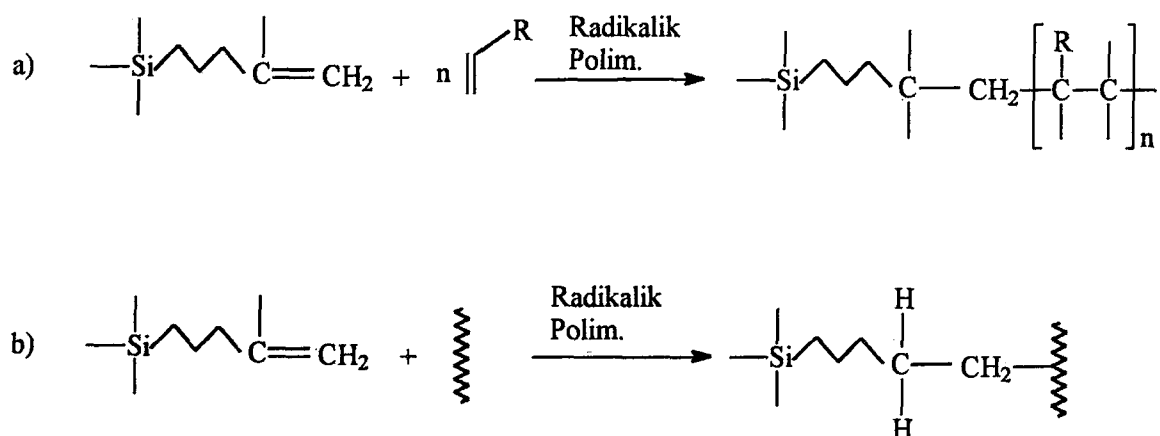
Şema 1.6: Fonksiyonel silanların sentez ve hidrolizi

Organofonksiyonel silan gruplarının polimerlerin fonksiyonel grupları ile etkileştirilmesi ile anorganik sütun , silan köprüsü ile çok sayıda polimerlere bağlanmıştır<sup>99</sup>.

Değişik silanlar denenerek optimum bağlanma koşulları araştırılmıştır. Termoplastik ve termoset polimerler için seçilecek silan tipinin önemi büyük olduğundan çok sayıda polimer denenmiştir. Aşağıdaki tabloda polimerler, fonksiyonel grup tipi ve kullanılan sol-jel materyalleri gösterilmektedir.

Polimer	Organo-fonksiyonel Grup	Tercih Edilen Silan
Poliester	Metakrilik	MEMO
Poliakrilat	Metakrilik	MEMO, VTMO, VTEO
	Epoksi	GLYMO
	Amino	AMEO
	Vinil	DAMO
Polistiren	Epoksi	GLYMO
	Vinil	VTMO
	Metakrilic	MEMO
Poliakrilonitril	Glisidil	GLYMO
	Metakrilik	MEMO
Polivinilimidazol	Metakrilik	MEMO

Tablo 1.4: Hibrit materyallerde kullanılan fonksiyonel gruplar ve metal alkaksi bileşikleri



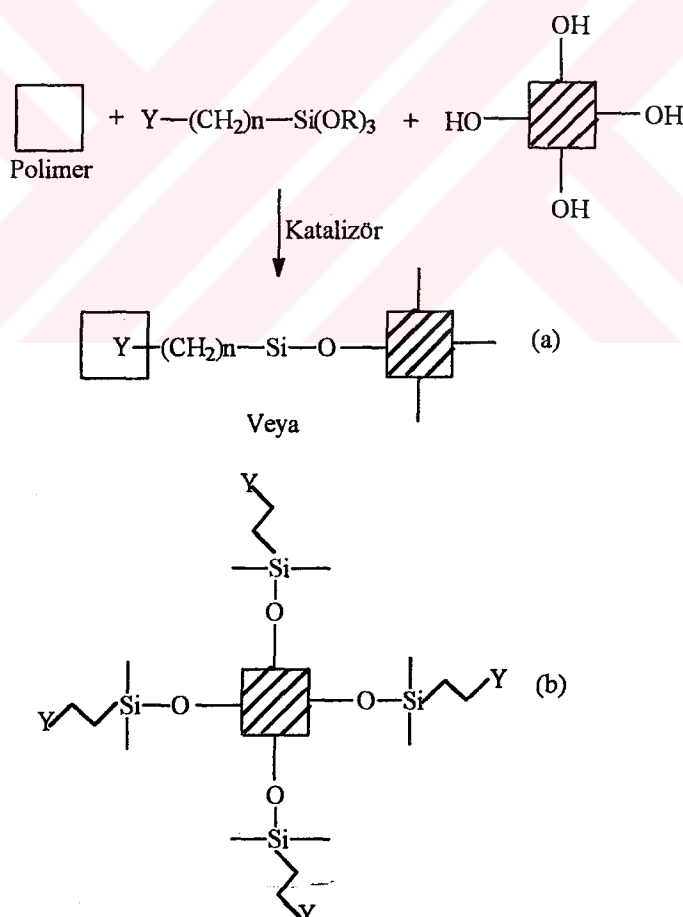
Sema 1.7: Vinil türevli organofonksiyonel silanların kopolimerizasyonu

Gerek polimerin doğrudan kullanılması, gerekse monomer ile başlatılan polimerik sol-jel materyallerin, oramacerlerin, eldesinde kullanılan silan tipinin ve organofonksiyonel grubun çeşitliliği örnek hazırlamayı etkileyen en önemli parametreler arasında görülmektedir<sup>100-102</sup>.

Doğal kaynak olan kil minerallerinin sol-jel yöntemi kullanılarak polimerlere bağlanması ise aşağıdaki nedenlerden ötürü önem kazanmaktadır.

- a. Proses özelliklerinin iyileştirilmesi
- b. Ürün özelliklerinin geliştirilmesi

Mekanik özellikler, nem ve korozyon dayanıklılığı, elektriksel özellikler bu yöntemle kontrol altına alınmakta ve proses koşullarında viskozite ve newtonian akışkanlık özellikleri geliştirilebilmektedir<sup>103</sup>.



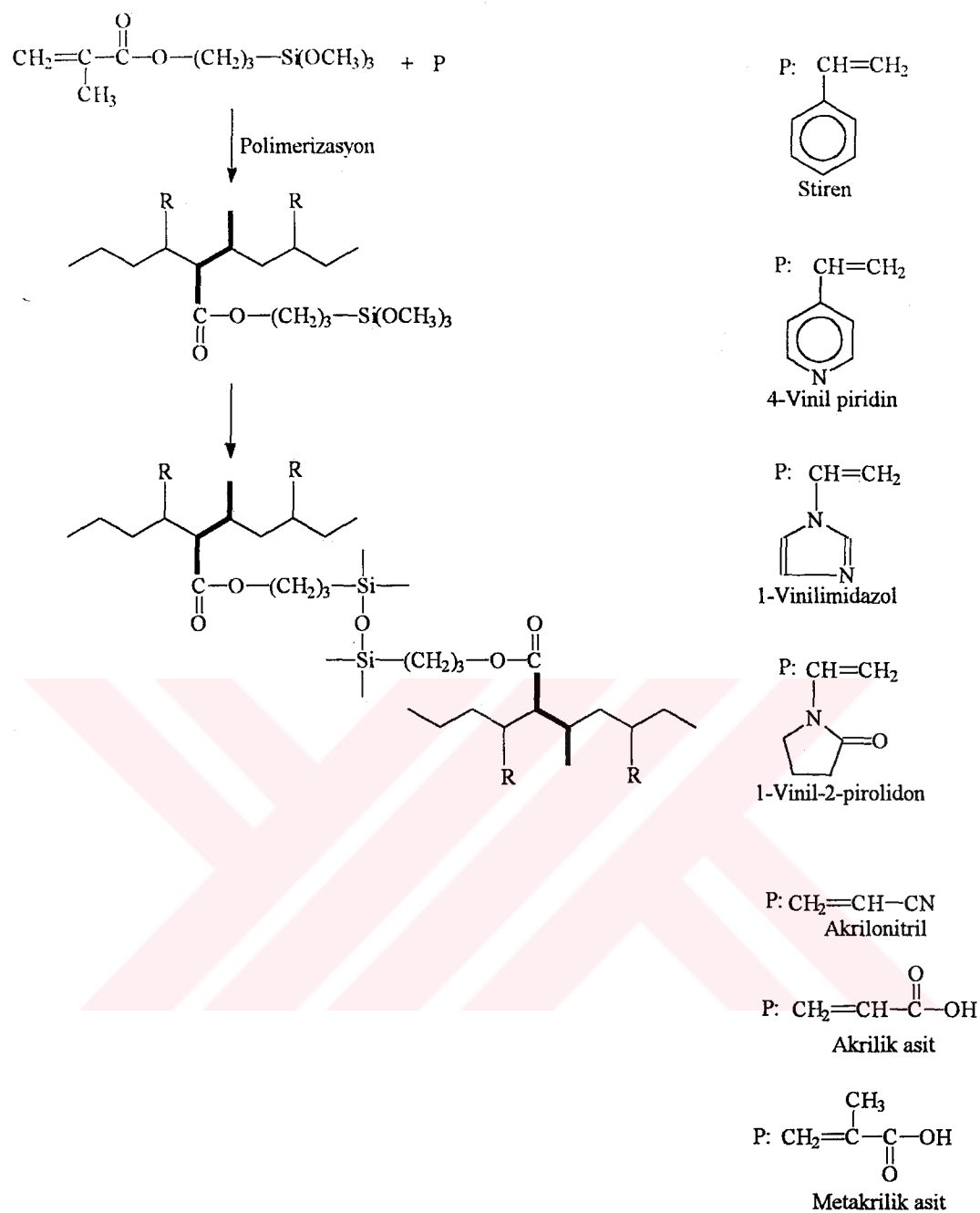
Şema 1.8: Organofonksiyonel grup içeren silisyum alkoksit bileşikleriyle hibrit materyal sentezi

Yukarıdaki şemada (1.8) gösterildiği gibi, polimerik yapı anorganik yapı ile kimyasal bağla bağlanarak özellikleri geliştirilmiş yeni materyallere dönüştürmektedir (a), diğer taraftan yüzey modifikasyonu yine silan türevleri ile sağlanabilmektedir (b). Bu etki, anorganik yapıların yüzey özelliklerinin değişmesiyle izah edilebilmektedir<sup>104</sup>. Organofilik formülasyon ile daha iyi proses koşulları sağlanabilmektedir, adezyon köprüleri ile de neme karşı kararlılık sağlanmakta bu da ürün özelliklerini iyileştirmektedir<sup>105</sup>.

Polimerik organofonksiyonel silanlar yeni organofonksiyonel silanların sentezlenmesi açısından önemlidir. Bu şekilde elde edilen materyaller özellikle minerallerle etkileştirilebildiğinden endüstriyel açıdan önemlidir<sup>106-107</sup>.

Bu tür yapıların sentezlenebilmesi silikofonksiyonel grup, uygun organofonksiyonel grup, polimer ile uyum, akışkanlık aktivitesi, adezyon özellikleri ve iyi film oluşturabilecek yapıların tercih edilmesi gerekmektedir.

Akrilat sistemlerinde organofonksiyonel silanların kullanımı aşağıdaki şekilde verilmektedir.  $\gamma$ -metakriloksipropiltrimetoksisilan kullanılarak hazırlanabilecek polimer örnekleri ve reaksiyon şeması ise,



Şema 1.9:  $\gamma$ -metakriloksipropil trimetoksi silan'ın vinil türevli momomerlerle kopolimerizasyonu

şeklindedir.

Organik-anorganik kompozit materyallerin sol-jel yöntemi ile hazırlanması bilimsel olduğu kadar endüstri uygulamaları açısından oldukça önemlidir. Organik

ve anorganik fazın kimyasal ve fiziksel özelliklerinin yeni ürünlerde bir arada olması ile hazırlanan materyaller için "hibrit""terimi kullanılmaktadır<sup>108</sup>. Her iki fazın özellikleri ile hibrit materyallerin özellikleri tam olarak izah edilemez, çünkü yeni materyalde her iki fazın özelliklerinden daha iyi özellikler söz konusudur.

Tek bir materyal içerisinde özellikleri kontrol edilebilir şekilde bir arada tutmak için anorganik yapının yanısıra organik yapının da özelliklerinden faydalılmaktadır. Killer bu konuda doğal kaynak olarak seçilmiştir. Polimerlerin özelliklerinin kil yapıları ile değiştirilmesi iki türlü olmaktadır.

1. Kil ve polimerlerin interkalasyonu ile hazırlanan sistemler
2. Polimerin doğrudan kile bağlandığı sistemler

Toluenin Cu(II) montmorillonit üzerindeki transalkilasyon reaksiyonları ve polimerizasyonu yapılmış ve ESR, NMR ve X-ray difraksiyon teknikleri ile yapı karakterize edilmiştir<sup>109</sup>. Bu çalışmada oligomer düzeyinde malzemeler elde edilebilmiştir. Etkileşim sadece kilin polimerizasyon üzerine katalitik etkisi ile izah edilmiştir.

Polimetilmekrilatın alüminia üzerinde yüzey hidroksit gruplarına bağlanması ile ilgili Papirer ve arkadaşlarının çalışmasında ise polimetilmekrilat alüminia ile etkileştirilmiş ve iyonik olarak polimer yüzeye tutturulmuştur<sup>110</sup>. Akelah ve arkadaşları ise polistiren kullanarak montmorillonit ara tabakalarına polistiren yerleştirmek suretiyle nanokompozitleri interkalasyon ile hazırlamışlardır<sup>111</sup>. Metilmekrilatın anorganik parçacıkların yüzeyine titanat kompleksleri kullanarak polimerleştirilmesi sonucu kapsülasyon ile polimer-kil sistemlerine ulaşılmıştır<sup>112</sup>.

İnterkalasyon ile naylon-6-kil hibrit materyallerinin hazırlanması ile polimer kil sistemler hazırlanabilmiştir<sup>113</sup>. Poliimide-kil hibrit materyaller ise montmorillonit, piromellitik anhidrit ve 4,4-diaminofenil eter kullanılarak interkalasyon ile sentezlenmiştir. Na<sup>+</sup> tipi montmorilonit su içerisinde disperse edilerek poliimide ile etkileştirilmiş ve ara katmanlara polimerik gruplar yerleştirilmiştir<sup>114</sup>.

Sol-jel metodu kullanılarak poli(tetraetenglikolmalonat) ve titanizopropoksit asidik ortamda etkileştirilmiş ve poli(tetraetenglikolmalonat)-titanoksit hibrit materyalleri sentezlenmiştir<sup>115-116</sup>. Polietilen glikol hibrit jelleri tetraetoksi silan ve polietilen glikol ile hazırlanmış ve yapısal çözümleme TEM ile yapılmıştır<sup>117</sup>.

Azobenzen türevlerinin montmorillonit ile etkileştirilmesi ile ampifilik katyonik azobenzen-montmorillonit interkalasyon bileşikleri sentezlenmiş ve mikroyapısal olarak karakterizasyon X-ray ile yapılmıştır<sup>118</sup>.

$\text{Eu}^{2+}$  içeren hibrit organik-anorganik nano kompozitler oda koşullarında Cordoncillo ve arkadaşları tarafından sentezlenmiş ve luminesent özellikleri incelenmiştir<sup>119</sup>. Killerin katalizör olarak kullanıldığı veya absorban yüzey olarak kullanıldığı çalışmalar ise literatürde geniş şekilde yer almaktadır<sup>120-127</sup>.

#### Killerin organik bileşiklerle olan reaksiyonları:

Kil mineralleri için yillardan beri birçok alanda yapılan çalışmalar, kil mineralleri ile organik moleküller arasında bir tür reaksiyonun olduğunu göstermiştir. Örneğin, kil ile yağın renginin giderilmesi işleminde, sadece yağın renginin değil niteliğinin de değiştiği bulunmuştur. Bu olay adsorpsiyon ile açıklanmaya çalışılmıştır<sup>128</sup>.

Kil minerallerinin yapılarının aydınlatılmasıyla, killerin organik maddelerle olan reaksiyonlarıyla ilgili çalışmalarda yeni gelişmeler olmuştur. 1930'lu yıllarda organik bazlar ve bu bazların tuzları montmorillonit arasında bir iyon değiştirme reaksiyonlarının olduğu gözlenmiştir. Amino grubu içeren bir çok organik molekülün kil mineralleriyle olan reaksiyonları detaylı olarak çalışılmış ve anorganik katyonlarla bir yerdeğiştirme reaksiyonunun olduğu bulunmuştur.

1930'lu yılların sonlarına doğru montmorillonitin alkol, aseton ve eterle muamele edilmelerinden sonra c-ekseninin kalınlığının değiştiği bulunmuştur. Daha sonraki yıllarda yapılan çalışmalar ise montmorillonit ile polar grup içeren organik bileşikler, iyonik olmayan polar karakterli organik moleküller ve iyonik olmayan organik moleküller arasında bir absorpsiyonun olduğu bulunmuştur.

Daha sonraki yıllarda, bu alanda yapılan çalışmalar göstermiştir ki organik moleküller ile kil mineralleri arasında sadece iyon değişimi ve absorbsiyon olayları değil, kil ile organik molekül arasında van der Waals etkileşimleri ve hidrojen bağlarının olduğu bulunmuştur. Ve yine ilerleyen araştırmalar göstermiştir ki organik moleküller kil tabakaları arasında rastgele değil, belirli bir yönelime sahiptirler<sup>129</sup>.

## 2. MATERİYAL VE METOD

### 2.1. Kullanılan Kimyasal Maddeler (Formülleri ve kullanım amaçları):

Kullanılan kimyasal maddenin		
Adı	Formülü	Kullanım amacı
$\gamma$ -Metakriloksipropil trimetoksi silan Merck 107673 $d=1.04\text{ g/ml}$ $M=248.35\text{ g/mol}$ $k.n=255^\circ\text{C}$	$\begin{array}{c} \text{CH}_3 \\   \\ \text{CH}_2=\text{C} \\   \\ \text{O} \\    \\ \text{C}-\text{O}-(\text{CH}_2)_3-\text{Si}(\text{OCH}_3)_3 \end{array}$	Adezyon promotör
Akrilonitril Merck 800834 $d=0.81\text{ g/ml}$ $M=53.06\text{ g/mol}$ $k.n=77^\circ\text{C}$	$\begin{array}{c} \text{CH}_2=\text{CH} \\   \\ \text{CN} \end{array}$	Monomer
Akrilik asit Merck 800181 $d=1.05\text{ g/ml}$ $M=72.06\text{ g/mol}$ $k.n=141^\circ\text{C}$	$\begin{array}{c} \text{CH}_2=\text{CH} \\   \\ \text{C}=\text{O} \\   \\ \text{OH} \end{array}$	Monomer
Stiren Merck 807679 $D=0.91\text{ g/ml}$ $M=104.15\text{ g/mol}$ $k.n=145^\circ\text{C}$	$\begin{array}{c} \text{CH}_2=\text{CH} \\   \\ \text{C}_6\text{H}_5 \end{array}$	Monomer
Benzil klorür Merck 801809 $d=1.1\text{ g/ml}$ $M=126.59\text{ g/mol}$ $k.n=179^\circ\text{C}$	$\begin{array}{c} \text{CH}_2\text{Cl} \\   \\ \text{C}_6\text{H}_5 \end{array}$	Reaktif

Benzoil peroksit Merck801641 (%25H <sub>2</sub> O) M=242.23 g/mol		Radikalik başlatıcı
Metakrilik asit Merck 800578 d=1.01 g/ml M=86.09g/mol k.n=163°C		Monomer
1-Vinil-2-pirolidon Merck 808518 d=1.04 g/ml M=111.14 g/mol k.n= 113hPa 148°C e.n=13°C		Monomer
1-Vinylimidazol Fluka 95005 D=1.04 g/ml M=94.12 g/mol k.n=194°C		Monomer
4-Vinilpiridin Fluka 95050 d=0.98 g/ml M=105.14 g/mol k.n=61°C		Monomer
Kaolin (Çanakkale)		Anorganik matriks
Kaolin Sigma K-7375		Anorganik matriks
Bentonit (Eskişehir)		Anorganik matriks
Bentonit Fluka 11957		Anorganik matriks

Moleküler elek (Fluka), Çözüçüler: Toluen , Metanol , Dietil eter, Dimetil formamid, Tetrahidrofuran ve Karbon tetraklorür olup merck kalitededir.

Kullanılan çözüçüler metalik sodyum ve moleküler elek ile kurutulduktan sonra, Kaolin (Çanakkale) ve Bentonit (Eskişehir) sedimentasyon yöntemiyle saflaştırıldıktan sonra , standart Kaolin (Sigma) ve standart Bentonit (Fluka) ise doğrudan kullanıldı. A-174 doğrudan, vinil türevli monomerler ise saflaştırıldıktan (%10'luk NaOH ile çalkanarak olası inhibitörler ortamdan uzaklaştırıldı.İnhibitörleri uzaklaştırılan monomerler üzerine susuz MgSO<sub>4</sub> eklenerek kurutuldu ve vakum altında fraksiyonel olarak distillendi) sonra kullanıldı.

## 2.2. Kullanılan Cihazlar

Mattson 1000 FTIR Spektrofotometre

Shimadzu DTA 50 Diferansiyel Termal Analiz Cihazı

Shimadzu DSC 50 Diferansiyel Taramalı Kalorimetri Cihazı

Shimadzu TGA 50 Termogravimetri Cihazı

Rigaku Geigerflex D/Max B X-Ray Difraktometresi

JEOL Taramalı Elektron Mikroskopu(SEM)

Philips PU 9100 X Atomik Absorpsiyon Spektrofotometresi (AAS)

Elektronik terazi (GEC Avery)

Magnetik karıştırıcı (CHILTERN HS31)

Çalkalayıcı (HETOFRIG)

Vortex (Nüve NM 110)

Vakum Etüyü (Nüve)

Sabit sıcaklık banyosu (Clifton)

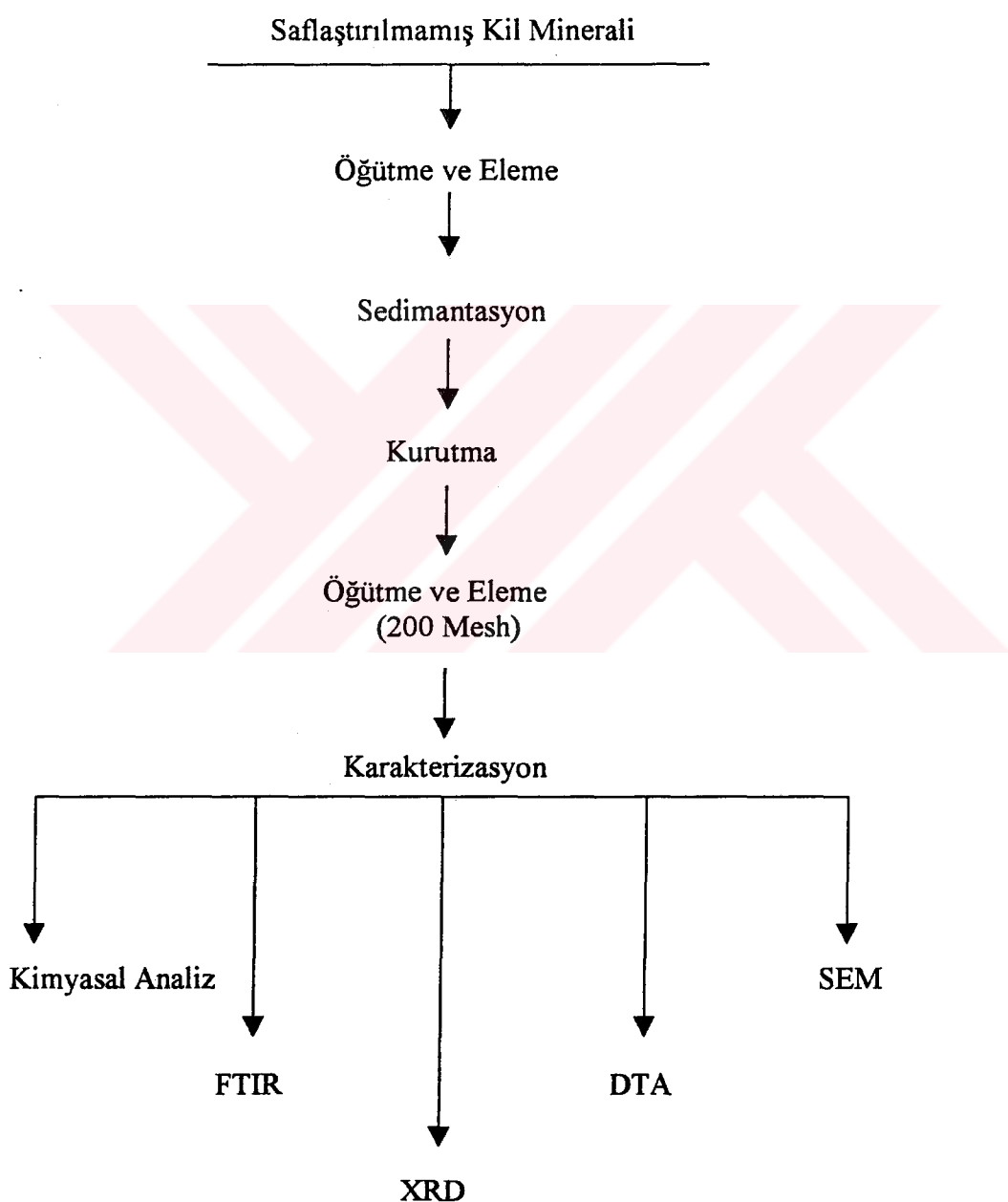
Sirkülatör (Grant)

İnert atmosfer düzeneği

Cam malzeme (üç boyunlu polimerizasyon balonu, mikropipet, termometre, erlen, beher, deney tüpü, baget, vs.)

### 2.3. Kil Minerallerinin Saflaştırılması ve Çözünürleştirilmesi

Kaynaktan doğrudan alınan kil örnekleri aşağıdaki şemada anlatıldığı şekilde sedimantasyon yöntemiyle<sup>130</sup> saflaştırıldıktan sonra kimyasal analiz, İnfra kırmızı ışınları (FTIR), X-ışınları kırınımı (XRD), Diferansiyel termal analiz (DTA) ve Taramalı elektron mikroskopu (SEM) yöntemleriyle karakterize edilmiştir.



Şema 2.1: Kaolin ve bentonit mineralinin saflaştırılması ve karakterizasyon yöntemleri

Mineral örneklerindeki toplam element miktarının tayini için örneğin genellikle tam olarak çözeltiye alınması gereklidir. Tam olarak çözeltiye alma ancak çözünürleştirme ile mümkündür. Çözünürleştirme işlemleri başlıca iki grupta incelenebilir.

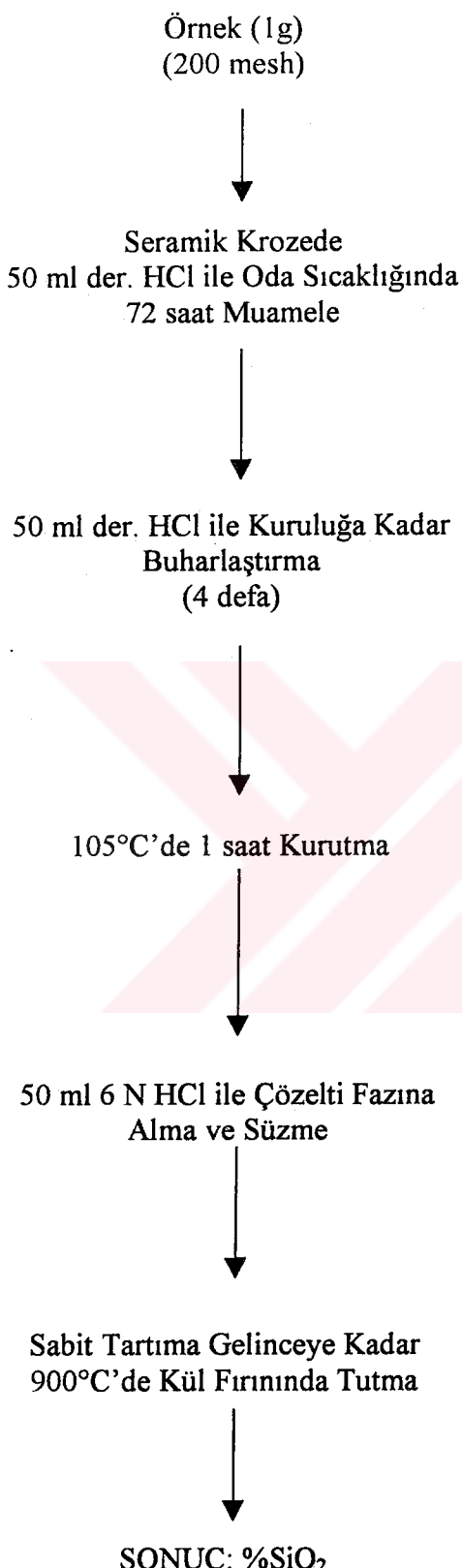
- a) Asitlerle çözünürleştirme
- b) Eritişle çözünürleştirme

Mineral örneğinin çözünürlestirmesinde hangi yöntemin uygulanacağı, büyük ölçüde uygulanacak analitik tekniğe bağlıdır<sup>131-132</sup>.

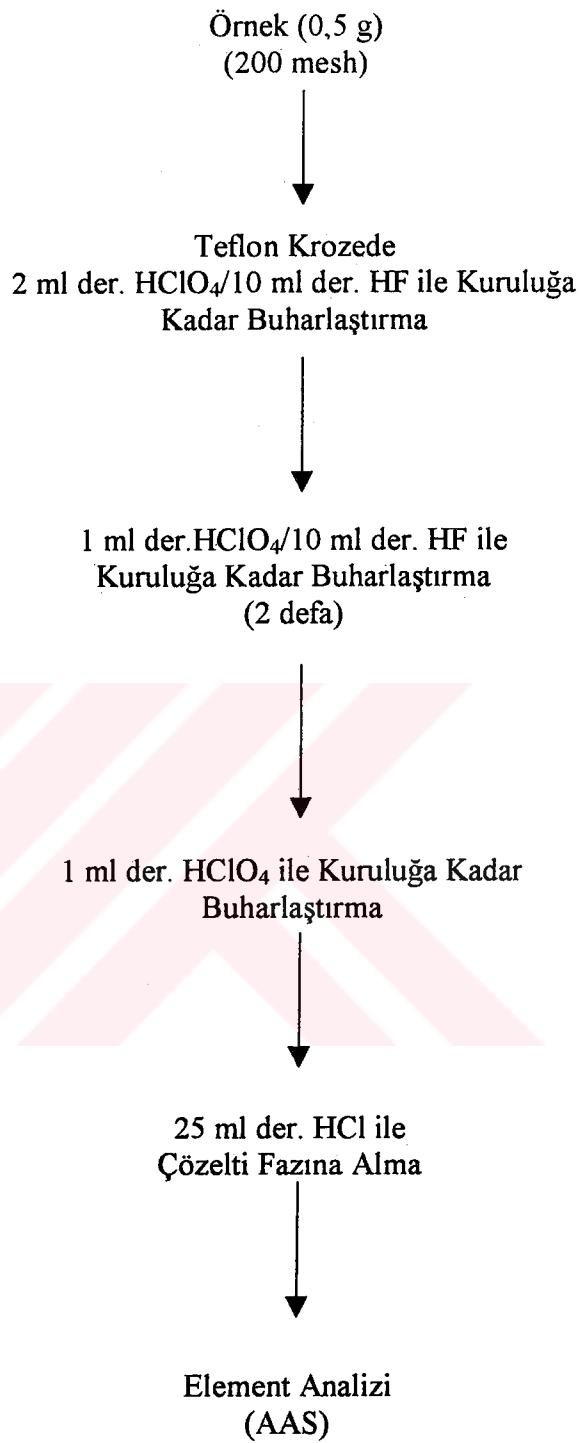
Asitlerle çözünürleştirme, yükseltgen ve yükseltgen olmayan asitler kullanılarak iki grupta yapılmaktadır. Mineral örneklerinin tam olarak çözünürleştirilmesinde asitlerin tek tek kullanılması yerine genelde iki veya daha fazla asit karışımıları kullanılır.

Bu çalışmada özellikle kil ve benzeri minerallerin tam çözünürlestirmesine yönelik olarak en çok kullanılan HF/HClO<sub>4</sub> ve HCl çözünürlestirmesi kullanılmıştır. HF silikatlarla uçucu SiF<sub>4</sub> bilesigini oluşturur. Eğer kuvvetli asitli ortamda ısıtılrsa organik maddeler HClO<sub>4</sub> ile parçalanır.

### HCl Çözünürleştirme



### HF/HClO<sub>4</sub> Çözünürleştirme



**Şema 2.2: Kaolin ve bentonit minerallerine uygulanan çözünürleştirme işlemi**

Katı örneklerin FTIR spekturmaları, örnekler öğütülüp 200 meshlik elekten elendikten sonra 0.001g örnek/0.099g KBr oranında olacak şekilde pelet yapılarak alındı. Sıvı örneklerin (monomerlerin) FTIR spekturmaları ise NaCl diskleri arasında alındı.

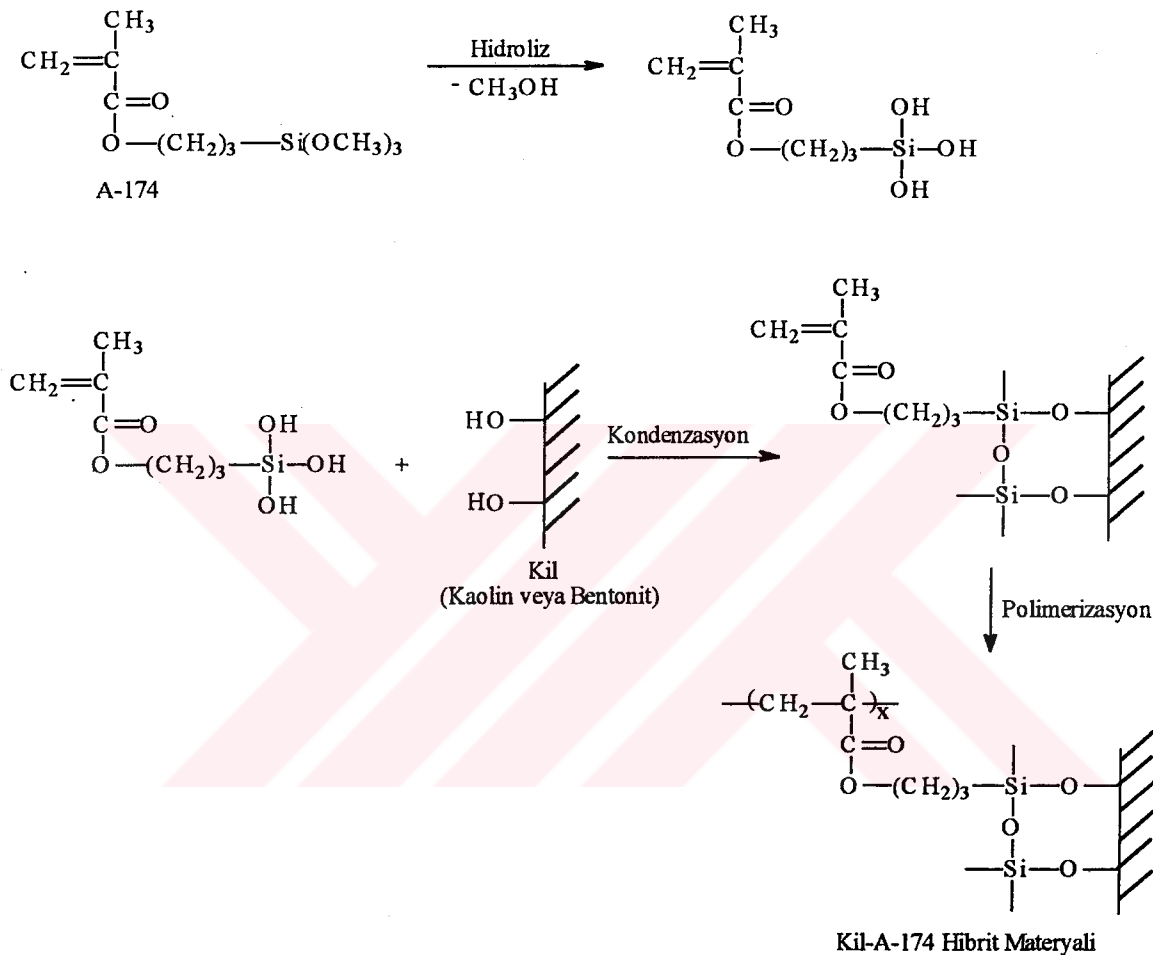
Örneklerin SEM fotoğrafları, toz formunda (200 mesh) ve pelet yapıldıktan sonra alümina ile parlatıldı ve yüzeyleri 1A° altın ile kaplanarak vakum altında alındı

Örneklerin XRD diffraktogramları toz formunda (200 mesh) (toz kırınım yöntemi ile) alındı.

Örneklerin DTA, DSC ve TGA termogramları ise yine toz formunda (200 mesh) platin kroze kullanılarak 10°C/dakika ısıtma hızıyla alındı.

## 2.4. Kil- $\gamma$ -metakriloksipropil trimetoksisilan Hibrit Materyalinin Sentezi

A-174'ün kile (kaolin veya bentonit) kovalent bağ ile modifikasyonu sol-jel yöntemi kullanılarak aşağıdaki şemada gösterildiği gibi yapılmıştır<sup>9</sup>.



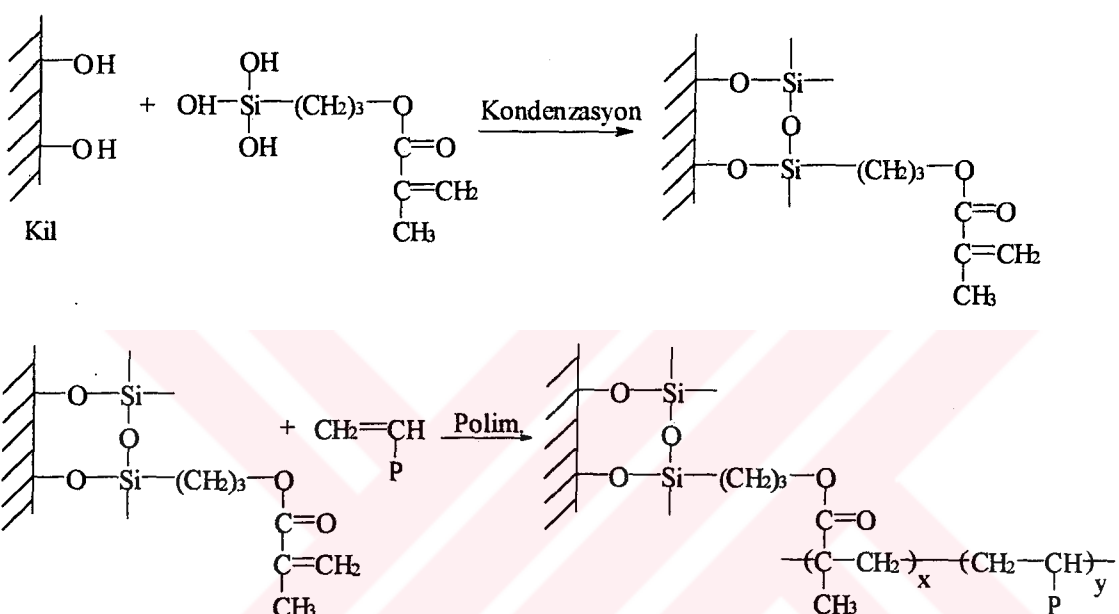
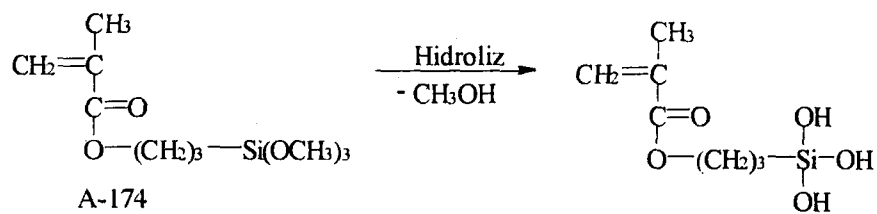
Şema 2.3: A-174'ün kile kovalent bağla bağlanması ve polimerizasyonu

Hibrit materyalin sentezi çözüçülü ve çözücsüz ortamlarda olmak üzere ve her ikisinde de iki aşamada gerçekleştirildi, birinci aşamasında; çözüçülü ortamda 10 mmol A-174, 440 mmol kuru izopropanol içerisinde konularak 2 saat karıştırlıdı. Çözeltinin pH'sı 0.15M asetik asit ile 4'e ayarlandıktan sonra su ile hidroliz edildi. İkinci aşamasında; hidroliz edilmiş A-174 kuru toluenli ortamda ve kapalı bir kap

İçerisinde değişik oranlarda kil (kaolin veya bentonit) ile karıştırıldıktan sonra ortamdan CO<sub>2</sub> geçirilerek pH:5'e ayarlandı ve oda sıcaklığında 24 saat çalkalandı. Daha sonra ortama 0.1g radikalik başlatıcı (benzoil peroksit) ilave edilerek 80°C'de 8 saat boyunca polimerleşmeye ve jelleşmeye bırakıldı. Polimerizasyon sonunda ortamda bulunan çözgen vakum altında uzaklaştırıldıktan sonra ele geçen katı ürün öğütüldü ve NaF ve %25'lik asetik asit varlığında 5 ml su eklenerek A-174'ün hidroliz olmadan kalan kısımları hidroliz edildi ve DMF, Toluene ve THF gibi farklı çözücüler kullanılarak soxlet cihazında yıkanarak ortamda kalan safsızlıklar uzaklaştırıldı. Ele geçen saf ürün vakum etUVünde 12 saat 75°C'de ve 24 saat 100°de sabit tartıma gelinceye kadar kurutuldu ve gerekli analizlerin yapılması için kısımlara ayrılarak saklandı.

## 2.5. Hibrit Materyallerin Sentezi

Bölüm 2.4'ün birinci aşamasında anlatıldığı gibi hazırlanan silan-kil materyaline, ikinci aşamaya geçmeden önce değişik oranlarda vinil türevli bileşiklerden ilave edildi ve ikinci aşamada anlatılan işlemler gerçekleştirilerek hibrit materyaller sentezlendi<sup>137-140</sup>. Deneylerde kullanılan kil ve A-174 miktarları  $g(A-174)=[g(kil)*S]/S_w$  formülüne göre hesaplanmıştır. (S= Kilin spesifik yüzey alanı ( $m^2g^{-1}$ ) S<sub>w</sub>= A-174'ün spesifik ıslatma alanı ( $m^2g^{-1}$ ) ) Monomer miktarları ise kil ile orantılı olarak değiştirilerek hibrit materyalin malzeme özellikleri incelenmeye çalışılmıştır. İşlemler aşağıdaki şekilde özet olarak ifade edilmiştir.



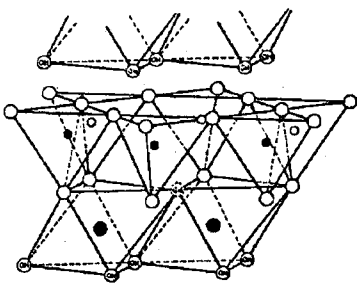
$$\begin{array}{c} \text{CH}_2=\text{CH} \\ | \\ \text{P} \end{array}$$

Stiren  
 4-Vinil piridin  
 1-Vinilimidazol  
 1-Vinil-2-pirolidon  
 Metakrilik asit  
 Akrilik asit  
 Akrilonitril

**Şema 2.4 :Hibrit materyallerin genel sentez seması**

### 3. SONUÇ VE TARTIŞMA

#### 3.1. Kaolin Mineralinin Karakterizasyonu

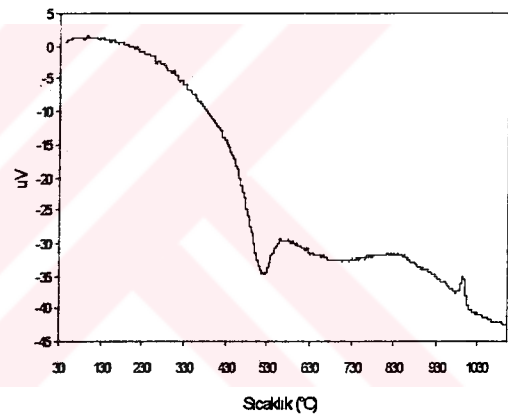
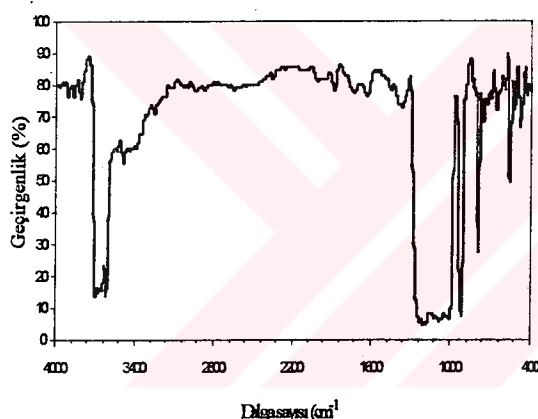


Si % 50.04  
Al % 48.83  
Fe % 0.82  
K % 0.31  
Na % 0.00  
Ca % 0.00  
Mg % 0.00  
Mn % 0.00



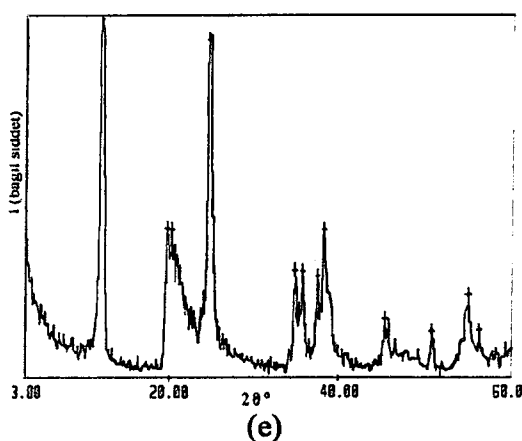
(a)

(b)



(c)

(d)



(e)



(f)

Şekil 3.1: Kaolin mineralinin, (a) birim katmanı ve kimyasal formülü, (b) kimyasal analiz sonuçları, (c) FTIR spektrumu, (d) DTA termogramı, (e) X-Ray diffraktogramı, (f) SEM fotoğrafı

### **FTIR Karakterizasyonu:**

Kaolin, kil mineralleri arasında en yaygın olarak bulunan kil mineralidir. Kaolinin değişik formu ve kristal yapısında olan halloysite doğada sık rastlanmasına rağmen dikit mineraline nadiren rastlanmaktadır. Kaolin grubu minerallerin en karakteristik pikleri  $3620\text{-}3700\text{ cm}^{-1}$  aralığındaki OH-gerilme bantlarıdır. Saf kaolinin en karakteristik piki  $3700\text{ cm}^{-1}$ 'deki OH-gerilme ve  $938\text{-}916\text{ cm}^{-1}$ 'deki OH-deformasyon pikleridir.  $460\text{-}450\text{ cm}^{-1}$  Si-O-Metal;  $440\text{-}430\text{ cm}^{-1}$  Si-O-Si düzlem titreşimleri,  $500\text{-}490\text{ cm}^{-1}$  Si-O-Si simetrik gerilme ve  $1100\text{-}1000\text{ cm}^{-1}$  pikleri asimetrik gerilme titreşimlerine aittir.  $920\text{-}910\text{ cm}^{-1}$  ve  $985\text{-}970\text{ cm}^{-1}$ 'deki titreşimler ise iç ve yüzey silanolere aittir (şekil 3.1 c) <sup>52, 127, 133</sup>.

<u>Pik cm<sup>-1</sup></u>	<u>Geçirgenlik (%)</u>	<u>Açıklama</u>
558	33.68	Si-O-Si simetrik gerilme
793	32.75	OH-eğilme
918 ve 999	6.28 ve 2.67	OH-deformasyon
1030-1222	2.43-1.36	Si-O-Si asimetrik gerilme
3433-3458	39.23-39.73	Absorphanmiş su
3620-3693	11.06-7.08	OH-gerilme

### **DTA Karakterizasyonu:**

DTA ile yapılan kil karakterizasyonlarında  $\approx 120^\circ\text{C}$  ve  $530^\circ\text{C}$ 'de iki endotermik pik ve  $970^\circ\text{C}$ 'de ise bir ekzotermik pik görülmektedir.  $120^\circ\text{C}$ 'deki pik, kilde absorphanmiş olarak bulunan suyun uzaklaşmasına ve  $530^\circ\text{C}$ 'deki pik ise kılın dehidroksilasyonuna aittir. Kıl örneği kurutulduktan sonra DTA termogramı alınırsa  $120^\circ\text{C}$ 'deki absorbe suya ait olan endotermik pikler görülmeyecektir.  $970^\circ\text{C}$ 'deki ekzotermik pik ise faz geçişlerine aittir. Şekil 3.1.d'de görülen kaolin mineraline ait termogramda vakumda kurutulmuş kaolin kullanıldığından su pikini görememekte fakat kıl örneklerine ait en karakteristik dehidroksilasyon ve faz geçisi piklerini net olarak görmekteyiz <sup>52, 134</sup>.

### XRD Karakterizasyonu:

Kıl minerallerinin karakterizasyonunda XRD ile yapılan çalışmalar göstermiştir ki, farklı kıl mineralleri için karakteristik pikler elde edilmektedir. Hatta XRD verileri belirli kıl mineralleri için parmak izi olarak alınabilir. Kaolin minerali için en karakteristik olan 001 pikinin ve diğer piklerin literatürden alınan hesaplanmış değerlerle deneysel olarak bulunan (Şekil 3.1.e) değerlerinin karşılaştırılması aşağıda verilmektedir<sup>52, 135</sup>.

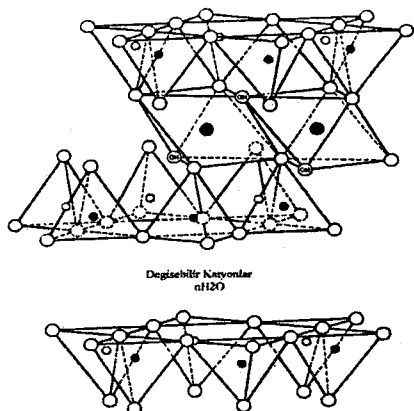
<u>d(A°) hesaplanan</u>	<u>d(A°) deneysel</u>	<u>hkl</u>
7.16	7.24	001
4.46	4.48	020
4.36	4.35	110
3.84	3.59	021
2.56	2.57	201
2.49	2.50	200
2.38	2.39	003
2.34	2.35	131

### SEM Karakterizasyonu:

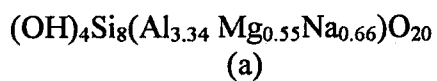
Elektron mikroskopunun gelişmesiyle farkı türdeki kıl minerallerinin şekilleri ve partikül boyutlarının belirlenmesi mümkün olmuştur. Literatürlerde, elektron mikroskopuya yapılan çalışmalarla görülmektedir ki kıl mineralin kaynağı, türü ve zayıf ya da iyi kristalli oluşuna göre mikroskoptan elde edilen görüntüler değişmektedir. Çalışmamızda kullanmış olduğumuz kaolin mineralinin görüntüsü, literatürlerde verilen iyi kristalli kaolinit mineraline oldukça benzemektedir Şekil 3.1. f'de görüldüğü gibi kaolin kristalleri yaprakçıklar halinde ve tabakalı bir biçimde bulunmaktadır<sup>52, 136</sup>.

Şekil 3.1.b'de verilen kimyasal analiz sonuçları, standart kaolin bileşimine oldukça yakındır<sup>52, 62</sup>.

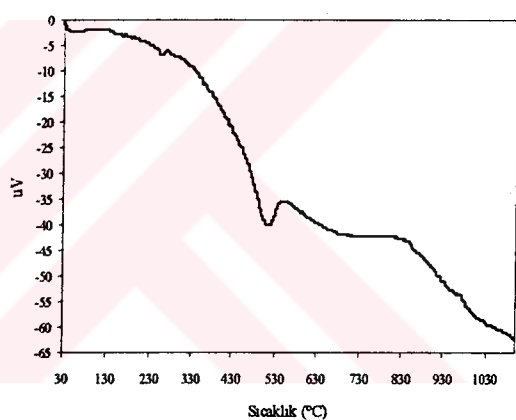
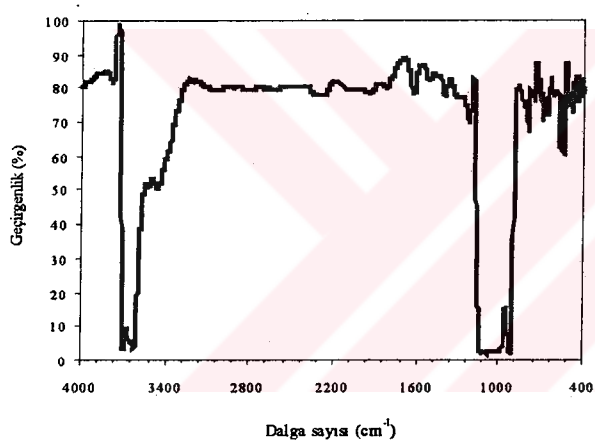
### 3.2. Bentonit Mineralinin Karakterizasyonu



Si % 34.70  
Al % 12.51  
Fe % 1.61  
K % 5.05  
Na % 0.09  
Ca % 0.00  
Mg % 0.11  
Mn % 0.03

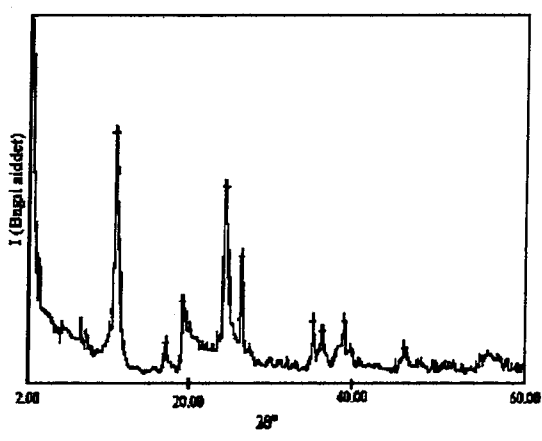


(b)



(c)

(d)



(e)



(f)

Şekil 3.2 : Bentonit mineralinin, (a) birim katmanı ve formülü, (b) kimyasal bileşimi, (c) FTIR spektrumu, (d) DTA termogramı, (e) X-Ray difraktogramı, (f) SEM fotoğrafı

### FTIR Karakterizasyonu:

Montmorillonitler hem tetrahedral hem de oktaedral yapı birimlerini içerirler. Yapıda silisyumun yerini alüminyumun ve alüminyumun yerini de demir ve mağnezyumun aldığı durumlarda farklı kristal düzlemleri ortaya çıkar ve kristal yapıdaki kusurlar artar. Bunun sonucu olarak da IR absorpsiyon bantlarında farklılıklar ortaya çıkar.

Standart bir montmorillonit için en karakteristik IR absorpsiyon pikleri şöyle sıralanabilir:  $3622\text{ cm}^{-1}$  OH-gerilme,  $915\text{ cm}^{-1}$  ve  $841\text{ cm}^{-1}$  OH-deformasyon,  $818\text{ cm}^{-1}$  Al-O düzlemdiği ve  $770\text{ cm}^{-1}$  Al-O-Si düzlem içi gerilme titreşimleridir.  $1100$ - $1000\text{ cm}^{-1}$  Si-O-Si asimetrik gerilme titreşimleridir<sup>52, 133</sup>.

Pik $\text{cm}^{-1}$	Geçirgenlik (%)	Açıklama
544	56.35	Si-O-Si simetrik gerilme
775	65.34	Al-O-Si düzlemiçi gerilme
820	61.27	Al-O düzlem dışı gerilme
914 ve 989	1.33 ve 2.02	OH-deformasyon
1012 –1128	2.30-1.39	Si-O-Si asimetrik gerilme
3458-3625	50.06-50.389	absorplanmış su
3622; 3649; 3697	3.00; 4.97; 3.07	OH-gerilme

### DTA Karakterizasyonu:

Bentonit için verilen DTA eğrileri, mineralin su, değişebilir katyon ve organik madde içeriğine bağlı olarak değişmektedir. Mineral içerisinde bulunan su  $100$ - $200^\circ\text{C}$  arasında uzaklaşıırken endotermik pikin yeri ve şiddeti içerdiği su ve organik madde miktarına bağlı olarak değişmektedir. Dehidroksilasyon pikleri ise  $500^\circ\text{C}$ 'de başlayıp  $800^\circ\text{C}$ 'de tamamlanan endotermik piklerdir.  $930^\circ\text{C}$ 'de ise faz geçişine ait bir ekzotermik pik görülmektedir.

Şekil 3.2 d'de görülen bentonit mineraline ait termogramda absorbe su piki hariç diğer pikleri belirtilen yerlerde açıkça görmekteyiz<sup>52, 134</sup>.

### XRD Karakterizasyonu:

Bentonitlerin X-işınları difraktogramları iki grupta incelenebilir. Bunlardan birincisi, silikat tabakaları arasındaki yansımalarıdır. Bu yansımalar (*I*) mineralin su içeriğine, tabakaların düzlemlerine, absorplanmış organik moleküllere ve değişimdir. İkinci sınıf yansımalar ise, tabakalar arası suya bağlı olmayan (*hk*) yansımalarıdır. Ki bu yansımalar hemen bütün bentonitler için aynıdır<sup>52, 135</sup>.

Bentonit minerali için bulunan deneysel sonuçlar şekil 3.2.e'de ve aşağıda gösterilmiştir.

$2\theta$	$d(\text{\AA})$	<i>hkl</i>
12.00	12.98	001
19.75	4.51	013
24.64	4.47	002
26.44	4.30	012
34.84	4.27	131

### SEM Karakterizasyonu:

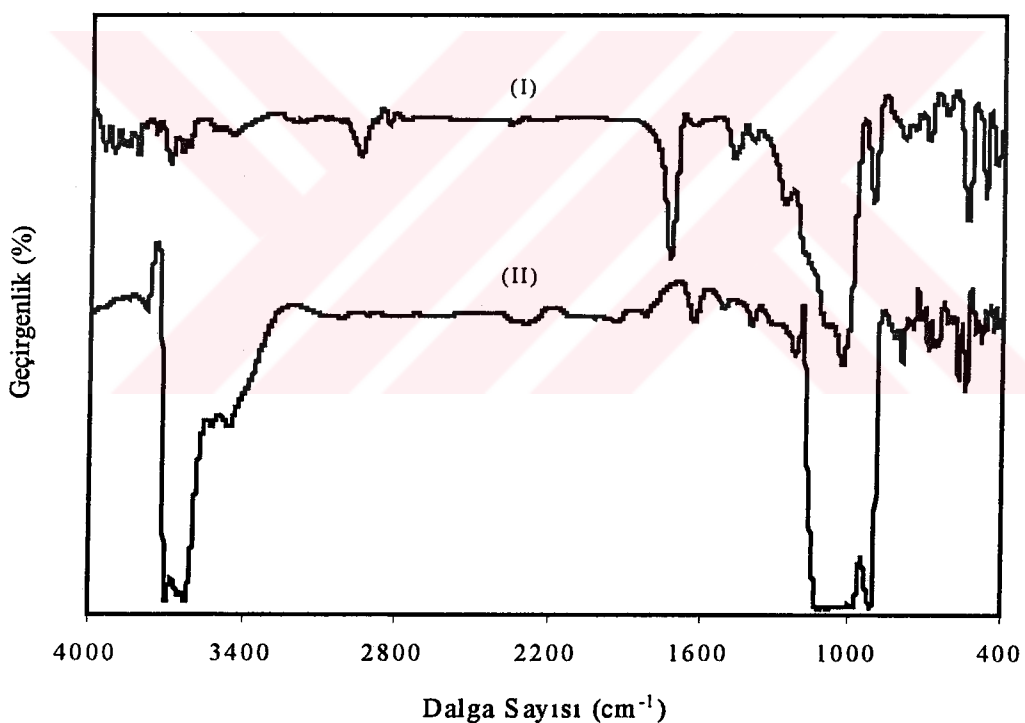
Montmorillonit mineralinin elektron mikroskopuya elde edilen görüntüleri, genellikle geniş dalgalı bir mozaik tabakasını andıran düzensiz tüyler gibi son derece küçük partiküllerden oluşmaktadır. Saf bir montmorillonitten elde edilen görüntüler bu şekilde olmasına rağmen, mineralin içeriği değişimdir katyonların türleri ve farklı miktarları, bentonit yüzeyinden olan yansımaların karakterini değiştireceğinden görüntüleri de farklı olacaktır.

Şekil 3.2.f'de görülen bentonit mineraline ait SEM fotoğrafında dalgalı mozaik tabakasını andıran görüntüler görülmektedir<sup>136</sup>.

Şekil 3.2.b'de görülen kimyasal analiz sonuçları ise literatürlerde<sup>62</sup> bentonit için verilen değerlere oldukça yakındır.

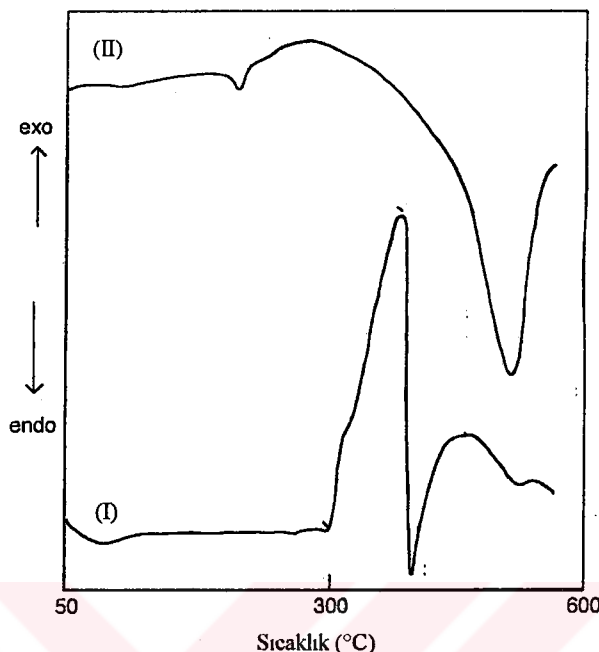
### 3.3. Kil- $\gamma$ -metakriloksipropil trimetoksisilan Hibrit Materyalinin Karakterizasyonu

Şema 2.3'te görüldüğü gibi silanolü kile kovalent bağla bağlayabilmek için kilin OH grupları hedef alınmıştır. Şekil 3.1 c ve şekil 3.2. c'de görüldüğü gibi kil minerallerine ait en karakteristik OH pikleri  $3620$  ve  $3700\text{ cm}^{-1}$  aralığındaki OH gerilme pikleri ile  $938$  ve  $916\text{ cm}^{-1}$  'deki OH deformasyon pikleridir. Şekil 3.3.(I)'de görüldüğü gibi OH pikleri tamamen kaybolmamakla birlikte şiddetinin oldukça düşüğünü görmekteyiz. Bu da, bizim A-174'ün kile kovalent bağla bağlandığı fikrimizi desteklemektedir. Yine, şekil 3.3.(I)'de görülen  $1720\text{ cm}^{-1}$ 'deki karbonil pikleri ile  $2800\text{ cm}^{-1}$ 'deki C-H piklerinin tüm yıkamalara rağmen uzaklaşmamaları ve  $1000\text{ cm}^{-1}$ 'deki Si-O-Si gerilme titresimlerine ait piklerin karakterinin değişmiş olması kimyasal bağlanmanın olduğuna dair bir diğer delil olmaktadır.



Şekil 3.3: (I) Kil-A174 hibritmateryalinin ve (II) kil (bentonit) mineralinin FTIR spekturumu

Kil ile A-174 arasında kovalent bağlanmanın olduğunu gösteren bir diğer delil ise şekil 3.4'te görülen DSC termogramıdır.



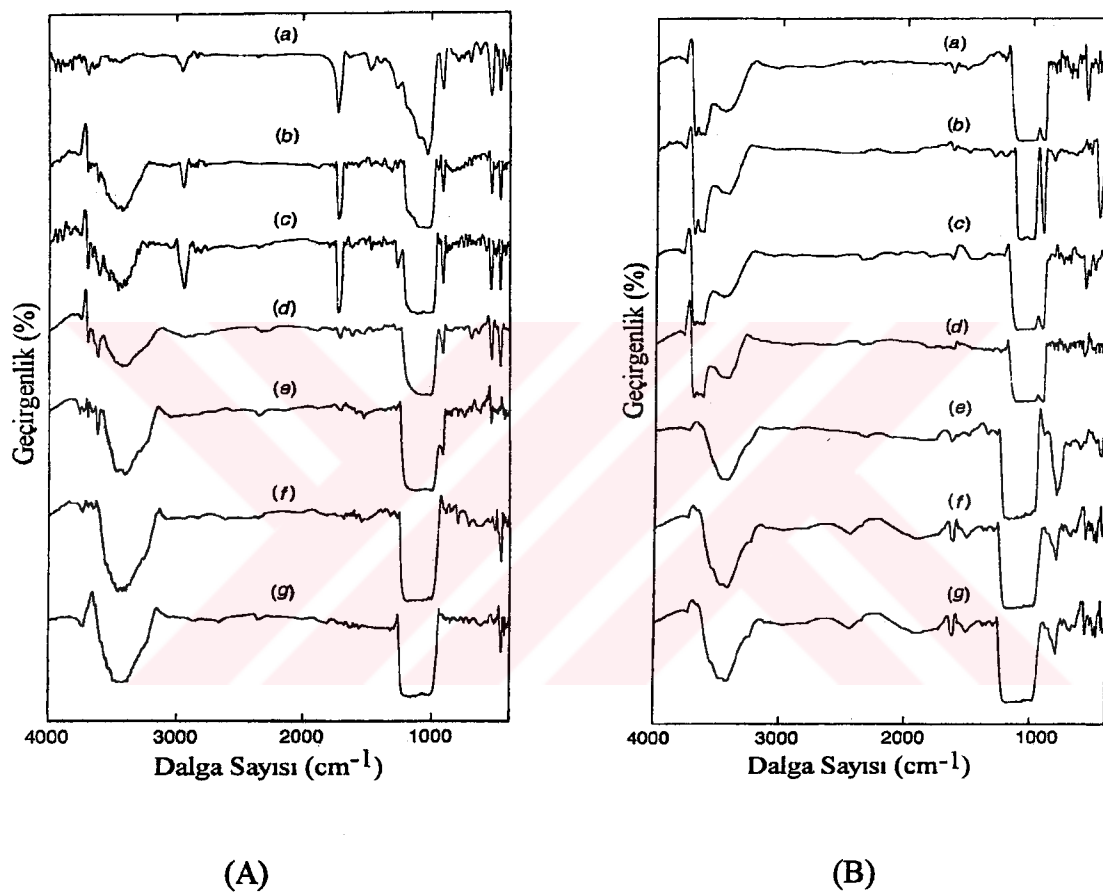
Şekil 3.4: (II) bentonitin, (I) bentonit-A-174 hibrit materyalinin DSC termogramı

Şekil 3.4 (II)'de görüldüğü gibi, 267 ve 511°C'de iki adet endotermik pik görülmektedir. 267°C'deki endotermik pik, yapıdaki suyun, 511°C'deki endotermik pik ise tabakalar arası -OH gruplarının uzaklaştığını yani dehidroksilasyonu göstermektedir. (I)'de görülen (hibrit materyale ait) termogramdaki 383°C'deki ekzotermik pik polimerin kristalleşme sıcaklığını ve 460°C'deki ekzotermik pik ise polimerin bozunduğunu göstermektedir. (II)'de görülen ve (I)'de görülmeyen 511°C'deki bentonitin dehidroksilasyon pikinin olmayışı bentonit ile A-174 arasında kovalent bağlanmanın olduğunu göstermektedir.

### 3.3.1.. Kil- $\gamma$ -metakriloksipropil trimetoksi silan hibrit materyalinin termal özellikleri

Sol-jel yöntemi ile hazırlanan bentonit-A-174 hibrit materyalinin kovalent bağla bağlı olduğu, yukarıda anlatıldığı şekilde açıkladıktan sonra, hibrit materyalin ve bentonitin termal davranışları inceli ve sonuçlar şekil 3.5 ve 3.6'da gösterildi.

Bentonit karakterize edildikten sonra, gerekli olan A-174 miktarı hesaplanarak yukarıda anlatıldığı şekilde iki basamaklı prosesle hazırlanan bentonit-A-174 hibrit materyalinde kovalent bağlanma mekanizmasının yüzeyde veya ara yüzeyde veya her ikisinde olup olmadığını göstermek için termal özellikleri araştırılmıştır. Bu amaç doğrultusunda, bentonit ve örnek 100, 200, 300, 400, 500 ve 600°C sıcaklıklara kadar belirli periyotlarda ısıtıldı ve her sıcaklığındaki bentonitin ve örneklerin XRD ve FTIR sonuçları karşılaştırıldı.

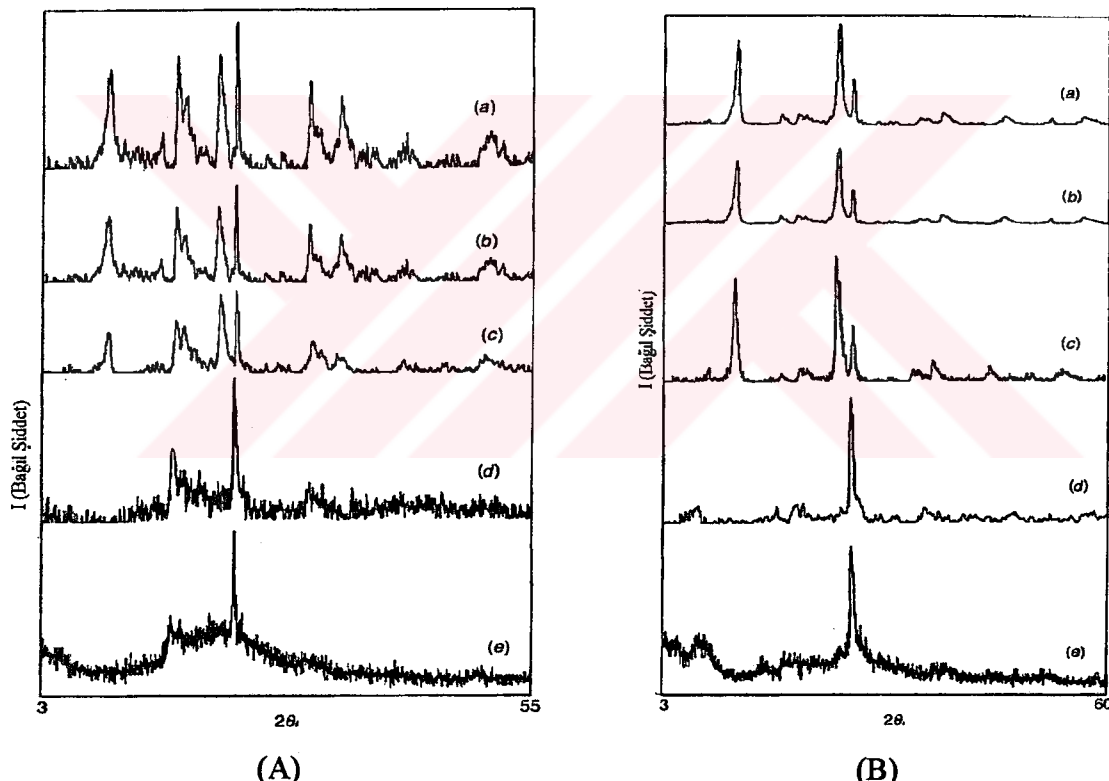


Şekil 3.5: (A) bentonit-A-174 hibrit materyalinin ve (B) bentonitin, (a) ısıl işlem görmemiş FTIR spekturumları; (b)100, (c)200, (d)300, (e)400, (f)500 ve (g)600°C sıcaklıklardaki FTIR spekturumları

Şekil 3.5.(A)'daki FTIR spekturumları sırasıyla, a hibrit materyali, b-g spekturumları ise hibrit materyalin 100-600°C aralığındaki spekturumları göstermektedir. (B)'deki FTIR spekturumları ise sırasıyla, a bentoniti, b-g spekturumları ise bentonitin 100-600°C aralığındaki spekturumları göstermektedir. (A) a'dan anlaşılacağı üzere OH piklerindeki hızlı düşüş, A-174'ün kovalent bağla-

bağlandığını göstermektedir. Polimerik kısmın 300°C sıcaklıkta ((A)d) bozunduğunu 1720 cm<sup>-1</sup> deki C=O piklerinin ve 2980 cm<sup>-1</sup> deki vinilik C-H piklerinin kaybolmasından anlıyoruz. Ancak bu sıcaklıkta bentonite ait OH piklerinin geri gelmeyisi, ki ((B)d) bu sıcaklıkta bentonite ait OH pikleri mevcuttur, kovalent bağlanması olduğunu göstermektedir. Bu düşünce şekil 3.4'deki DSC termogramı ile de doğrulanmaktadır.

XRD sonuçlarından da anlaşılabileceği gibi A-174 amorf özelliktidir<sup>9</sup>. Pik şiddetlerinin değişimi Si-O-Si matrikse bağlanan A-174'ten ötürüdür. Isıl işlem görmüş bentonit ve hibrit materyalin XRD pikleri karşılaştırıldığında (Şekil 3.6 A ve B) aynı pik davranışlarının tekrar ettiği gözlenmektedir.



Şekil 3.6: (A) Bentonit-A-174 hibrit materyalinin ve (B) bentonitin, (a)100, (b)200, (c)400, (d) 500 ve (e) 600°C'lerdeki XRD diffraktogramları

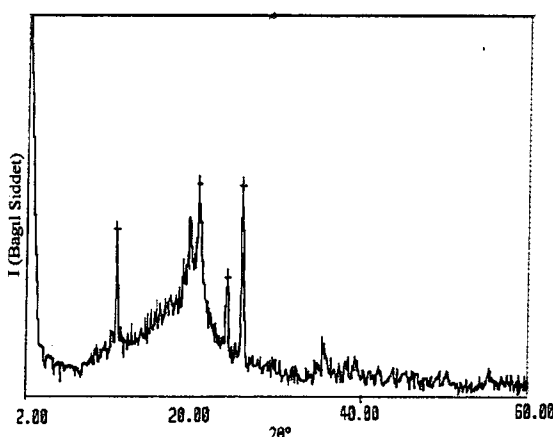
Yüksek sıcaklıklarda oluşan pik, yapısal dönüşümden ötürü meydana gelen kuartz olarak belirlenmiştir. 600°C'de 5 saat ısıtmayla tabakalar arası mesafenin 14.8Å° olduğu gözlenmiştir. Bu da bentonit içerisinde oluşan poliakrilatın eliminasyonu sonucu Si-O-Si bağlarının varlığını göstermektedir.

### 3.4. Kaolin-Polistiren Hibrit Materyalinin Karakterizasyonu

Kaolin-Polistiren hibrit materyali bölüm 2.4 ve şema 2.3 'te anlatıldığı gibi ve tablo 3.1'de verilen oranlarda sentezlendikten sonra numune, bölüm 2.4'te ifade edildiği şekilde safsızlıklardan arındırıldı ve analize hazırlandı. Analiz sonunda bulunan sonuçlar şekil 3.7'de gösterilmiştir.

Kod	Kaolin	A-174	Stiren	Çözgen
TAG5	1	1	1	Toluen
TAG6	2	1	1	Toluen
TAG7	3	1	1	Toluen
TAG8	4	1	1	Toluen
TAG9	-	1	1	-
TAG10	-	-	1	-
TAG11	2	1	2	Toluen
TAG12	2	1	3	-
TAG13	2	1	4	-

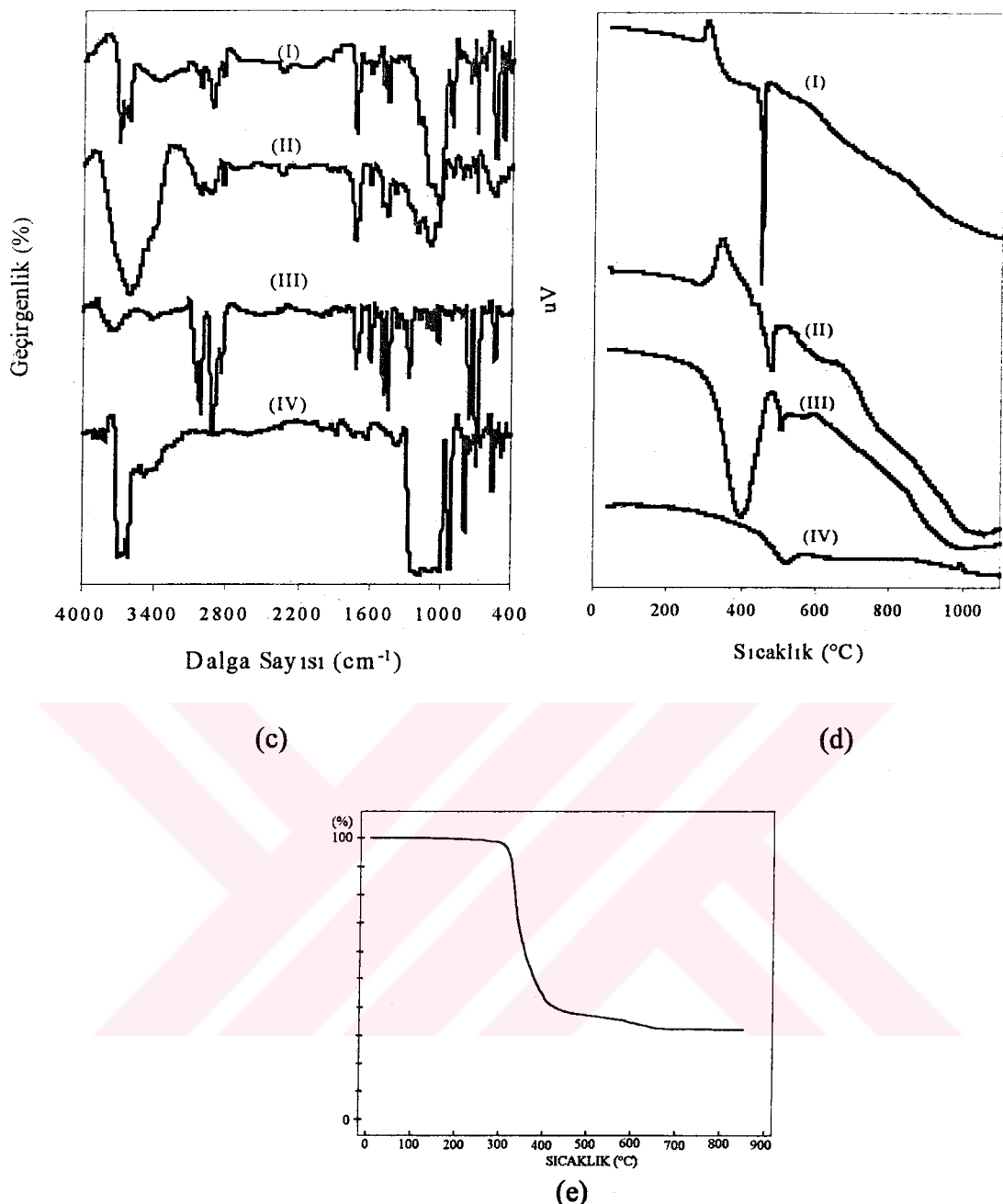
Tablo 3.1: Kaolin-Polistiren hibrit materyalinde kullanılan kimyasal maddelerin (w/w) oranları



(a)



(b)



Şekil 3.7: Kaolin-polistiren hibrit materyalinin (TAG12) (a) X-ray difraktogramı, (b) SEM fotoğrafı, (c) FTIR spektrumu , (d) DTA termogramı ve (e ) TGA termogramı

Kaolin-Poli(stiren) hibrit materyalinin (TAG12) karakterizasyonuna ait veriler şekil 3.7. a, b, c, d ve e'de gösterilmiştir. Bu verilere göre a'da görülen XRD difraktogramı şekil 3.1.e'deki saf kaolin pikleri ile karşılaştırıldığında 001 piklerinde

bir düşüşün olduğu görülmektedir. Ayrıca, XRD piklerinin analizinde, yeni bir kristalin bölgenin olduğu açıkça görülmektedir. Saf kaolinde olmayan ancak  $26\text{ }2\theta^\circ$ da gözlenen bu pikin Si-O-Si oluşumuna ait olduğu görülmektedir. Saf kuartz alınarak pik karşılaştırılması yapıldığında bu pikin muhtemelen kuartz yapısında olabileceği düşünülmektedir. Şekil 3.7.b'deki SEM fotoğrafında ise bazı bölgelerin homojen bir dağılım göstermesine rağmen heterojen bir dağılımin hakim olduğu dikkat çekmektedir. Şekil 3.3. c'deki I, II, III ve IV ile gösterilen FTIR spektrumları sırasıyla; hibrit materyal (TAG12), A-174-PS (TAG9), PS (TAG10) ve saf kaoline ait pikleri göstermektedir. Bu verilere göre c (I)'de polistiren ve A-174'e ait  $3035\text{ cm}^{-1}$  aromatik C-H gerilmesi,  $2980\text{ cm}^{-1}$  alifatik C-H gerilmesi,  $1720\text{ cm}^{-1}$  C=O,  $1650\text{ cm}^{-1}$  aromatik C-H düzlem dışı eğilmesi ve  $1500\text{ cm}^{-1}$  aromatik C=C gerilme pikleri görülmektedir.  $3693\text{-}3620$  ve  $999\text{-}918\text{ cm}^{-1}$ 'deki kaoline ait OH gerilme ve deformasyon piklerinin şiddetlerinin düşmüş olması ve  $1100\text{ cm}^{-1}$ 'deki Si-O-Si piklerinin karakterinin değişmiş olması kovalent bağlanmanın olduğunu göstermektedir.

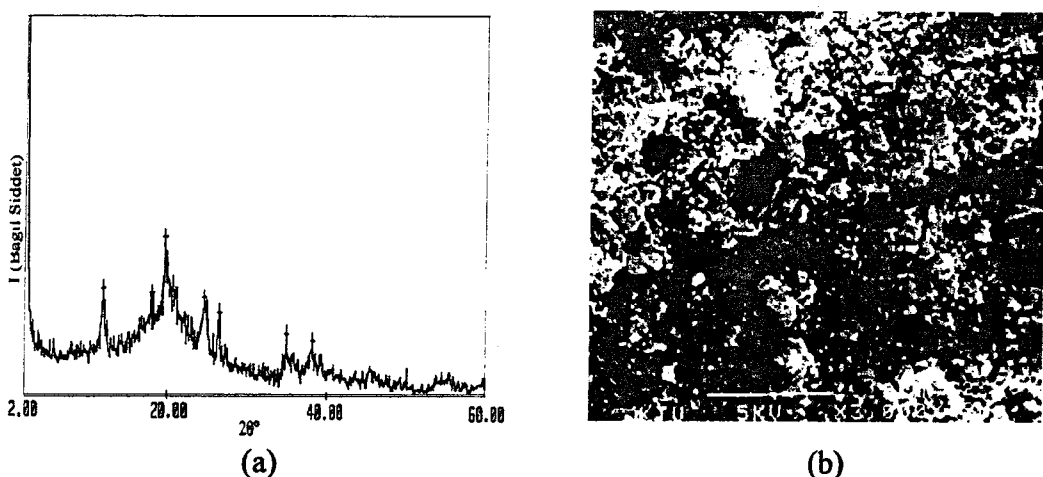
Şekil 3.7. d. I, II, III ve IV ile gösterilen DTA termogramları sırasıyla hibrit materyali, A-174-PS, PS ve kaoline ait bulunmaktadır. I'de görülen  $350^\circ\text{C}$ 'deki ekzotermik pik II'de de mevcut olup, bu sıcaklıkta polimerik kısmın bozunduğunu göstermektedir. Şekil 3.7.e'deki TGA termogramında ise  $313\text{-}397^\circ\text{C}$  arasında %22 lik kütte kaybı olduğu görülmektedir.

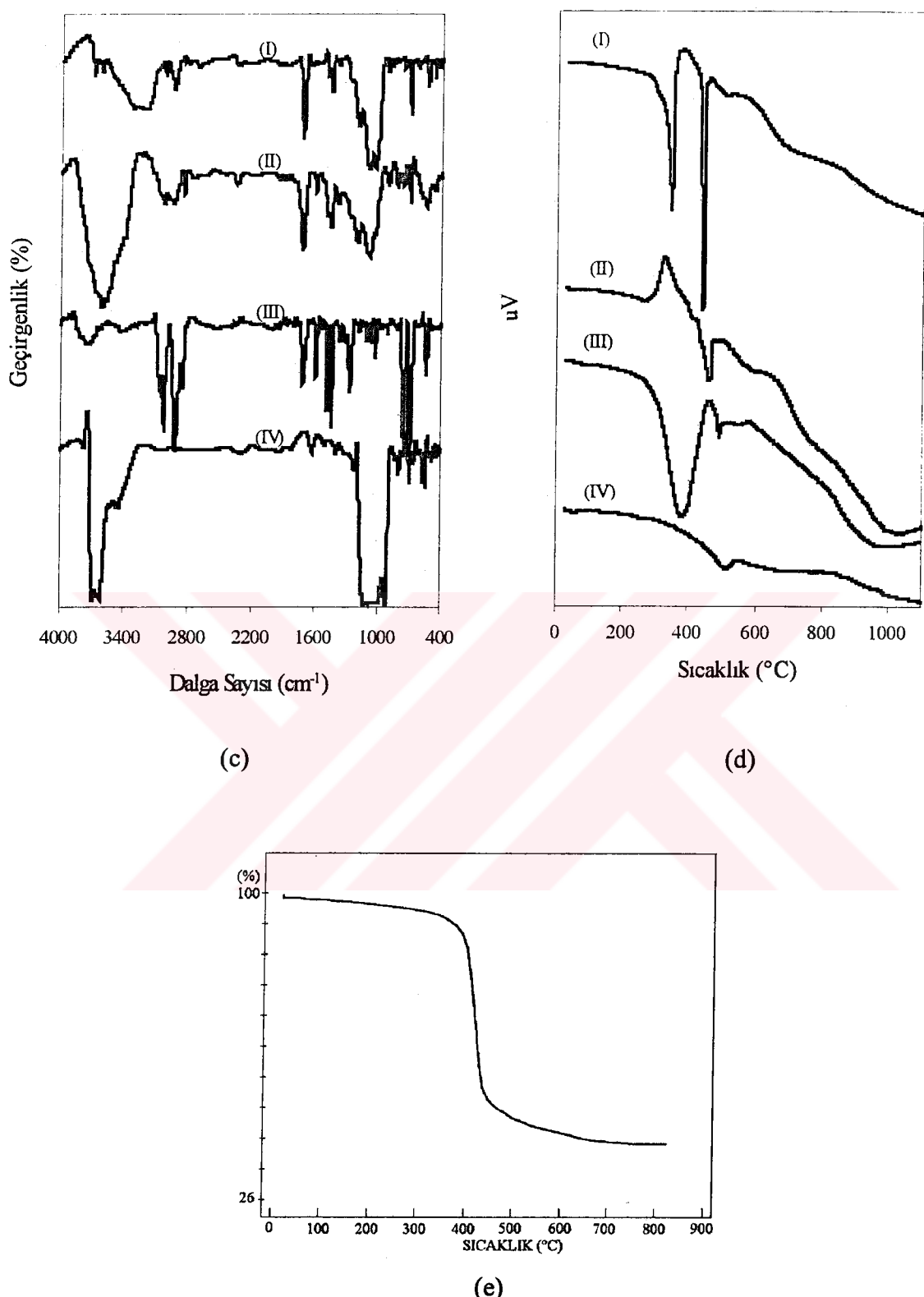
### 3.5. Bentonit-Polistiren Hibrit Materyalinin Karakterizasyonu

Bentonit-polistiren hibrit materyallerinin hazırlanmasında ve karakterizasyonunda, kaolin-polistiren hibrit materyaline uygulanan tüm işlemler uygulanmıştır. Kullanılan kimyasal maddeler ve birbirlerine göre (w/w) oranları tablo 3.2'de ve bulunan sonuçlar ise şekil 3.8'de gösterilmiştir.

Kod	Bentonit	A-174	Stiren	Çözücü
TAG14	1	1	1	Toluen
TAG15	2	1	1	Toluen
TAG16	3	1	1	Toluen
TAG17	4	1	1	Toluen
TAG22	0.5	1	1	-
TAG23	1	1	2	-
TAG24	2	1	2	-
TAG25	2	1	3	-
TAG26	2	1	4	-
TAG27	2	1	5	-
TAG28	2	1	6	-

Tablo 3.2 : Bentonit-Polistiren hibrit materyalinde kullanılan kimyasal maddelerin (w/w) oranları





Şekil 3.8: Bentonit-Polistiren Hibrit materyalinin (TAG25) (a) X-ray difraktogramı, (b) SEM fotoğrafı, (c) FTIR spektrumu , (d) DTA termogramı ve (e) TGA termogramı

Bentonit-Poli(stiren) hibrit materyalinin karakterizasyonuna ait veriler şekil 3.8. a, b, c, d ve e'de gösterilmiştir. Bu verilere göre a'da görülen XRD difraktogramı şekil 3.2.e'deki saf bentonit pikleri ile karşılaştırıldığında 001 piklerinde oldukça önemli oranlarda bir düşüşün olduğu görülmektedir. Şekil 3.8.b'deki SEM fotoğrafında ise hibrit materyalin homojen bir dağılıma sahip olduğu görülmektedir. Şekil 3.8. c ve d'deki I, II, III ve IV ile gösterilen FTIR spektrumları ve DTA termogramları sırasıyla; hibrit materyal (TAG25), A-174-PS (TAG9), PS (TAG10) ve saf bentonite ait pikleri göstermektedir. Bu verilere göre c (I)'de polistiren ve A-174'e ait  $3035\text{ cm}^{-1}$  aromatik C-H gerilmesi,  $2980\text{ cm}^{-1}$  alifatik C-H gerilmesi,  $1720\text{ cm}^{-1}$  C=O,  $1650\text{ cm}^{-1}$  aromatik C-H düzlem dışı eğilmesi ve  $1500\text{ cm}^{-1}$  aromatik C=C gerilme pikleri görülmektedir.  $3693$ - $3620$  ve  $999$ - $918\text{ cm}^{-1}$ 'deki bentonite ait OH gerilme ve deformasyon piklerinin şiddetlerinin oldukça büyük bir oranda düşmüş olması,  $1100\text{ cm}^{-1}$ 'deki Si-O-Si piklerinin karakterinin değişmiş olması ve bölüm 2.4'te anlatıldığı şekilde yapılan çözücü muamelelerine rağmen polimerik kısma ait olan piklerin kaybolmayışı kimyasal bağlanmanın olduğunu göstermektedir.

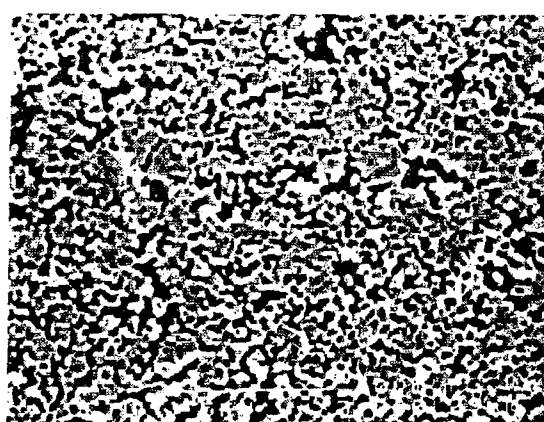
Şekil 3.8. d. I, II, III ve IV ile gösterilen DTA termogramları sırasıyla hibrit materyali, A-174-PS, PS ve bentonite ait bulunmaktadır. Şekil 3.8.d.I'de görülen termogramda  $380$  ve  $530^\circ\text{C}$ 'de iki adet endotermik pik görülmektedir. Birinci endotermik pik muhtemelen yapıda bulunan suyun uzaklaşmasına ikinci endotermik pik ise erimiş göstermektedir. Şekil 3.8.e' deki TGA termogramına baktığımızda  $347.7$ - $446.5^\circ\text{C}$  aralığında  $\%44.26$ 'lık bir kütleyi kaybının olduğu görülmektedir. Bu bölge aynı zamanda A-174-PS'e ait (II) DTA termogramında ekzotermik pik olarak görülmektedir. Şekil 3.8.d.(IV)'deki ( $530^\circ\text{C}$ ) dehidroksilasyon piklerini (I)'de görmeyişi kovalent bağlanmanın olduğuna dair bir başka delil olmaktadır.

### 3.6. Kaolin-Poli (akrilonitril) Hibrit Materyalinin Karakterizasyonu

Kaolin-poliakrilonitril hibrit materyali bölüm 2.4 ve şema 2.3'te ifade edildiği gibi ve tablo 3.3'te gösterilen oranlarda kimyasal madde kullanılarak sentezlendi. Elde edilen numuneler bölüm 2.4'te ifade edildiği gibi safsızlıklardan arındırılarak analize hazırlandı. Yapılan analizlerin sonuçları şekil 3.9'da görülmektedir.

Kod	Kaolin	A-174	Akrilonitril	Çözgen
TAG56	-	-	1	Toluuen
TAG57	1	1	1	-
TAG58	2	1	1	-
TAG59	3	1	1	Toluuen
TAG60	4	1	1	Toluuen
TAG61	2	1	2	-
TAG62	2	1	3	-
TAG63	2	1	4	-

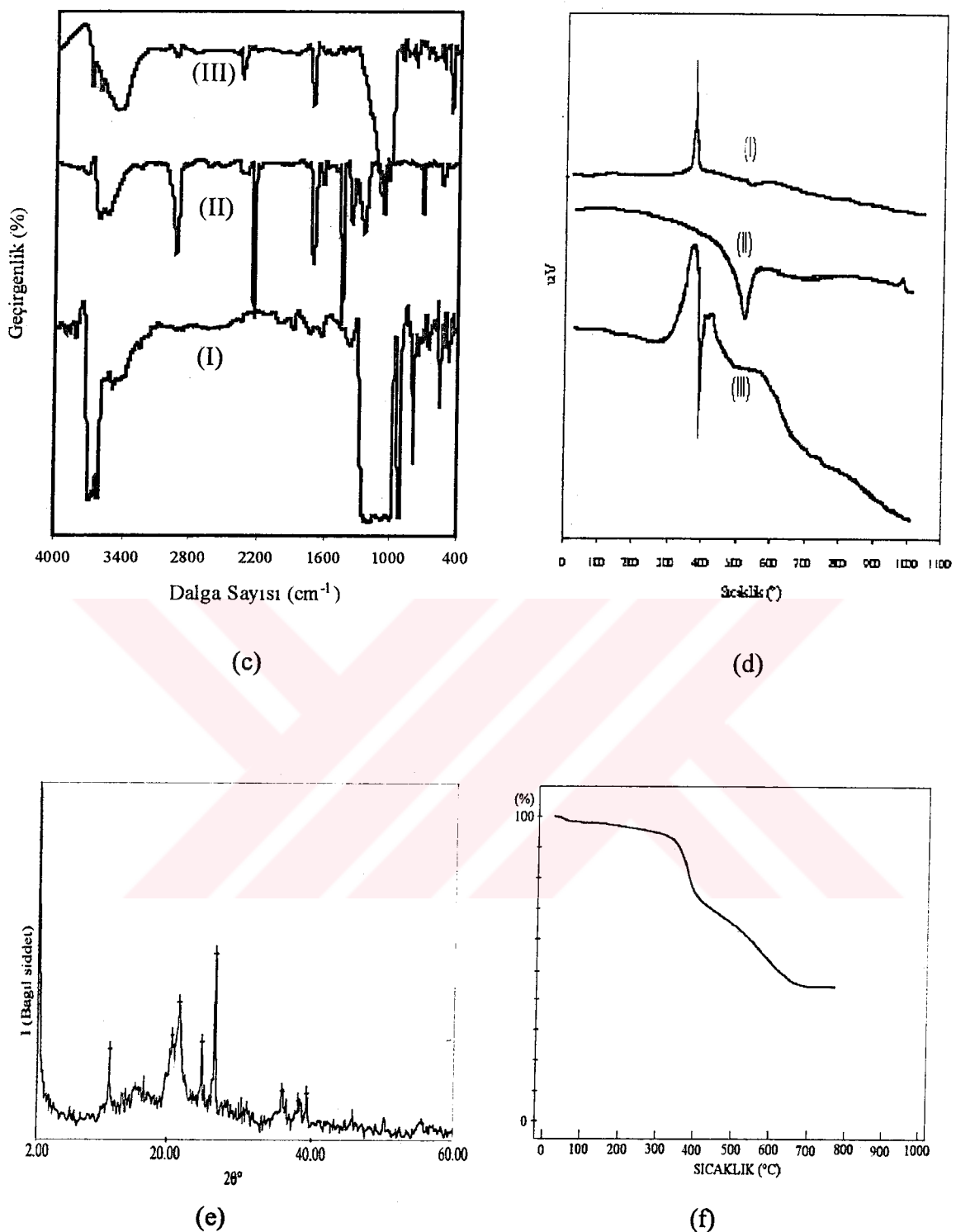
Tablo 3.3: Kaolin-Poliakrilonitril hibrit materyalinde kullanılan kimyasal madde (w/w) oranları



(a)



(b)

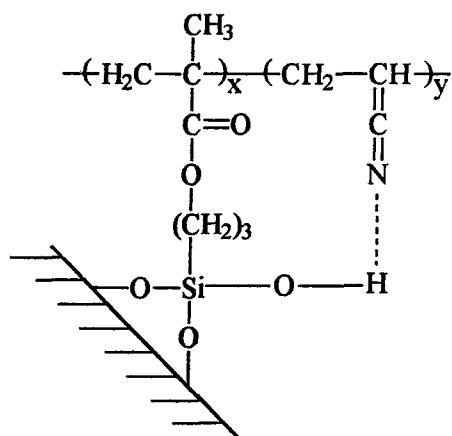


Şekil 3.9 : (a) poliakrilonitrilin (TAG56) SEM fotoğrafı; Kaolin-poliakrilonitril hibrit materyalinin (TAG57) (b) SEM fotoğrafı, (c) FTIR spekturumu, (d) DTA termogramı, (e) X-Ray diffrakrogramı ve (f) TGA termogramı

Şekil 3.9 a'daki poli(akrilonitril) (PAN)'in SEM fotoğrafında görüldüğü gibi PAN gözenekli ve amorf bir yapıya sahip bulunmaktadır. Şekil 3.9 b'deki hibrit materyalin SEM fotoğrafında ise kaolin kristalleri PAN tarafından sarılmış ve homojen bir dağılıma sahip olduğu görülmektedir.

Kaolin-PAN hibrit materyaline ait olan şekil 3.9 c (I)'deki FTIR spekturmunda, kaolinin OH gerilme ve deformasyon piklerinin (3620-3693; 918-999 cm<sup>-1</sup>) şiddetlerinde oldukça büyük oranlarda bir düşüşün olduğu ve 3620-3400 cm<sup>-1</sup> N-H; 3200 cm<sup>-1</sup> vinilik C-H; 22500 cm<sup>-1</sup> C≡N; cm<sup>-1</sup> ve 1720 cm<sup>-1</sup> dalga sayısında karbonil pikleri görülmektedir.

3.9.c (II)'de görülen (TAG56) PAN'e ait FTIR spektrumunda 2250 cm<sup>-1</sup>'de açıkça görülen C≡N pikleri (II)'de net bir şekilde görülmemektedir. Bu durumda PAN'in, hibrit materyale katılmadan ortamdan uzaklaşmış olabileceği düşünülebilir. Ancak materyaldeki kütle artışı ve şekil 3.9.d (III)'de görülen (TAG57) DTA pikinin 350°C'deki ekzotermik piki PAN'e (TAG56) ait olan 3.9 d(I)'deki ekzotermik pik ile aynı sıcaklıkta olması ve TAG57'e ait TGA termogramında (şekil 3.9.f) 326-392°C arasında %17'lik bir kütle kaybının olması ortamda PAN'in var olduğunu göstermektedir. Bu durumda şekil 3.9.c(II)'de C≡N piklerinin görülmeyışı, C≡N gruplarının serbest olmadığını, azot üzerinden de (-C=C=N) bağlanması olabileceğini göstermektedir. Azot üzerinden olan bağlanmayı



şeklinde gösterebiliriz.

Şekil 3.9 d (III)'deki hibrit materyale ait olan DTA termogramında ise  $300^{\circ}\text{C}$ 'ye kadar yavaş azalan bir endotermik pik görülmektedir. Bu pik yapıda bulunan suyun uzaklaşmasından veya amorf polimerik malzemenin yumuşamasından kaynaklanabilir. Şekil 3.9 f'deki hibrit materyale ait olan TGA termogramında  $326^{\circ}\text{C}$ 'ye kadar %6.67'lik bir kütle kaybı olmaktadır. Dolayısıyla şekil 3.9 d (III)'deki  $300^{\circ}\text{C}$ 'ye kadar olan endotermik pik için yumuşama ve su kaybını birlikte düşünmek mümkündür.  $300\text{-}400^{\circ}\text{C}$  ve  $390\text{-}500^{\circ}\text{C}$  arasında iki ekzotermik pik ve  $400^{\circ}\text{C}$ 'de ise bir endotermik pik görülmektedir. Hibrit materyalin şekil 3.9. f'deki TGA termogramına baktığımızda  $326\text{-}392^{\circ}\text{C}$  arasında %17,  $392\text{-}694^{\circ}\text{C}$  arasında ise %31'lik bir kütle kaybı olduğu görülmektedir. Dolayısıyla şekil 3.9 d (III)'deki ekzotermik pikler polimerik kısmın bozunduğunu, ki birinci ekzotermik pik (I) de görülen PAN'e ait olan pike karşılık gelmektedir, endotermik pik ise bir erimenin olduğunu göstermektedir. Ayrıca kaoline ait (şekil 3.9.d(I)) dehidroksilasyon pikinin (III)'de görülmeyişi kovalent bağlanmasından delili olmaktadır.

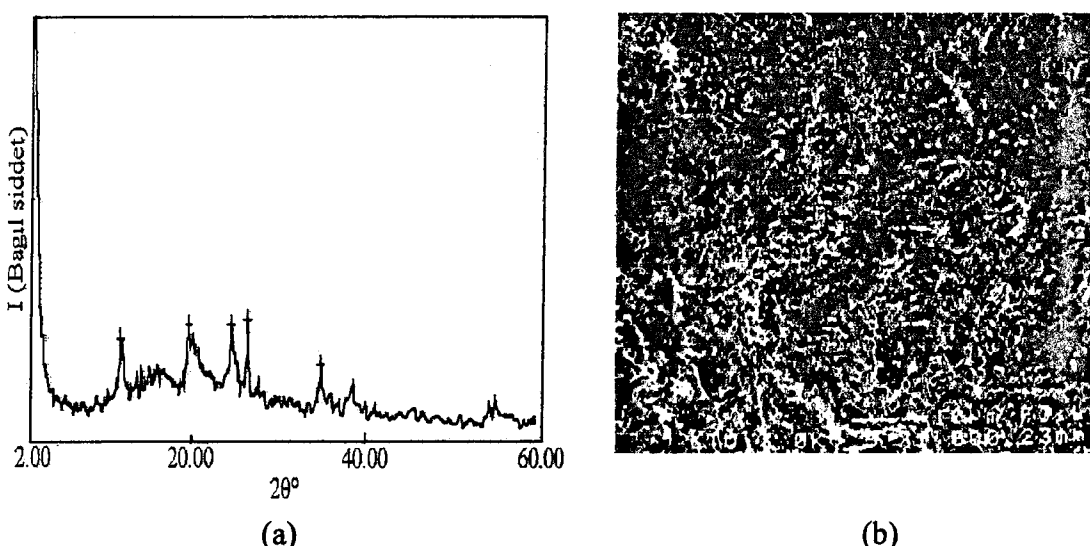
Şekil 3.9 e'deki XRD difraktogramında görüldüğü gibi kaoline ait 001 pikinin şiddetinin düşmesi kaolin-PAN hibrit materyalinin önerilen oluşum mekanizması ile gerçekleştiğini göstermektedir.

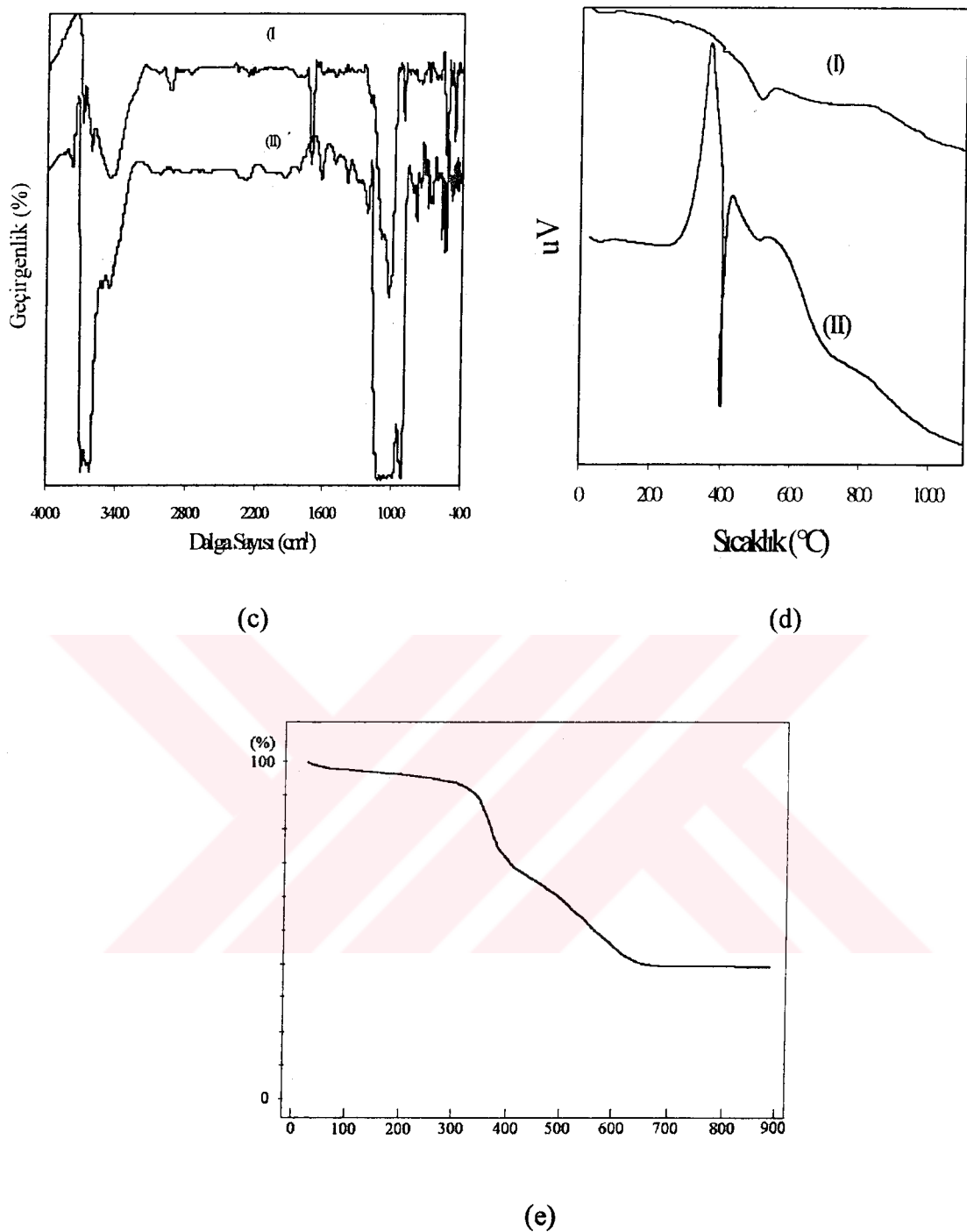
### 3.7. Bentonit-Poli(akrilonitril) Hibrit Materyalinin Karakterizasyonu

Bentonit-poliakrilonitril hibrit materyalinin sentezinde de bölüm 2.4 ve şema 2.3'te önerilen yöntemler ve tablo 3.4'te gösterilen oranlarda kimyasal madde kullanıldı. Elde edilen numuneler bölüm 2.4'te ifade edildiği gibi safsızlıklardan arındırılarak analize hazırlandı. Yapılan analiz sonuçları şekil 3.10'da gösterildi.

Kod	Bentonit	A-174	Akrilonitril	Çözgen
TAG64	1	1	1	-
TAG65	2	1	1	Toluен
TAG66	3	1	1	Toluен
TAG67	4	1	1	Toluен
TAG68	2	1	2	-
TAG69	2	1	3	-
TAG70	2	1	4	-

Tablo 3.4: Bentonit-Poliakrilonitril hibrit materyalinde kullanılan kimyasal maddelerin (w/w) oranları





Şekil 3.10: Bentonit-poliakrilonitril hibrit materyalinin (TAG64) (a) X-ray diffraktogramı (b) SEM fotoğrafı, (c) FTIR spektrumu, (d) DTA termogramı ve (e) TGA termogramı

Şekil 3.10 a'da görülen Bentonit-poli(akrilonitril) hibrit materyalinin XRD difraktogramındaki bentonite ait 001; 013 ve 002 piklerinin şiddetinin düşmesi bentonit-PAN hibrit materyalinin olduğunu göstermektedir.

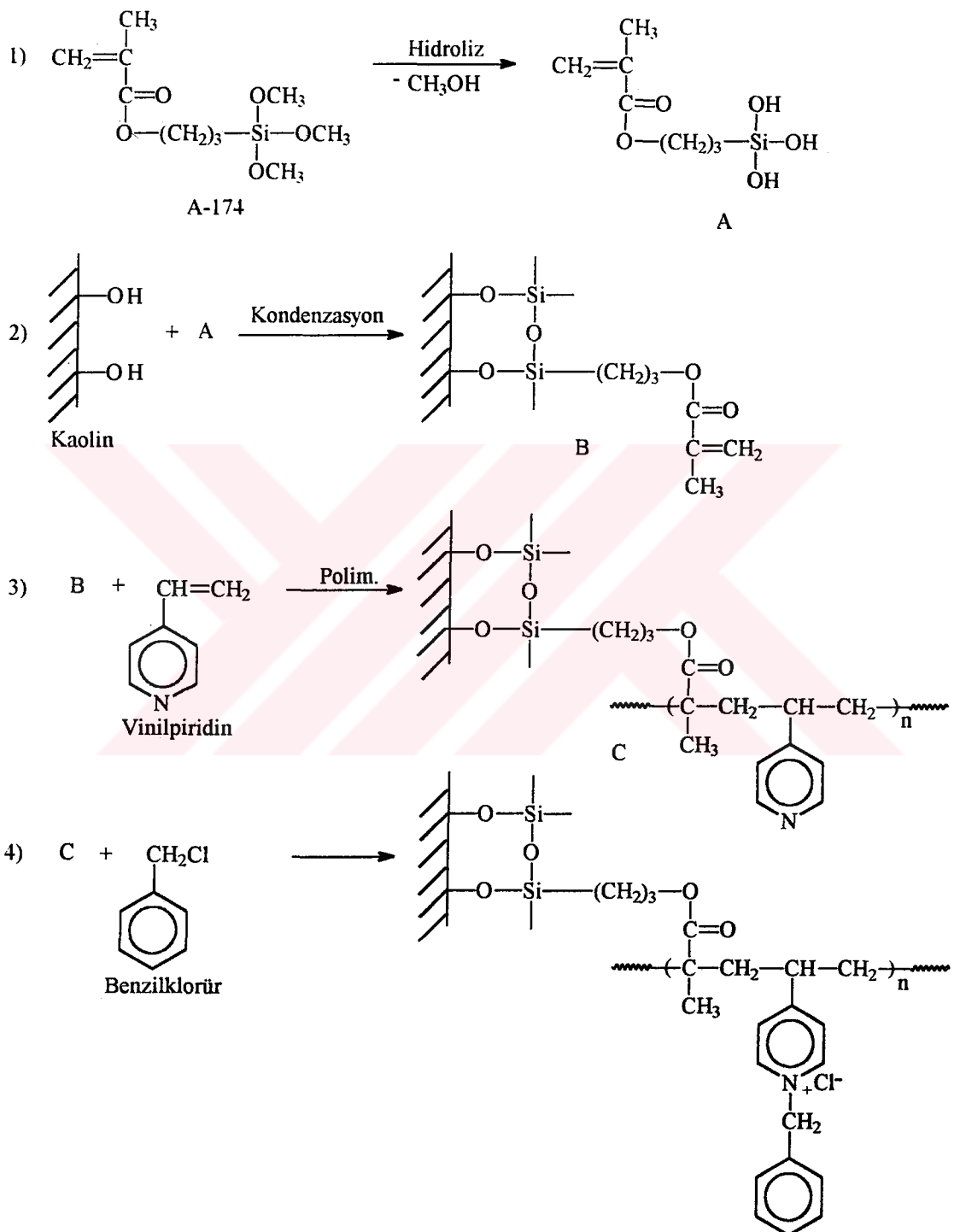
Şekil 3.10.b'deki bentonit-PAN hibrit materyalin SEM fotoğrafında ise bentonitin PAN tarafından sarılmış olduğu ve homojen bir dağılıma sahip olduğu görülmektedir.

Bentonit-PAN hibrit materyaline ait olan şekil 3.10 c (I)'deki FTIR spekturmunda, bentonitin OH gerilme ve deformasyon piklerinin şiddetlerinde bir düşüşün olduğunu ve  $3620\text{-}3400\text{ cm}^{-1}$  N-H;  $3200\text{ cm}^{-1}$  vinilik C-H;  $2500\text{ cm}^{-1}$  C≡N;  $\text{cm}^{-1}$  ve  $1720\text{ cm}^{-1}$  dalga sayısında karbonil piklerini görmekteyiz. Ancak, OH piklerinin şiddetlerindeki düşüş miktarlarının ve C≡N grubuna ait  $2250\text{ cm}^{-1}$ 'deki piklerin şiddetlerinin az olması ve şekil 3.10.d(II)'deki hibrit materyale ait DTA termogramında  $530^{\circ}\text{C}$ 'deki az da olsa dehidroksilasyon piklerinin varlığı bağlanması tam olmadığını, ancak, şekil 3.10.c (I)'deki C-H, C=O, N-H ve C≡N piklerinin varlığı ve kütle artışı bağlanması az da olsa olduğunu göstermektedir.

Şekil 3.10.e'deki TGA termogramında,  $22.5\text{-}314^{\circ}\text{C}$  arasında %7.2'lik,  $314\text{-}397^{\circ}\text{C}$  arasında %21.83 ve  $397\text{-}648.5^{\circ}\text{C}$  arasında ise %31.81'lik bir kütle kaybı olduğu görülmektedir. Bu da şekil 3.10.d (II)'deki DTA termogramıyla karşılaştırıldığında, kütle kaybının olduğu bölgelerde ekzotermik pikler görülmektedir. Bu da polimerin bu sıcaklıklarda bozulduğunu göstermektedir.

### 3.8. Kaolin-Poli(vinil piridin) Hibrit Materyalinin Sentezi ve Karakterizasyonu

Kaolin-Poli(vinil piridin) hibrit materyalinin sentezi aşağıdaki şemada gösterildiği gibi dört aşamada gerçekleştirılmıştır<sup>138</sup>.



Şema 3.1: Kaolin-Poli(vinil piridin) benzil klorür tuzu'nun (TAÖ1) sentez şeması

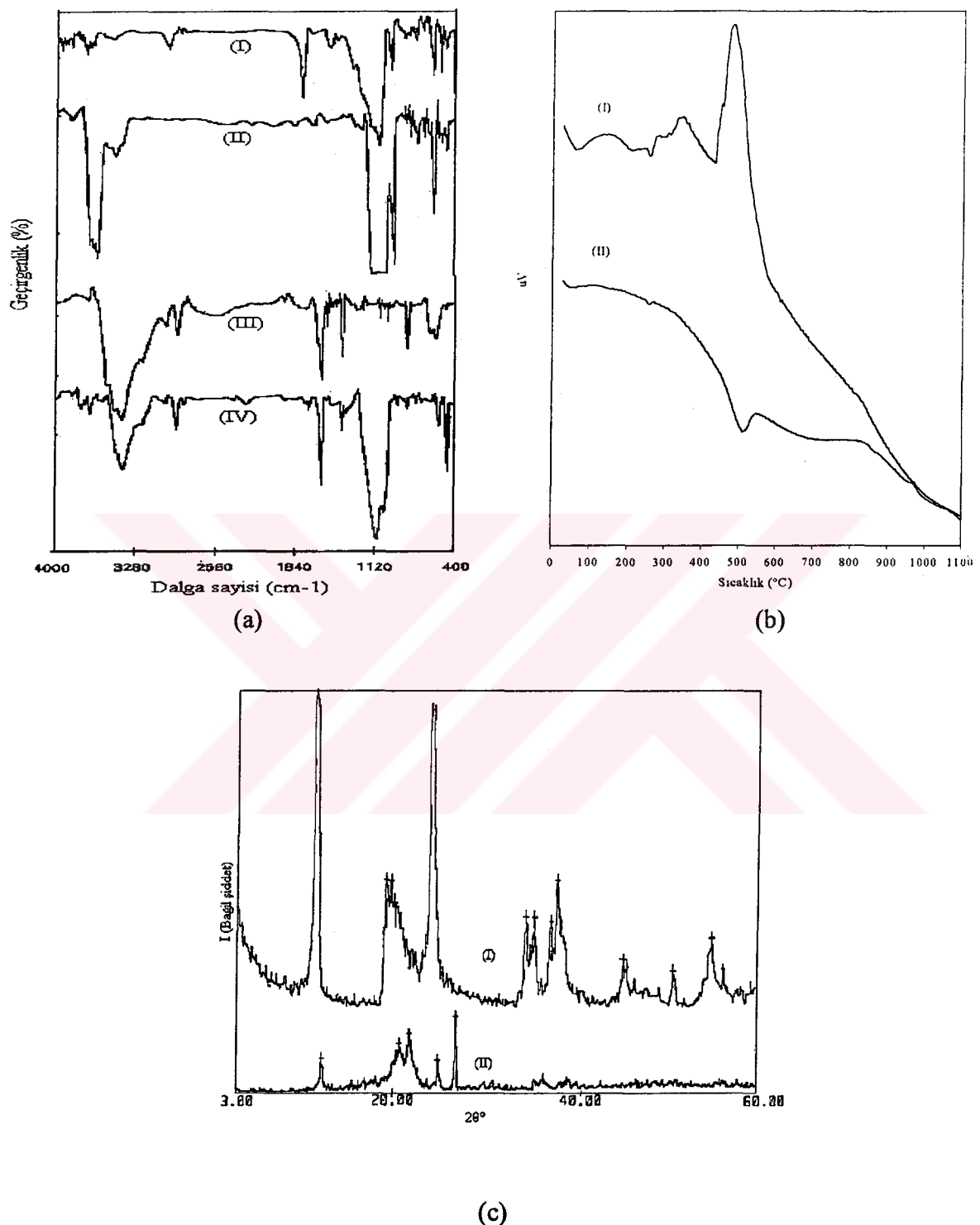
Kaolin-PVP hibrit materyalinin (TAÖ1) sentezi, sırasıyla Kaolin:A-174:Vinil piridin, kütlece 1:1:4 oranında ve şema 3.1'de gösterilen 3. Basamağa kadar olan kısmı bölüm 2.4'te anlatıldığı şekilde yapıldı ve saflaştırıldı. Ele geçen hibrit materyal şema 3.1'in 4. basamağında gösterildiği şekilde DMSO içerisinde 4 ml benzilklorür ile etkileştirildi ve hibrit materyalin PVP tuzu oluşturuldu. Elde edilen numune öğütüldü ve soxhlet cihazında DMSO ile defalarca yılanarak ortamda reaksiyona girmeden kalabilecek benzilklorür uzaklaştırıldı ve vakum etübünde 12 saat 75°C'de kurutuluktan sonra %75'lik bir kütle artışının olduğu görüldü.

Hibrit materyal içerisindeki PVP miktarının belirlenmesi için, hibrit materyalden (TAÖ1) bir kolon hazırlandı ve kolondan 1N NaNO<sub>3</sub> geçirilerek, eluant 0.1N AgNO<sub>3</sub> çözeltisi ile (eosin indikatörlüğünde) titre edildi ve matriksteki PVP miktarının %48 olduğu bulundu. Daha sonra ürünün karakterizasyonunu yapılarak atık sulardaki *escherichia coli*, *pseudomonas aeruginosa* ve *staphylococcus aureus* bakterilerini uzaklaştırma testleri yapıldı.

İmmobilize enzimlerin yerine biokatalitik özellik gösterebilecek sistemlerin tercih edilmesi ekonomik açıdan avantajlar sağlamaktadır. Enzimlerin saflaştırılmasının, immobilize edilmesinin ve geri kazanımının gücüne önüne alındığında kil sistemlerin matriks olarak kullanıldığı, doğal sistemlerin tercih edilmesi gereği açıkça görülmektedir.

Poli(N-benzil-4-vinilpiridinyum) tuzlarının bakteri hücrelerini yüzeyinde yakaladığı bilinmektedir. Polimerin geri kazanımı ve yeniden kullanımı için çapraz bağlayıcı sistem olarak çoğunlukla Merrified resin (polistiren-divinilbenzen matriksi) seçilmiştir. Resinin dayanıklığının artırımı için yapılan çalışmalarada literatürde sıkça rastlamak mümkündür.<sup>141-143</sup>

Killere hidrofobik özellik kazandırılarak PVP tuzları ile kullanımı ise hem ekonomik hem de sonuçlar açısından önemlidir.



Şekil 3.11: Kaolin-Poli(vinilpiridin) hibrit materyalinin (TAÖ1) (a) FTIR spekturumu, (b) DTA termogramı ve (c) X-ray difraktogramı

Şekil 3.11. a, b ve c'de görüldüğü gibi PVP, A-174 yardımıyla kaoline kovalent bağla bağlanmıştır. Şekil 3.11. a, I, II, III ve IV'teki FTIR spektrumları sırasıyla kaolin-A-174e, saf kaoline, poli(vinil piridin)e ve PVP-A-174-Kaolin kopolimerine ait bulunmaktadır. Şekil 3.11.a.I'e ve a IV'e baktığımızda kaolinin OH piklerinin ( $3693\text{ cm}^{-1}$ ) nerdeyse tamamen kaybolduğu, Si-O-Si ( $1100\text{ cm}^{-1}$ ) piklerinde karakterinin değiştiği görülmektedir. Yine aynı spekturmada kaolinin IR spekturmunda bulunmayan  $3400\text{ cm}^{-1}$  N-H pikleri,  $3000\text{ cm}^{-1}$  aromatik C-H gerilme pikleri  $1650\text{ cm}^{-1}$  C=O ve  $1500\text{ cm}^{-1}$ deki aromatik C=C gerilme pikleri görülmektedir (3.11.a4).

Şekil 3.11.b.I ve II'de hibrit materyalin ve kaolinin DTA termogramları görülmektedir. II'de  $230^{\circ}\text{C}$  ve  $513^{\circ}\text{C}$ 'de iki endotermik pik görülmektedir. Bu piklerden birinci endotermik pik, kaolinde bulunan suyun uzaklaştığını ikinci ise dehidroksilasyonu göstermektedir. I'de ise  $280$  ve  $450^{\circ}\text{C}$ 'de iki endotermik ve  $300$ - $400^{\circ}\text{C}$  aralığı ile  $500^{\circ}\text{C}$ 'de iki ekzotermik pik görülmektedir.  $280^{\circ}\text{C}$ 'deki endotermik pik polimerin camsı geçiş sıcaklığını  $450^{\circ}\text{C}$ 'deki endotermik pik ise eridiğini göstermektedir.  $300$ - $400^{\circ}\text{C}$  aralığındaki ekzotermik pik, hibrit materyalin yeniden kristallendiğini ve  $500^{\circ}\text{C}$ 'de ekzotermik pik ise polimerik kısmın bozunduğunu göstermektedir. b(II)'de (kaolin)  $513^{\circ}\text{C}$ 'de olan ekzotermik pikin (dehidroksilasyon pikinin) b(I)'de (TAÖ1) olmayışı kompozit materyalde OH gruplarının bulunmadığını yani polimerik kısmın kaoline A-174 sayesinde kovalent bağ ile bağlandığını göstermektedir.

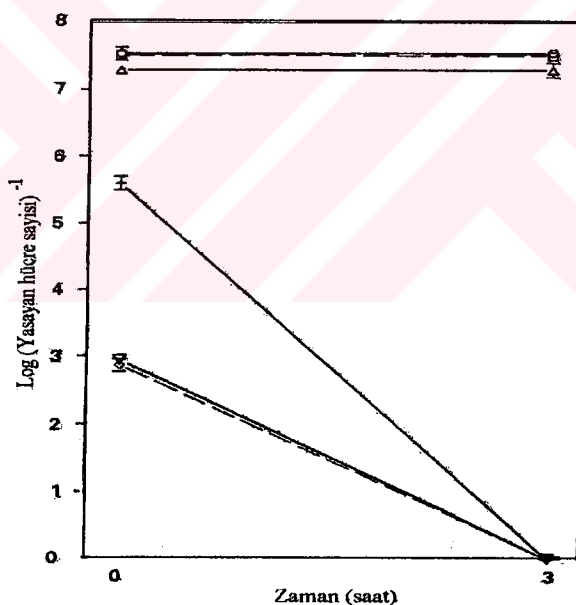
Şekil 3.11.c'deki XRD piklerinde I. Difraktogramda görülen kaoline ait 001 pikinin, hibrit materyale ait olan II. difraktogramda şiddetinin çok düşmüş olduğu görülmektedir. Bütün bu açıklamalara göre, PVP'nin kile kovalent bağla bağlandığını ve şema 3.1'in 4. Basamağında yapılan klorürleme reaksiyonundaki kütle artışından ise benzilklorürün yapıya girdiğini söyleyebiliriz.

Yukarıda sentezi ve karakterizasyonu anlatılan Kaolin-A-174-Poli(vinil piridin) hibrit materyalinin benzil klorür tuzu (TAÖ1), aşağıda anlatıldığı şekilde bakteri tutma testlerine tabii tutuldu ve sonuçlar şekil 3.12 ve tablo 3.5'te gösterildi.

Bakteri hücreleri, tampon çözelti halinde PVP-kaolin içeren cam kolon sistemlerinden geçirilerek tutuklandı. Bakterilerin PVP-kaolin yüzeyinde tutuklanmasında; 12 mm çapında ve 27 cm uzunluğunda cam kolona, oda koşullarında PVP-kaolin tuzu matriksi dolduruldu ve *E. coli*, *P. aeruginosa* ve *S. aureus* süspansiyonları 0.1M tampon çözeltilerde hazırlanarak kolondan döngülü olarak 4 saat süreyle geçirildi.

Süspansiyon miktarı değiştirilerek kolon ve matriksin optimizasyonu saptandı. Akış hızı olarak 0.8 ml/dak. optimal koşul olarak belirlendi. Resin yatağı, tampon çözelti ile yıkandıktan sonra bakteriler uzaklaştırıldı.

*Escherichia coli* ATCC 35218, *pseudomonas aeruginosa* USDA B771 ve *staphylococcus aureus* ATTC 25923 deney esnasında organizma olarak kullanıldı.



Şekil 3.12 : Hibrit materyal tarafından tutulan ( $\diamond$ ) *E. coli*, ( $\nabla$ ) *P. aeruginosa* ve (+) *S. aureus* bakterilerinin zamana göre yaşayan miktarları. Hibrit materyalin bulunmadığı ortamda ( $\circ$ ) *E. Coli*, ( $\square$ ) *P. Aeruginosa* ve ( $\Delta$ ) *S. Aurus* bakterilerinin zamana göre yaşayan miktarları

Bakteri	Başlangıçta yaşayan hücreler (ml'de)	Uzaklaştırma katsayısı (ml g <sup>-1</sup> h)	3 saat sonra uzaklaştırma yüzdesi (%)
<i>E.Coli</i>	$3.43 \times 10^7$	47 684	100
<i>S. Aereus</i>	$1.9 \times 10^7$	106 310	100
<i>P.Aeruginosa</i>	$3.26 \times 10^7$	109 452	100

Tablo 3.5: Hibrit materyal tarafından uzaklaştırılan bakterilerin, uzaklaştırma katsayıları ve uzaklaştırılan yüzdeleri

Uzaklaştırma katsayısı;

$$\text{Uzaklaştırma Katsayısı: } V/Wt \log[N_0/N_t]$$

formülü ile verilmektedir. Formülde;

V : Sayılabilir hücre süspansiyonunun hacmi

W : Matriksin ağırlığı

t : Temas zamanı

N<sub>0</sub>: Başlangıçtaki hücre sayısı

N<sub>t</sub>: t zaman sonraki hücre sayısı

Bu deneyler sonucunda, özellikle içme sularının arıtılmasında PVP-kil sistemlerinin kullanımının avantajları aşağıdaki gibidir.

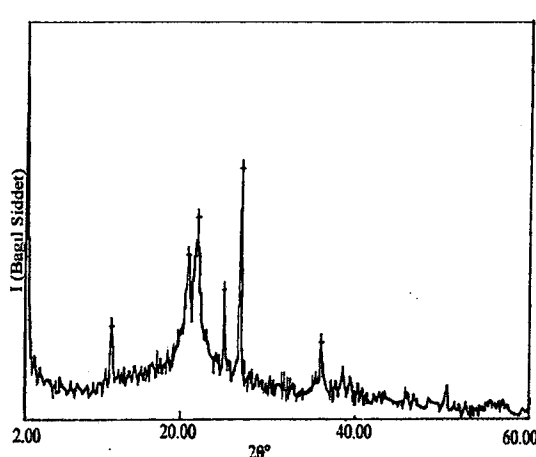
- a) Klasik çapraz bağlayıcıların yerine kilin kullanımı daha ekonomiktir.
- b) Kilin yapısından kaynaklanan fiziksel özelliği PVPnin özellikleri ile birleştiğinde tüm bakterilerin tutulması daha kolaydır.
- c) Matriksin geri kazanımı daha kolay olup, defalarca kullanılabilimekte veya kolaylıkla modifiye edilebilmektedir.

### 3.9. Kaolin-Poli(akrilik asit) Hibrit Materyalinin Karakterizasyonu

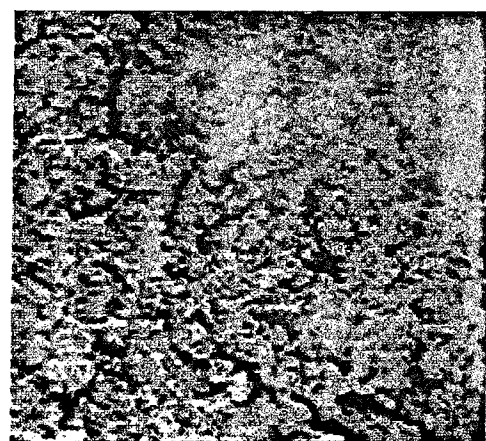
Kaolin-Poli(akrilik asit) hibrit materyali bölüm 2.4 ve şema 2.4 'te anlatıldığı gibi ve tablo 3.6'te verilen oranlarda sentezlendikten sonra numune, bölüm 2.4'e ifade edildiği şekilde safsızlıklardan arındırılmış ve analize hazırlanmıştır. Analiz sonunda bulunan sonuçlar şekil 3.13'te gösterilmiştir.

Kod	Kaolin	A-174	Akrilik asit	Çözgen
TAG43	1	1	1	-
TAG44	2	1	1	Toluen
TAG45	3	1	1	Toluen
TAG46	4	1	1	Toluen
TAG51	2	1	2	-
TAG52	2	1	3	-
TAG53	2	1	4	-

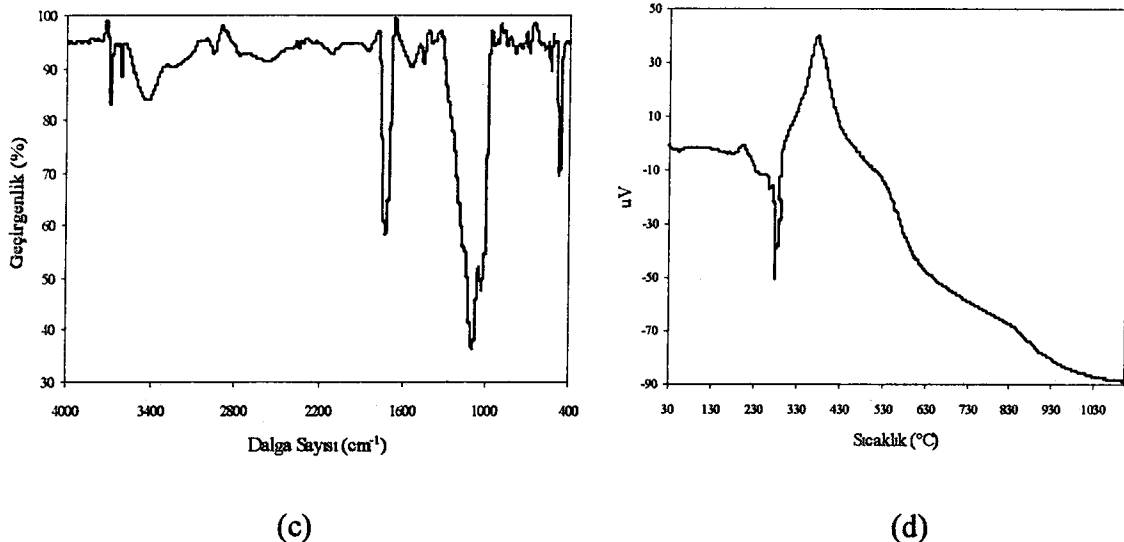
Tablo 3.6 : Kaolin-Poli(akrilik asit) hibrit materyalinde kullanılan kimyasal maddelerin (w/w) oranları



(a)



(b)



Şekil 3.13 : Kaolin-Poli(akrilik asit) hibrit materyalinin (TAG53) (a) XRD diffraktogramı, (b) SEM fotoğrafı, (c) FTIR spektrumu, (d) DTA termogramı ve (e) TGA termogramı

Şekil 3.13. a, b, c, d ve e'de Kaolin-Poli(akrilik asit) hibrit materyaline (TAG53) ait, sırasıyla, XRD diffraktogramı, SEM fotoğrafı, FTIR spekturumu, DTA termogramı ve TGA termogramı verilmektedir. Bu verilere göre a'daki XRD diffraktogramında görüldüğü gibi kaolinin 001 pikinin şiddeti azalmış olarak görülmektedir. b'deki SEM fotoğrafında ise kompozit materyalin homojen bir dağılıma sahip olduğu görülmektedir. c'de görülen FTIR spekturumunda ise kaolinin

OH piklerinin şiddetleri oldukça düşmüştür ( $3693\text{-}3620$  ve  $999\text{-}918\text{ cm}^{-1}$ ). Si-O-Si ( $1222\text{-}1030\text{ cm}^{-1}$ ) piklerinin karakteri değişmiş, kendine özgü geniş band keskin bir pike dönüşmüştür. Ayrıca c'de  $3600\text{-}3400\text{ cm}^{-1}$  aralığında akrilik asite ait OH pikleri,  $2980\text{ cm}^{-1}$ 'de vinilik C-H pikleri,  $1720\text{ cm}^{-1}$ 'de C=O pikleri ve  $1320\text{-}1280\text{ cm}^{-1}$  aralığında ise asite ait C-O bağlarına ait titreşimler görülmektedir. d'de görülen DTA termogramında ise  $200^{\circ}\text{C}$  ve  $400^{\circ}\text{C}$ 'de iki ekzotermik pik ve  $280^{\circ}\text{C}$ 'de ise bir endotermik pik görülmektedir. Birinci ekzotermik pikin görüldüğü sıcaklık aralığına karşılık gelen ve e'de görülen TGA termogramında ise %13.59'luk bir kütle kaybı görülmektedir; ikinci ekzotermik pikin görüldüğü bölgeye karşılık gelen TGA termogramında ise %45.8'luk bir kütle kaybı meydana gelmektedir. Bu da bize, hibrit materyalin polimerik kısmının bu sıcaklıklarda bozunduğunu göstermektedir. d'de görülen DTA termogramında ise  $280^{\circ}\text{C}$ 'de polimerin eridiği ve kaolinin  $530^{\circ}\text{C}$ 'deki dehidroksilasyon piklerinin olmadığı görülmektedir.

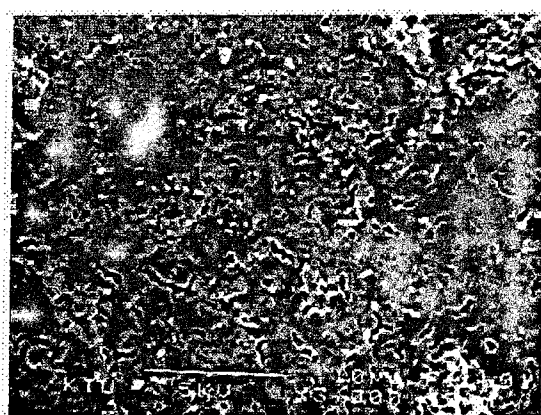
Hibrit materyale ait (TAG53) DTA termogramında dehidroksilasyon piklerinin olmayışı, XRD'de 001 pikinin ve IR'de de -OH piklerinin şiddetlerinin oldukça düşmüş olması, hibrit materyalin kovalent bağlanma ile meydana geldiğini göstermektedir.

### 3.10. Kaolin-Poli(metakrilik asit) Hibrit Materyalinin Karakterizasyonu

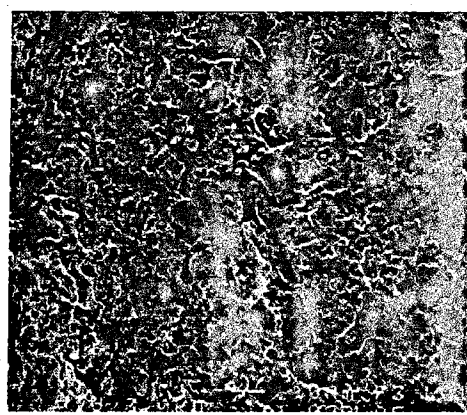
Kaolin-poli(metakrilik asit) hibrit materyali bölüm 2.4'te ve şema 2.4'te ifade edildiği şekilde ve tablo 3.7'da gösterilen oranlardaki kimyasal madde kullanılarak sentezlendi. Elde edilen numuneler bölüm 2.4'te ifade edildiği gibi saflaştırılmış ve analiz sonuçları şekil 3.14'te gösterilmiştir.

Kod	Kaolin	A-174	Metakrilik Asit	Çözgen
TAG29	1	1	1	-
TAG30	2	1	1	Toluen
TAG31	3	1	1	Toluen
TAG32	4	1	1	Toluen
TAG37	2	1	2	-
TAG38	2	1	3	-
TAG39	2	1	4	-

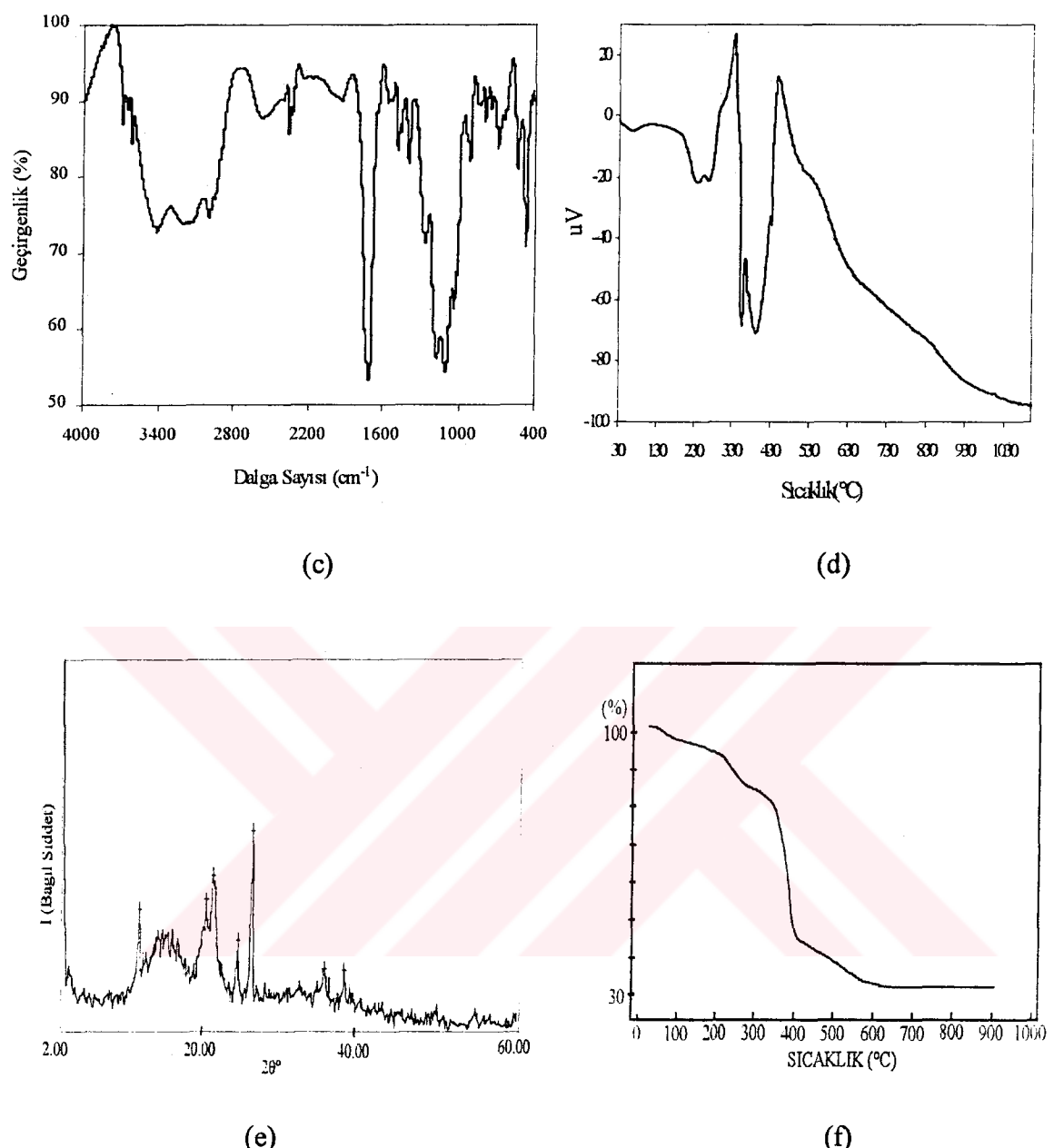
Tablo 3.7: Kaolin-poli(metakrilik asit) hibrit materyalinde kullanılan kimyasal maddelerin (w/w) oranları



(a)



(b)



Şekil 3.14: Poli(metakrilik asit)'in (a) SEM fotoğrafı; Kaolin-Poli(metakrilik asit) hibrit materyalinin (TAG39) (b) SEM fotoğrafı, (c) FTIR spektrumu, (d) DTA termogramı, (e) XRD difraktogramı ve (f) TGA termogramı

Şekil 3.14.a'da poli(metil metakrilat)ın SEM fotoğrafı görülmektedir. b'de ise hibrit materyalin (TAG39) SEM fotoğrafı görülmektedir. b'de görüldüğü gibi fotoğraf ne kaolinin ne de polimerin fotoğrafına benzememektedir. Polimer ile kaolin

homojen bir dağılıma sahip bulunmaktadır. Fotoğraftaki açık renkli kısımlar polimer zincirlerini karanlık kısımlar ise kili göstermektedir.

c'deki FTIR spekturmundaki piklere göre ( $3693\text{-}3620$  ve  $999\text{-}918\text{ cm}^{-1}$ ) OH piklerinin şiddeti oldukça düşmüştür ve Si-O-Si piklerinin ( $1220\text{-}1030\text{ cm}^{-1}$ ) karakteri değişmiştir.  $3500\text{-}3000\text{ cm}^{-1}$  aralığında görülen geniş ve yayvan pikler metakrilik asitin hidrojen bağlı –OH piklerine aittir.  $2980\text{ cm}^{-1}$  deki vinilik C-H pikleri ve  $1720\text{ cm}^{-1}$  deki C=O pikleri bütün yıkamalara rağmen uzaklaşmadan kalmaları poli(metakrilik asit)in A-174 yardımıyla kaoline kovalent bağlanma ile bağlandığını göstermektedir.

d'deki DTA termogramında ise  $90$ ,  $230\text{-}240$ ,  $330$  ve  $350\text{-}450^{\circ}\text{C}$  de dört endotermik ve  $250\text{-}300$ ,  $340$  ve  $350\text{-}450^{\circ}\text{C}$  de ise üç adet ekzotermik pik görülmektedir.  $90^{\circ}\text{C}$ 'deki endotermik pik ortamdaki suyun uzaklaştığını göstermektedir ki bu pik f'de görülen TGA termogramında %3.57 lik bir kütle kaybına karşılık gelmektedir.  $230\text{-}240^{\circ}\text{C}$  aralığında hibrit materyalin eridiğini ve  $250\text{-}300^{\circ}\text{C}$  aralığında ise bozunduğunu görmekteyiz. Hibrit materyalin TGA termogramında  $250\text{-}300^{\circ}\text{C}$  aralığında %12.59 luk,  $350\text{-}450^{\circ}\text{C}$  aralığında ise %54.72 lik kütle kaybı olduğu görülmektedir. Saf kaoline ait şekil 3.1.d'de ki DTA termogramında görülen kaolin için karakteristik  $500^{\circ}\text{C}$ 'deki dehidroksilasyon piki şekil 3.14.d'de görülmemektedir.

Şekil 3.14.e'de görülen ve hibrit materyale (TAG39) ait olan XRD difraktogramında kaolinin 001 pikinin şiddetinin düştüğü görülmektedir. Şekil 3.14.e' de, şekil 3.1.e'de olmayan  $12\text{-}19 2\theta$  aralığında hibrit materyalin polimerik kısmına ait pikler görülmektedir.

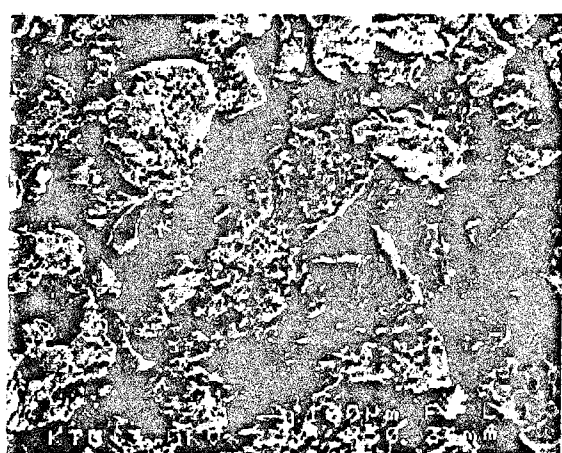
Bu verilere göre polimerin kaoline kovalent bağ ile bağlanarak hibrit materyalin oluştuğunu ve ayrıca hibrit materyalin kristalin yapıda olduğunu söyleyebiliriz.

### 3.11. Bentonit- Poli(N-Vinil pirolidon) Hibrit Materyalinin Karakterizasyonu

Bentonit/kaolin-poli(N-Vinil pirolidon) hibrit materyalleri bölüm 2.4 ve şema 2.4'te anlatıldığı şekilde ve tablo 3.8'de verilen oranlarda sentezlendikten sonra örnekler, bölüm 2.4'te anlatıldığı şekilde safsızlıklardan arındırılmış ve farklı kısımlara ayrılarak analizleri yapılmıştır. Yapılan analiz sonuçları şekil 3.15 ve 3.16'da gösterildiği gibidir.

Kod	Bentonit	Kaolin	A-174	N-vinil pirolidon	Çözücü
TAG80	1	-	1	1	-
TAG81	1	-	1	2	-
TAG82	-	-	1	1	-
TAG83	-	-	-	1	-
TAG84	-	1	1	1	-
TAG85	-	1	1	2	-

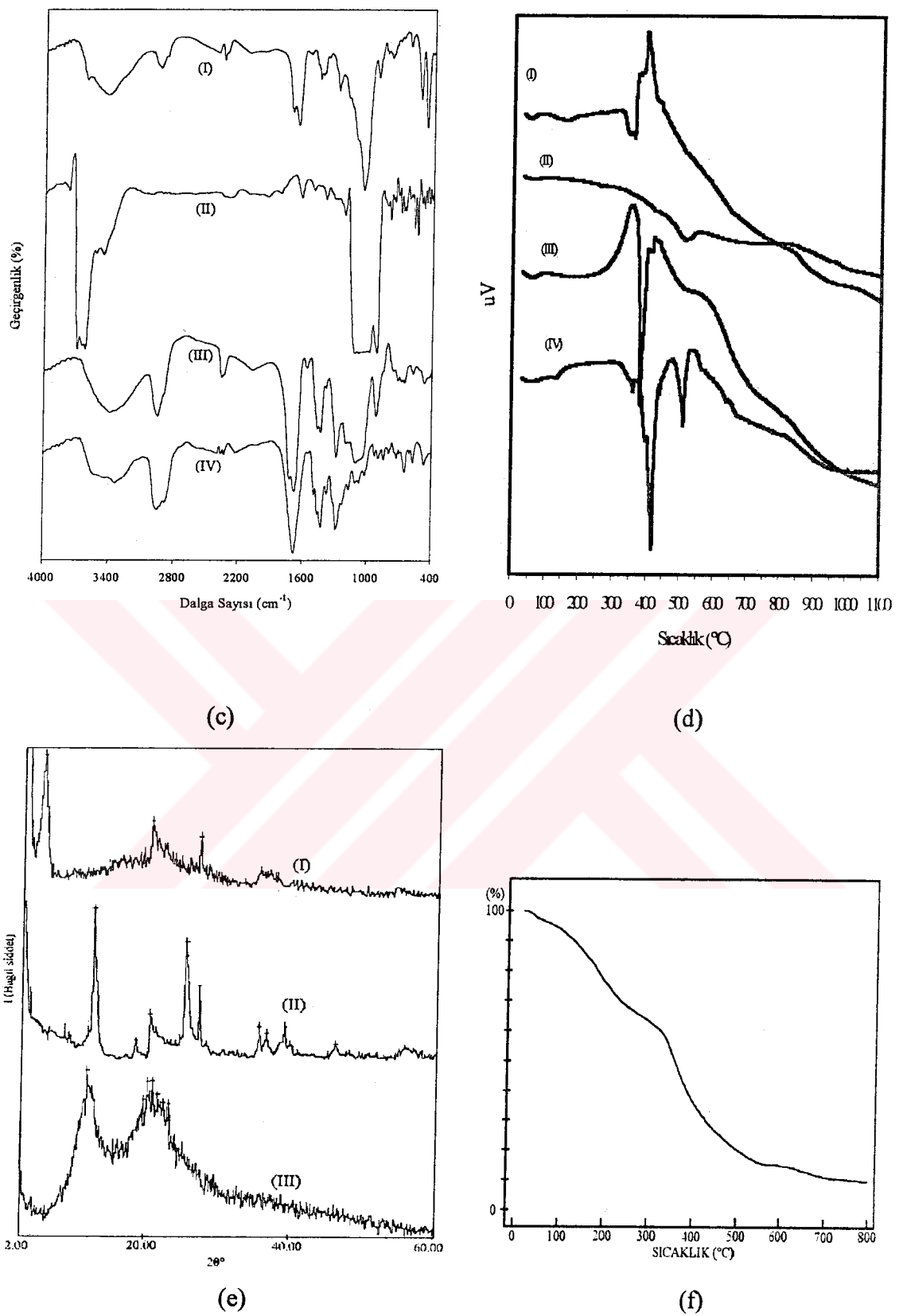
Tablo 3.8: Bentonit/Kaolin-poli(N-Vinil pirolidon) hibrit materyallerinin sentezinde kullanılan kimyasal maddelerin (w/w) oranları



(a)



(b)



Şekil 3.15: Poli(N-vinil pirolidon)un (TAG83) (a) SEM fotoğrafı, Bentonit-Poli(N-vinil pirolidon) hibrit materyalinin (TAG80) (b) SEM fotoğrafı, (c) FTIR spekturumu, (d) DTA termogramı, (e) XRD diffraktogramı ve (f) TGA termogramı.

Şekil 3.15.a'da poli(N-vinil pirolidon)nun SEM fotoğrafı görülmektedir. Fotoğrafta açıkça görüldüğü gibi, polimer kristalin yapıdadır. Polimerin kristalin yapıda olduğunu, şekil 3.15 d(IV) ve e(III)te görülen (TAG83) DTA termogramından ve XRD difraktogramından da anlayabiliyoruz. d(IV)te  $350^{\circ}\text{C}$ 'de camsı geçiş sıcaklığı ve  $400^{\circ}\text{C}$ 'de erime sıcaklığı görülmektedir.  $450\text{-}500^{\circ}\text{C}$  aralığında polimer yeniden kristallenmekte ve  $550^{\circ}\text{C}$ 'de tekrar erimektedir.  $600^{\circ}\text{C}$ 'den sonra da bozunduğu görülmektedir. e(III)te görülen XRD difraktogramında ise polimerin 10 ve  $20^{\circ}\text{larda}$  pik verdigini görmekteyiz. Amorf maddelerin XRD'de pik vermediği bilindiğine göre, polimerimizin kristalin yapıda olduğunu söyleyebiliriz.

Şekil 3.15.b'de TAG80 kodlu bentonit-poli(N-vinil pirolidon) hibrit materyaline ait olan SEM fotoğrafı görülmektedir. Bu fotoğrafa göre hibrit materyal homojen bir yapıya sahiptir. Hatta polimer ve bentonitin kristal yapısından farklı bir yapıda kristallenmiştir. Şekil 3.15.e(I)deki XRD difraktogramına baktığımızda bentonitin  $12.2^{\circ}$ daki  $001$  pikinin tamamen kaybolduğunu  $3.2^{\circ}$ da ise yeni bir pikin açığa çıktığını görmekteyiz.

Şekil 3.15.c'de sırasıyla, (I) hibrit materyalin (TAG80), (II) bentonitin, (III)A-174-poli(N-vinil pirolidon)nun (TAG82) ve (IV) poli(N-vinil pirolidon)nun (TAG83) FTIR spektrometrları görülmektedir. (IV)te yani polimere ait olan FTIR spektrometrlarında görülen pikler şu şekildedir:  $3600\text{-}3200\text{cm}^{-1}$  hidrojen bağlı N-H pikleri;  $3000\text{ cm}^{-1}$  ve  $2500\text{-}2400\text{ cm}^{-1}$  C-H pikleri;  $1720\text{ cm}^{-1}$  C=O pikleri ve  $1300$ ,  $1500\text{ cm}^{-1}$  C-N pikleridir. Aynı pikler şiddeti değişik de olsa, (I)de ve (III)de yani hibrit materyalde (TAG80) ve A-174 ile olan kopolimerizasyonunda (TAG82) aynı yerlerde görülmektedir. Hibrit materyaldeki bu pikler bütün yıkamalara rağmen uzaklaşmadan ortamda kalmaları, polimerik kısmın bentonite bağlanmış olduğunun bir delilidir. Ancak, (II)deki yani bentonite ait olan FTIR spektrometrlarındaki  $3693\text{-}3620\text{ cm}^{-1}$ deki OH piklerinin (I)de olmayışı bağlanması kovalent bağ ile olduğunu göstermektedir.

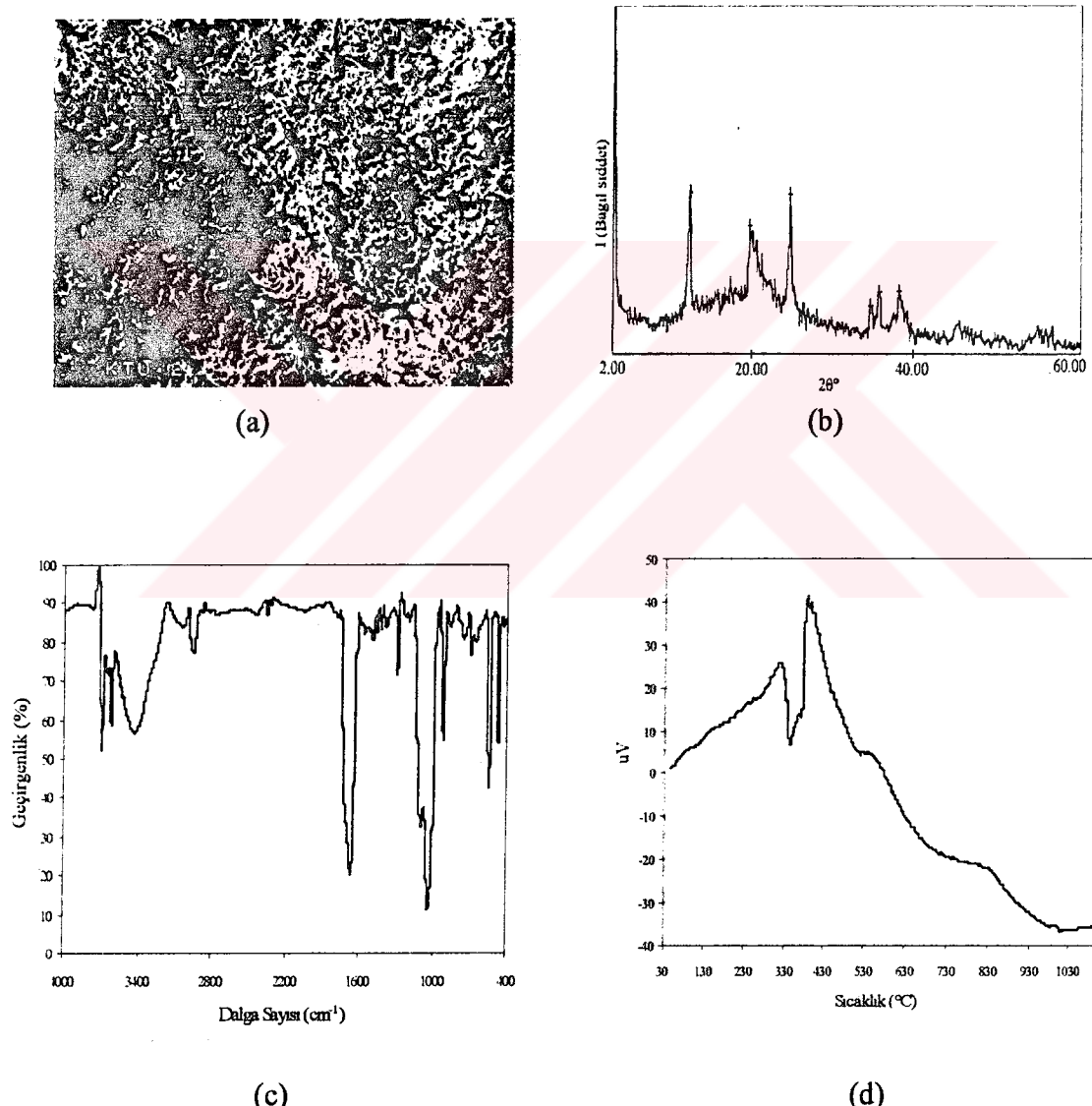
Kovalent bağlanması olduğuna dair diğer deliller ise şekil 3.15 d(I) ve e(I)de görülen DTA ve XRD pikleridir. d(II)de  $530^{\circ}\text{C}$ 'de görülen dehidroksilasyon piklerinin d(I)de olmayışı ortamada OH gruplarının kalmadığını göstermektedir.

e(II)de görülen 001 pikinin ise e(I)de görülmeyiği ve 002 ile 012 piklerinin şiddetlerinin değişmiş olması, klinik tabakalı yapısının değiştigini yani kovalent bağlanmanın olduğunu göstermektedir.

Şekil 3.15.d'deki TAG80'e ait termogramdaki 200°C civarlarındaki endotermik pike karşılık gelen ve 3.15.f'de görülen TGA termogramında, ortamındaki suyun uzaklaşmasından kaynaklanan %40'luk bir kütle kaybı vardır. Hibrit materyalin polimerik kısmı 300-350°C arasında erimekte ve 350-500°C arasında bozunmaktadır. Bu da DTA termogramında önce, bir endotermik sonra da bir ekzotermik pikin meydana gelmesine yol açar. Bu olaylar, TGA termogramında 350-500°C aralığında %50'luk bir kütle kaybıyla kendini gösterir.

### 3.12. Kaolin-poli(N-Vinil pirolidon) hibrit materyalinin karakterizasyonu

Kaolin-Poli(N-vinil pirolidon) hibrit materyalleri (TAG84 ve 85) bölüm 3.11'de ifade edildiği gibi sentezlenmiş ve analizlenmiştir. Sonuçlar ise şekil 3.16'da gösterilmiştir.



Şekil 3.16: Kaolin-Poli(N-vinil pirolidon) hibrit materyalinin (TAG84) (a) SEM fotoğrafı, (b) X-Ray difraktogramı, (c) FTIR spekturumu ve (e) DTA termogramı

Şekil 3.16. a'da görülen hibrit materyalin SEM fotoğrafında homojen bir dağılım görülmektedir. Bu fotoğraf şekil 3.15.a'da görülen poli(N-vinil pirolidon) (TAG83) ve 3.1.f'de görülen kaolinin SEM fotoğraflarından ayrı bir görünüm sahiptir. Ancak kaolinin fotoğrafına daha çok benzemektedir.

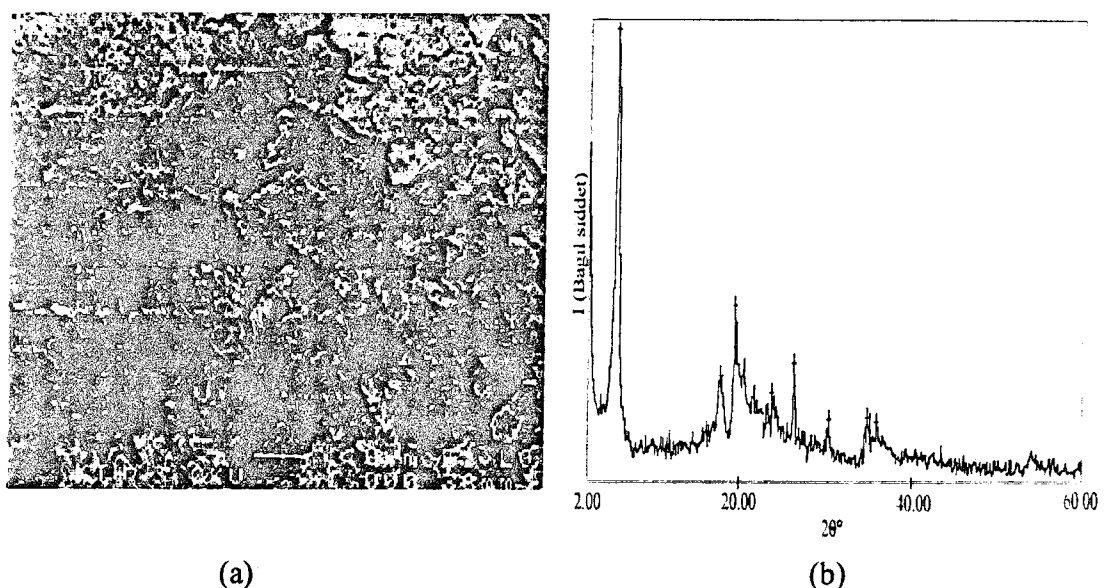
3.16.b'de görülen XRD difraktogramında 001 pikinin ve c'de görülen FTIR spekturmunda OH piklerinin şiddetlerinin şekil 3.15'dekilere kıyasla çok az düşmüş olması ve e'deki DTA termogramında 530°C'de kilin dehidroksilayon pikinin az da olsa var olması kovalent bağlanmanın tam olmadığını göstermektedir. Ancak, şekil 3.15.c(IV)de görülen polimere ait karakteristik piklerin c'de görülmesi polimerik kısmın kilin tabakaları arasına da girmiş olabileceğini göstermektedir.

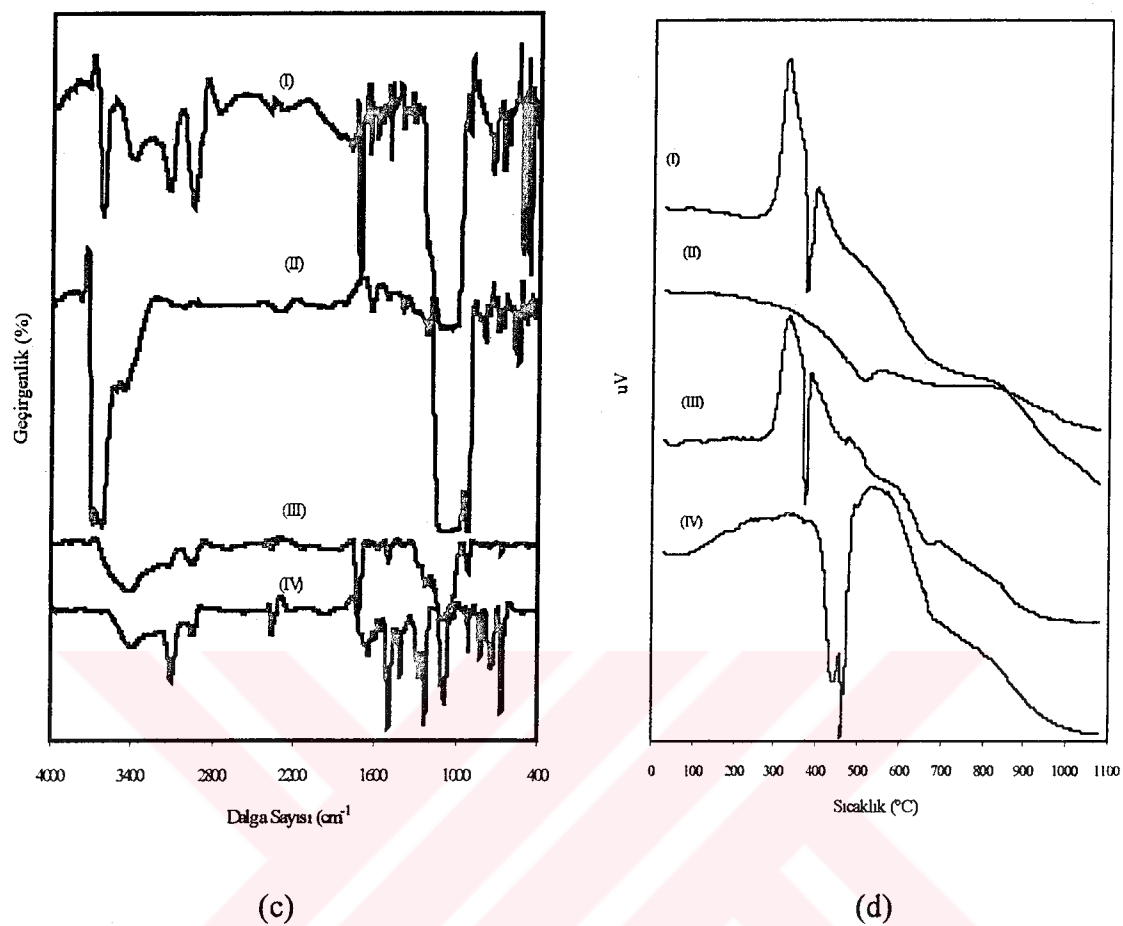
### 3.13.Bentonit/Kaolin-Poli(1-Vinil imidazol) Hibrit Materyallerinin Karakterizasyonu

Bentonit/Kaolin-poli(1-vinil imidazol) hibrit materyalleri, bölüm 2.4 ve şema 2.4'te ifade edildiği şekilde ve tablo 3.9'da verilen oranlarda sentezlendikten sonra örnekler, bölüm 2.4'te anlatıldığı gibi ortamdaki olası safsızlıklar uzaklaştırıldıktan sonra farklı kısımlara ayrılarak analizleri yapılmıştır. Yapılan analiz sonuçları şekil 3.17 ve 3.18'de gösterildiği gibidir.

Kod	Bentonit	Kaolin	A-174	1-vinil imidazol	Çözücü
TAG86	1	-	1	1	-
TAG87	1	-	1	2	-
TAG88	-	-	1	1	-
TAG89	-	-	-	1	-
TAG90	-	1	1	1	-
TAG91	-	1	1	2	

Tablo 3.9: Bentonit/Kaolin-Poli(1-Vinil imidazol) Hibrit Materyallerinin sentezinde kullanılan kimyasal maddelerin (w/w) oranları





Şekil 3.17: Bentonit-poli(1-vinil imidazol) hibrit materyalinin (TAG86) (a) SEM fotoğrafı, (b) XRD difraktogramı, (c) FTIR spektrumu ve (d) DTA termogramı

Şekil 3.17.a'da görülen SEM fotoğrafından görüldüğü gibi hibrit materyal (TAG86), homojen ve kristalin bir yapıya sahiptir. Materyalin kristalin olduğunu ve bentonite kovalent bağ ile bağlanmış olduğunu b'de görülen XRD difraktogramından anlayabiliriz. XRD difraktogramında, bentonite ait olan 001 pikinin şiddeti oldukça düşmüş ve saf bentonitte olmayan ancak hibrit materyalde mevcut olan 5 20°daki pik, hibrit materyalin yeni ve farklı bir kristal yapıya dönüştüğünü göstermektedir.

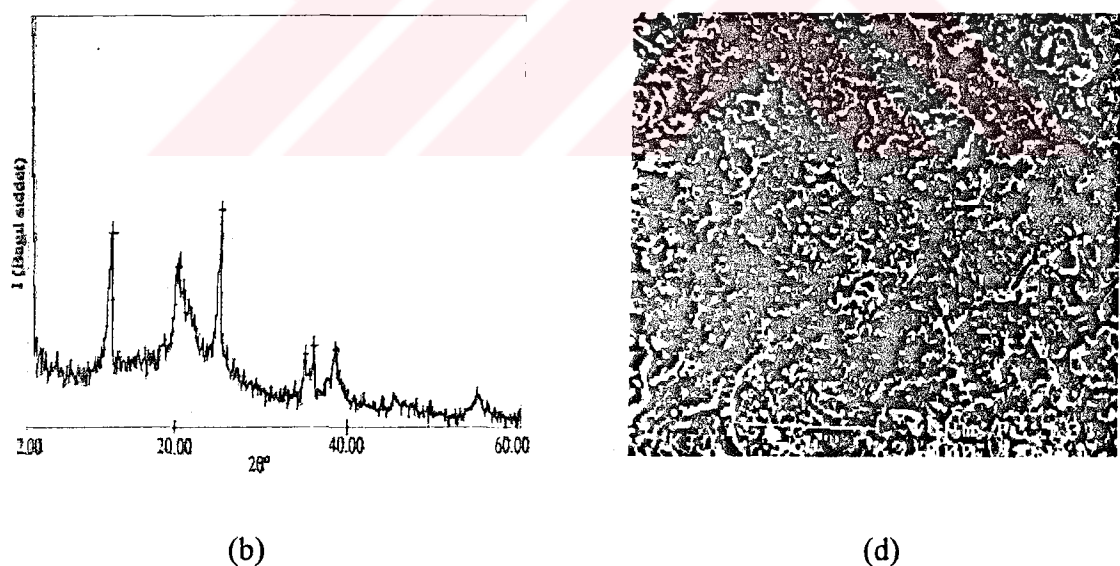
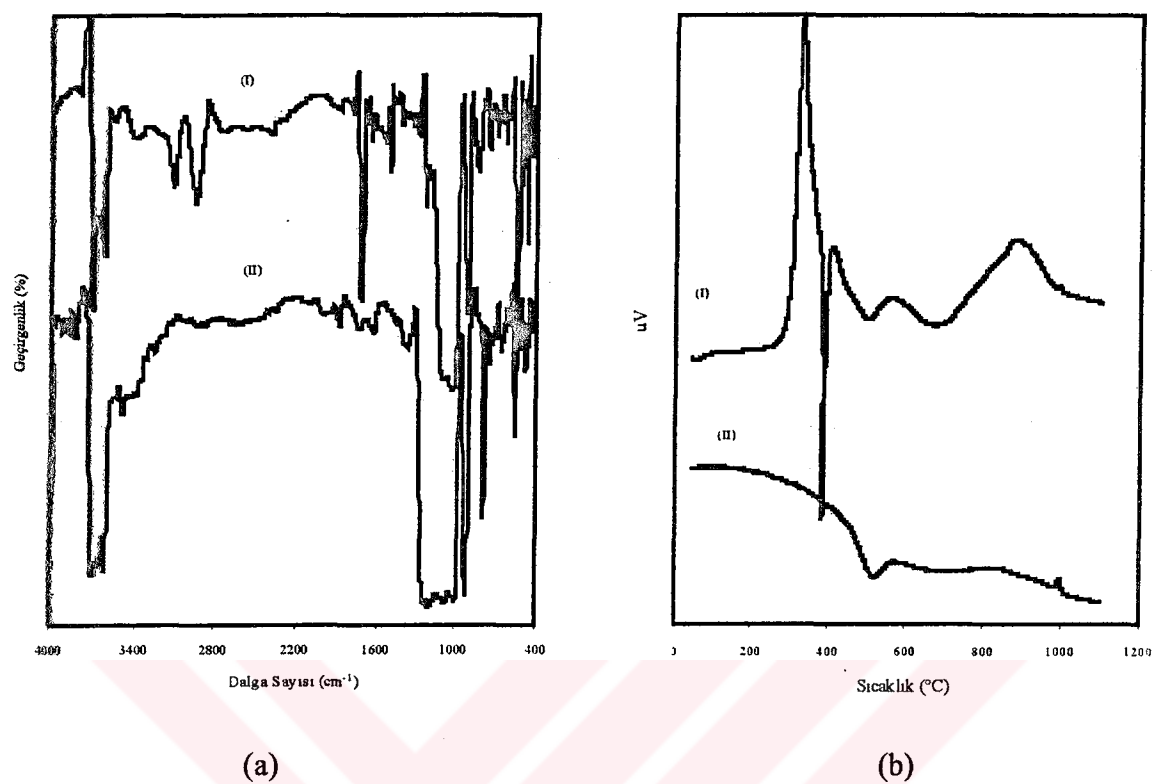
3.17.c'deki FTIR spektrumları ve d'deki DTA termogramları sırasıyla (I) hibrit materyale (TAG86), (II) saf bentonite, (III) poli(1-vinil imidazol)-A-174

kopolimerine (TAG88) ve (IV) ise poli(1-vinil imidazol)e (TAG89) ait bulunmaktadır.

3.17.c.(IV)'te görülen ve poli(1-vinil imidazol)e (TAG89) ait olan FTIR spekturmundaki  $3040\text{ cm}^{-1}$ 'de imidazol halkasındaki C-H ve  $2980\text{ cm}^{-1}$ 'deki pikler ise vinilik C-H titreşimlerine aittir.  $1620$ - $1670\text{ cm}^{-1}$  aralığında gelen pikler C=N gerilmesi ve  $1590$ - $1100\text{ cm}^{-1}$  aralığındaki pikler ise imidazol halkasındaki R-C=N gerilme pikleridir. Ayrıca  $3400\text{ cm}^{-1}$ 'de gelen geniş band ise ya ortamda kalan sudan ya da hidrojen bağlı N-H titreşimlerinden veya her ikisinden de kaynaklanabilir.

Aynı pikler, şiddetleri değişik de olsa c(III)'te de (TAG88) görülmektedir. Ayrıca c(III)'te,  $1720\text{ cm}^{-1}$ 'de C=O titreşimlerinden kaynaklanan pikler de görülmektedir. Anlatılan bu pikler, c(I)'de de (TAG86) görülmektedir. Ancak c(II)'de olup ta c(I)'de olmayan bentonite ait OH pikleri  $3693$ - $3620$  ve  $999$ - $918\text{ cm}^{-1}$  hibrit materyalin kovalent bağlanması olduğunu göstermektedir.

d(IV)'te görülen DTA termogramında, poli(1-vinil imidazol) polimerinin (TAG89)  $430^{\circ}\text{C}$ 'de camsı geçiş ve  $460^{\circ}\text{C}$ 'de ise erime sıcaklığı görülmektedir.  $500^{\circ}\text{C}$ 'nin üzerinde ise polimerin bozunduğu görülmektedir. d(III)'te görülen kopolimere ait (TAG88) DTA termogramında ise, homopolimerden çok farklı bir yapı görülmektedir. Kopolimerin  $350^{\circ}\text{C}$ 'de kristallendiği,  $400^{\circ}\text{C}$ 'de eridiği ve sonra da bozunduğu görülmektedir. Kopolimerin (TAG88) termal özellikleri, hibrit materyalde de (TAG86) görülmektedir. Ancak, bentonitin termogramında görülen ve hibrit materyalin termogramında görülmeyen dehidroksilasyon pikleri ise kovalent bağlanması olduğunu göstermektedir.



Şekil 3.18: Kaolin-poli(1-vinil imidazol) (TAG90) hibrit materyalinin, (a) FTIR spekturumu, (b) DTA termogramı, (c) XRD difraktogramı ve (d) SEM fotoğrafı

Şekil 3.18.a(I)'de görülen FTIR spekturmalarından anlaşıldığı üzere, bağlanmanın tam olmadığı görülmektedir. Çünkü, OH pikleri TAG86'da olduğu gibi büyük bir düşüse sahip değildir. Ancak yukarıda anlatıldığı gibi ve poli(1-vinil imidazol)e ait olan piklerin hibrit materyalde mevcut olması, polimerin kovalent bağlanmadan ziyade kaolinin tabakaları arasına girmiş olabileceğini düşünebiliriz.

b(I)'de görülen hibrit materyalin (TAG90) DTA termogramı yukarıda anlatılan TAG88 piklerine benzemekte ancak burada kaoline ait olan 530°C'deki dehidroksilayon pikinin mevcut olması, polimerin kovalent bağlanmadan ziyade tabakalar arasına girdiğini göstermektedir. c'de görülen XRD difraktogramından da görüleceği gibi pik şiddetlerinde diğer örneklerdeki gibi önemli bir düşüş mevcut değildir. SEM fotoğrafı ise kaolin ile polimer arasında homojen bir dağılımın olduğunu göstermektedir.

Polimer-kil hibrit materyallerinin değişik sayıda uygulamaları söz konusudur. Polimer ve kil, özellikleri aynı materyalde birleştirildiğinde kompleks fiziksel özellikler bir arada olabilmektedir. Bu özelliklerin optimize edilmesi için moleküller yapının ve özelliklerin kontrollü olarak hazırlanması gerekmektedir.

Polimerler yapısal özelliklerinden dolayı, farklı alanlarda kullanılmakta ve özellikle fonksiyonel grup içeren polimerler, moleküler özellik ve fiziksel özelliklerinden ötürü tercih edilmektedir. Poli(1-vinil imidazol) (PVI) ters ozmoz membranlarından test edilmiştir. Homopolimerik poli(1-vinil imidazol), sudaki çözünürlüğü, hazırlanma kolaylığı ve polimer yan zincirindeki fonksiyonellikten ötürü potansiyel fonksiyonel polimer olarak seçilmiştir.

Yapısal karakterizasyonu yapılan poli(1-vinil imidazol)-kil örnekleri membran çalışmalarında kullanılabilcek düzeydedir. Kilin hidrofilik yapısının A-174 ile hidrofobik yapılması ile PVI-kil örneklerinin membran olarak kullanılabilmesi için tuz formuna çevrilmesi gereği yapılan çalışmalarla belirtilmiştir. Kil-PVI sistemlerinin membran özelliklerinin olduğu açıkça görülmekte, ancak optimum koşulların belirlenmesi için ileri denemelerin yapılması gerekmektedir.

#### 4. SONUÇ

Sol-jel prosesi kullanılarak sentezlenen kil-polimer hibrit materyallerinin hazırlanmasında aşağıdaki aşamalar gerçekleştirılmıştır:

- 1.) Kil örnekleri olarak yurdumuzda mevcut kaolin, bentonit, vb. mineraller seçilmiş ve standart örneklerle karşılaştırılmalı şekilde saflaştırma ve karakterizasyon işlemleri yapılmıştır. Bu amaçla XRD, DTA, DSC, TGA, FTIR ve SEM analizleri ve elementel analizleri yapılarak, mineraller sınıflandırılmıştır.
- 2.) Dolgu maddesi olarak kullanılan silan A-174 yapıya doğrudan kovalent olarak bağlanmış ve bağlanma mekanizması XRD, DTA ve FTIR ile gösterilmiştir. Ayrıca killerin yüzey ve tabakalar arası hidroksil grupları ile etkileşimleri, kaolin ve bentonit için yukarıda bahsedilen teknikler ile ayrı ayrı karakterize edilmiştir.
- 3.) Sol-jel prosesi kullanılarak (deneysel koşulların uygunluğundan dolayı tercih edilmiştir) çok sayıda kil-polimer hibrit materyali (polistiren, poli(akrilik asit), poli(metakrilik asit), poli(vinil imidazol), poli(vinil piridin), poli(vinil pirolidon)) hazırlanmıştır.
- 4.) Hazırlanan kil-polimer hibrit materyalleri yukarıda bahsedilen teknikler ile karakterize edilmiş olup, kil-A-174'e polimerlerin de bağlandığını ve bunun sonucu olarak hibrit materyallerin oluştuğunu göstermiştir.
- 5.) Kil-polimer hibrit materyallerinin hazırlanmasında çözüçülü ve çözücsüz olmak üzere iki farklı yöntem uygulanmış ve elde edilen materyallerin karakterizasyonlarından çözücsüz ortamlardaki reaksiyonların daha ilimli gerçekleştiği saptanmıştır.
- 6.) Hazırlanan bu materyallerden Poli(vinil piridin), poli(vinil pirolidon) ve poli(vinil imidazol) hibrit materyalleri çevre, endüstri ve evsel atıkların temizlenmesinde denenmiştir. PVP-kil hibrit materyalinin bakterilere karşı davranışları araştırılmış ve çevre kirliliği açısından önemli olan *Escherichia coli*,

*pseudomonas aeruginosa* ve *staphylococcus aureus* bakterilerinin uzaklaştırılmasında denenmiştir. Membran olarak denenen polimerler için ön çalışmalar tamamlanmıştır. Fenol ve türevlerinin atıklardan temizlenmesi için denen materyal olumlu sonuç vermiştir. Yapılan çalışmalardan, literatürlerdeki benzer çalışmalarda elde edilen sonuçlardan daha olumlu sonuçlar elde edilmiştir.

## 5. ÖNERİLER

- 1.) Bu çalışma, proje kapsamında devam edecek olup tıp ve çevre uygulamaları için yapılacak araştırmalar daha sonra tamamlanacaktır.
- 2.) Gelişen teknolojik koşullarda hızla ivme kazanan sol-jel materyallerinin önemi büyüktür. Bu sebeple poliimit-kil, polibenzimidazol-kil, poliamid-kil sistemleri üzerinde planlanan çalışmalar ise devam etmektedir.
- 3.) Elde edilen bu materyallerin endüstride kullanım alanları açısından tam karakterizasyonları (organik çözücüler ile etkilşimleri ve mekanizması, mekanik dayanım testleri) yapılabilir.
- 4.) Bu gerçekleştirildikten sonra, kimya mühendisliği ile ortak olacak şekilde bu materyallerin kütle ve ısı transferi deneyleri ve kullanım alanlarına yönelik çalışmalar gerçekleştirilebilir.
- 5.) Tezde çalışılan kaolinit ve bentonit dışındaki diğer kil mineralleri ile (özellikle asbest) yeni kil-polimer hibrit materyallerin sentezi gerek çevre gerekse endüstri açısından önemli olabilir.

## 6. KAYNAKLAR

1. Low I.M., Suherman P.M., Phillips P.N., J. Mater. Sci. Letter 16 (1997) 982-984
2. Pal D., Chakraborty K., Sen S., Sen S.K., J. Mater. Sci. 31 (1996) 3995-4005
3. Schmidt H., Phillip G., J. Non-Cryt. Solids 63 (1984) 283
4. Makita K., Nogami M., Abe Y., J. Mater. Sci. Letters 16 (1997) 550-552
5. Kron J., Schwab S.A. Schottner G., J. Sol-Gel Sci. Tech. 2 (1994) 189-192
6. Schwerfwger F., Husing N., Schubert U., J. Sol-Gel Sci. Tech. 2(1994)103-108
7. Schwerfwger F., Glaubitt W., Schubert U., J. Non-Cryst. Solids 145 (1992) 82
8. Yaz Okulu Ders Notları ODTÜ 1998 Ankara
9. Seçkin T., Önal Y., Aksoy İ., Yakıncı M.E., J. Mater. Sci. 31 (1996) 3123
10. Pişkin E., Polimer Teknolojisine Giriş. İnkılâp Kitapevi 1987 İstanbul
11. Hazer B. Polimer Teknolojisi. Karadeniz Teknik Ünv. Basımevi 1993 Trabzon
12. Baysal B. Polimer Kimyası, Orta Doğu Teknik Ünv. Basımevi 1994 Ankara
13. Akovalı G. Temel ve Uygulamalı Polimer Yaz Okulu Ders Notları 1984 Ankara
14. Flory P.J. Principles of Polymer Chemistry, Cornell, Ithaca New York 1953
15. İlter Z. Doktora Tezi, Fırat Ünv. Fen Bilimleri Enstitüsü 1997 Elazığ
16. Mackenzie J.D., Non-Cryst. Solids. 100 (1988) 162
17. Brinker C.J., Scherer G.W. Sol-Gel Science The Physics and Chemistry of Sol-Gel Processing. Academic Press, Inc. 1990 USA
18. Schroder H. Phys. Thin Films 5 (1969) 87-141
19. Walter H., Rose. K., Glaubitt W., Mat. Res. Soc. Symp. Proc. 271(1992)731-736
20. Schmidt H. ACS Symp. Ser. No: 360 Inorganic and Organometallic Polymers (1988) 333
21. Woodhead J.C., Silicate Ind. 37 (1972) 191-194
22. Dislich H. Angewandt Chemie 10,6 (1971) 363-370
23. Vaquelin L.N., Ann. Chim. Phys. 22, 1, 179 In: Pope E.J.A., Sakka S., Klein L.C. Sol-Gel Science and Tech. Ceramic Transactions Vol.55 American Ceramic Soc. 1994 U.S.A.
24. Berthier P. Ann. Chim. Phys. 50,2, 362 In: Pope E.J.A., Sakka S., Klein L.C. Sol-Gel Science and Tech. Ceramic Transactions Vol.55 American Ceramic Soc. 1994 U.S.A.

25. Chroustechoff K.V. Bull. Acad. St. Petersburg 35,3, 343 In: Pope E.J.A., Sakka S., Klein L.C. Sol-Gel Science and Tech. Ceramic Transactions Vol.55 American Ceramic Soc. 1994 U.S.A.
26. Kistler S.S., J. Phys. Chem. 36, (1932) 52-94
27. Ebelman J.J. Ann. Chim. Phys. 16, 3, 129 In: Pope E.J.A., Sakka S., Klein L.C. Sol-Gel Science and Tech. Ceramic Transactions Vol.55 American Ceramic Soc. 1994 U.S.A.
28. Grimaux E. Compt. Rend. 98, 105 In: Pope E.J.A., Sakka S., Klein L.C. Sol-Gel Science and Tech. Ceramic Transactions Vol.55 American Ceramic Soc. 1994 U.S.A.
29. Grimaux E. Bull. Soc. Chim. 42, 2, 50 In: Pope E.J.A., Sakka S., Klein L.C. Sol-Gel Science and Tech. Ceramic Transactions Vol.55 American Ceramic Soc. 1994 U.S.A.
30. King G., Threlfull R. "Material For Forming Coatings, For Use As Impregnating Agents of For Like Purposes" U.S. Patent 1, 809, 755 In: Pope E.J.A., Sakka S., Klein L.C. Sol-Gel Science and Tech. Ceramic Transactions Vol.55 American Ceramic Soc. 1994 U.S.A.
31. King G. Paint Man 1, 16-20, 52-55 In: Pope E.J.A., Sakka S., Klein L.C. Sol-Gel Science and Tech. Ceramic Transactions Vol.55 American Ceramic Soc. 1994 U.S.A.
32. Bole G.A. "Ceramic Process" U.S. Patent 2, 603, 570 In: Pope E.J.A., Sakka S., Klein L.C. Sol-Gel Science and Tech. Ceramic Transactions Vol.55 American Ceramic Soc. 1994 U.S.A.
33. McLachlan D. "Method of Preparing Finely Comminuted Oxides" U.S. Patent 2, 269, 054 In: Pope E.J.A., Sakka S., Klein L.C. Sol-Gel Science and Tech. Ceramic Transactions Vol.55 American Ceramic Soc. 1994 U.S.A.
34. McLean S. " Method of Forming A Transparent Reflection reducing Coating On Glass and The Article Resulting Therefrom" U.S. Patent 2, 639, 999 In: Pope E.J.A., Sakka S., Klein L.C. Sol-Gel Science And tech. Ceramic Transactions Vol.55 American Ceramic Soc. 1994 U.S.A.
35. Kirk J.S. " Chemical Process And Products" U.S. Patent 2, 395, 880 In: Pope E.J.A., Sakka S., Klein L.C. Sol-Gel Science and Tech. Ceramic Transactions Vol.55 American Ceramic Soc. 1994 U.S.A.

36. Kimberlin C.N. "Preparation of Alumina By Burning" U.S. Patent 2, 754, 176 In: Pope E.J.A., Sakka S., Klein L.C. Sol-Gel Science and Tech. Ceramic Transactions Vol.55 American Ceramic Soc. 1994 U.S.A.
37. Fitch F.T., Sanchez M.G., Vanik M.C. "Improvements Relating To Hydrous Oxide Sols" British Patent 905, 919, In: Pope E.J.A., Sakka S., Klein L.C. Sol-Gel Science and Tech. Ceramic Transactions Vol.55 American Ceramic Soc. 1994 U.S.A.
38. Schroder H. "Transperant, Conductive, Reflection-Reducing Coatings On Non-Conductive Objects And Method" U.S. Patent 3, 094, 436 In: Pope E.J.A., Sakka S., Klein L.C. Sol-Gel Science and Tech. Ceramic Transactions Vol.55 American Ceramic Soc. 1994 U.S.A.
39. Dislish H., Hinz P., Kaufmann R. FRG Patent 19, 41 191 In: Pope E.J.A., Sakka S., Klein L.C. Sol-Gel Science and Tech. Ceramic Transactions Vol.55 American Ceramic Soc. 1994 U.S.A.
40. Dislish H., Hinz P., J. Non-Cryst. Solids 48 (1982) 11
41. Phillip G., Schmidt H., Patzelt H. DP 3636 716, 15.10.1998
42. Treadway G.D. U.S. 4 378 250, Mar. 1983
43. Sanchez G.C., Alonso B. J. Sol-Gel Sci. Tech. 2 (1994) 189-192
44. Sanchez C. And In M.J. H. J. Non-Cryst. Solids 1 (1992) 147-148
45. Mackenzie J.D. J. Non-Cryst. Solids. 100 (1988) 162
46. Augusta S., Gruber H.F., Streicher F. J. Appl. Polym. Sci. 53(1994) 1149
47. Ohta O., Nakazawa H. Appl. Clay Sci. 9(1995) 177
48. Akelah A., Moet A. Apply. Polym. Symp. 55(1994) 153
49. Novak B.M., Grubbs R.H. J. Am. Chem. Soc. 110(1988) 7542
50. Wang S.B., Mark J.E. Polym. Prep. Am. Chem. Soc. Div. Polym. Chem. 32(1991) 523
51. Schmidt H. Mater. Res. Soc. Symp. Proc. 32(1984) 327
52. Grim R.E. Clay Mineralogy 2<sup>nd</sup> Ed. McGrawHill Book Company U.S.A. 1953
53. Assemi S., Erten N. J. Radioanalytical and Nuclear Chem. Articles 178, 1 (1994) 193-204
54. Anngeles E., Ramirez A., Martinez I., Moreno E. J. Chem. Ed. 71,6(1994) 533
55. Comets J.M., Kevan L. J. Phys. Chem. 97(1993) 12004-12007
56. Shah N.F., Sharma M.M. Reactive Polymers 20(1993) 47-56

57. Charlet L., Mancean A. *Geochimica et Cosmochimica Acta.* 58, 11 (1994) 2577-2582
58. Putyera K., Bandosz T.J., Jaigello J., Schwarz J.A. *Clay And Clays Minerals* 42, 1 (1994) 1-6
59. Anderson J.A., Rodrigo M.T., Daza L., Mendiroz S. *Langmuir* 9 (1993) 2485-2490
60. Rosa M.F., Brussin D. *Catal. Rev. Sci. Eng* 37,1(1995)1-100
61. Ceylan H., Yıldız A., Sarıkaya Y. *Doğa-Tr. J. Chemistry* 17(1993)267-272
62. Weaver C.E., Pollard L.D. *The Chemistry Of Clay Minerals.* Elsevier Sci. Publishing Company, Amsterdam 1973
63. Newman A.C.D. *Chemistry Of Clays And Clay Minerals.* Longman Sci. And Tech. New York 1990
64. Grimshaw R.W. *The Chemistry And Physics Of Clays And Allied Ceramic Materials* 4<sup>th</sup> Ed. Halsted Press, Great Britain 1980
65. Eitel W: *Silicate Science (Vol. 1. Silicate Structure)* Academic Press 1964 London
66. Theng B.K.G. *Clay-Activated Organic Reactions* In: *International Clay Conference* 1981
67. Keattch C.J., Dollimore D. *An Introduction To Thermogravimetry* 2<sup>nd</sup> Ed. Whitefriars press Ltd. U.K. 1975
68. İncekara Grubu Termal Analiz Seminer Notları 23-24 Mart 1995 TSE/Ankara
69. Dodd J.W., Tonge K.H., Currell B.R. *Thermal Methods.* John Wiley and Sons 1987 Great Britain
70. Pope M.I., Judd M.D. *Differential Thermal Analysis* Heyden & Son Ltd. 1980 Great Britain
71. Schimadzu Stand Alone Thermal Analysis System Application Into Polymeric Materials (1)
72. Schimadzu Stand Alone Thermal Analysis Instruments (Katalog)
73. All You Wanted To Know About Electron Microscopy. Phillips Electron Optics ISBN No: 90-907755-3
74. Ögel B., Bor \$. Elektron Mikroskopik Teknikleri ODTÜ Yaz Okulu Ders Notları 1998 Ankara
75. Observation Of Water Containing Specimens SEM Method. JEOL Application Note Scanning Microscope

76. Cullity B.D. Element Of X-RAY Difraction Addison-Wesley Pub. Company, Inc. U.S.A. (1978)
77. Kittel C., Introduction To Solid State Physics. John Wiley and Sons, Inc. 6<sup>th</sup> Ed. (1986)
78. Durlu T.N. Katıhal Fiziğine Giriş. Se Ofset Ltd. Ankara (1992)
79. Gediklioğlu A. Atom ve Çekirdek Fiziğine Giriş. T.C. İnönü Üniv. Temel Bilimler Fak. Yayınları No:1 Malatya (1981)
80. Wilson M.J. Clay Mineralogy: Spectroscopic And Chemical Determinative Methods. Chapman & Hall Great Britain (1995)
81. Williams D.H., Fleming I. Spectroscopic Methods In Organic Chemistry 4<sup>th</sup> Ed. McGraw (1987)
82. Erdik E. Organik Kimyada Spektroskopik Yöntemler Gazi Büro Kitapevi Ankara (1993)
83. Kojima Y., Usuki A. and et al J. Polymer Sci. Part B: Polymer Phys. 32(1994)625-630
84. Kojimata T., Matsuoka T., Takahashi H., Kurauchi T. J. Materials Sci. Letters 12(1993) 1714-1715
85. Ariga K., Okahata Y. J. Am. Chem. Soc. 111(1989)5618-5622
86. Fitch A., Krzysik R.J. J. Electroanalytical Chem. 379(1993)129-134
87. Labbe P., Brahimi B., and et al J. Electroanalytical Chem. 379(1994) 103-110
88. Kuo P.L., Wey B.S. J. Applied Polymer Sci. 50(1993)95-105
89. Michot L.J., Barres O., Hegg E.L., Pinnavaia T.J. Langmuir 9(1993)1794-1800
90. Ohashi H., Nakazawa H. Clay Minerals 31(1996) 347-354
91. Szabo A., Gournis D., Karakassides M.A., Petridis D. Chem. Mater. 10 (1998) 639-645
92. Chen J., Anandaraojah A. Clay and Clay Minerals 46,2(1998)145-152
93. Yücel A. Malatya İlindeki Bentonit Kaynaklarının Ön Teknik Raporu M.T.A. Bölge Müdürlüğü (1973) Malatya
94. Novak B.M., Ellsworth M., Davies C. Extended Abstracts. Joint Seminar On Inorganic And Organometallic Polymers, Japan-US (1991) 160
95. Messermith P.B., Stupp S.I. Polym. Prep. ( Am. Chem. Soc. Div. Polym. Chem.) 32(1991)536

96. Scheafer D.W., Keefer K.D. Mater. Res. Symp. Proc. 32(1984) 1
97. Schmidt H. J. Non-Cryst. Solids. 100(1988)51-64
98. Voronkov M.G., Laurentiyev V.I. Top. Curr. Chem. 102(1982)199
99. Raman N.K., Brinker C.J., Membr. Sci. 105(1995)273
- 100.Schmidt H., In: Mat.res. Soc. Symp. Proc. 32(1984)327-335
- 101.Schmidt H. J. Sol-Gel Sci. Tech. 1(194)217-231
- 102.Wilkes G.L., Wang B. And et al Mat. Res. Soc. Symp. Proc. 171(1990)15
- 103.Schmidt H., Scholze H., Türker G. J. Non-Cryst. Solids 80(1989)557
- 104.Mark J.E., Pan S.I. Makromol. Chem. Rapid Commun. 3;(1982)681
- 105.Mehrota V., Kiddie J.L., Miller J.M., Giannelis E.P. J. Non-Cryst. Solids 97(1991)136
- 106.Zarzycki J. J. Non-Cryst. Solids 82(1986)
- 107.Nass R., Arpaç E., Glaubitt W., Schmidt H. J. Non-Cryst. Solids 121 (1990) 370-374
- 108.Sanchez C., Alonso B., Chapusot F., Ribot F. J.Sol-Gel Sci. And Tech. 2(1994)161-166
- 109.Tipton T., Gerdom L.E. Clay and Clay Minerals 40(1992)429
- 110.Papier E., Perrin J.M., Nanse G., Fioux P. Eur. Polym. Journal 30(1994)985
- 111.Akelah A., Moet A. Appl. Polym. Symp. 55(1994)153
- 112.Carola H., Caris M., and et al British Polymer Journal 21(1989)133
- 113.Kojima Y., Matsuoka T., Takahashi H., Kurauchi T. J.Mat. Sci. Letters. 12(1993)1714-1715
- 114.Yano K., Usuki A., Okada A. J.Poym. Sci A: Polym. Chem. 35(1997)2289-2294
- 115.Deng C., James P.F., and et al J.Mater. Chem. 8(1998)153
- 116.Popall M., Kappel J. and et al J. Sol-Jel Sci. Tech. 2(1994)157-160
- 117.Lesot P., Chapinus C., and et al J. Mat. Chem. 8,1(1998)147
- 118.Ogaura M., Ishikawa A. J.Mat.Chem. 8,2(1998)463
- 119.Cordoncilla E., Eseribono P., Sanchez C. J. Mat. Chem. 8,3(1998)507
- 120.Verburg K. Baveye P. Clay and Clay Minerals 42,2(1994)207-220
- 121.Zhao D., Yang Y., Guo X. Mat. Res. Bull. 28(1993)939-949
- 122.Mokaya R., Jones W. J.Chem. Soc. Chem. Com. (1994) 929-930
- 123.Cativiela C., Figureas F., and et al Applied Cat. A: General 101 (1993) 253- 267

- 124.Sharma G.V.M., Ventuta K.C. and et al Tetrahedron: Assymetry 5,10(1994)1905-1908
- 125.Angeles E., Ramirez A. J.Chem. Education 71,6(1994)533
- 126.Assemi S., Erten H.N. J. Radioanalytical and Nuclear Chem. Articles, 178,1(1994)193-204
- 127.Keldson G.L., Nicholas J.B. And et al J.Phys. Chem. 98(1994)279-284
- 128.Theng B.K.G. The Chemistry of Clay-Organic Reakctions John Willey&Sons U.S.A. 1974
- 129.Nemecz E. Clay Minerals Akademiai Kiado, Budapest 1981
- 130.Jackson M.L. Soil Chemical Analysis-Advanced Course. University Of Wisconsin, U.S.A. (1956)
- 131.Hey M.H. Mineralogy Mag. 46(1982)111-118
- 132.Wiegmann J., Horte C.H., Kranz G. International Clay Conference (1981) 365-372
- 133.Marel H.W., Beutelspacher H. Atlas Of Infrared Spectroscopy Of Clay Minerals And Their Admixtures. Elseiver Sci. Publishing Company. New York 1976
- 134.Van Der Gaost S.J., Frakema W. International Laboratory News August(1996)8
- 135.Moore D.M., Reynolds R.C. X-ray Diffraction Identification and Analysis Of Clay Minerals Oxford Univ. Press (1989) Oxford
- 136.Zbik M., Smart R.S.C. Clay And Clay Minerals 46,2(1998)153-160
- 137.Seçkin T., Gültek A., Önal Y., Yakıcı E., Aksoy İ. J. Mater. Chem. 7,2(1997)265-269
- 138.Seçkin T., Önal Y., Yeşilada Ö., Gültek A. J.Mater. Sci. 32(1997)5993-5999
- 139.Seçkin T., Önal Y., Gültek A., Yakıcı M.E. J. Mater. Sci. (Baskıda)
- 140.Önal Y., Seçkin T., Gültek A., Yakıcı M.E. J. Mater. Chem. (Baskıda)
- 141.Kawabata N., Hayashi T., Matsumoto T. Appl. Env. Mikrobiol. 46(1983)203
- 142.Kawabata N., Nakagawa K. J. Mikrobiol. Methods. 9(1986)337
- 143.Kawabata N., Ueno Y., Torii K., Matsumoto T. Agric. Biol. Chem. 51(1987)1085